

VŠST Liberec	Uchycení útku ve skřipci tkacího stavu typu OK	KTS
Fakulta strojní		1974   Str. 1

VŠST Liberec - Fakulta strojní

Stavba výrobních strojů - textilní stroje

Obor 23 - 34 - 8

Vedoucí práce : Ing. Jiří Libánský, VÚTS, Liberec

Konsultant : Ing. Zdeněk Rambousek, VÚTS, Liberec

Počet stran : 82

Počet příloh a tab. : 13 a 5

Počet obrázků : 28

Počet výkresů : 14

Počet modelů : —

DT : 677.052.001.7

Vysoká škola: strojní a textilní  
v Liberci  
Fakulta: strojní

Katedra: textilních strojů  
Školní rok: 1973/74

## DIPLOMOVÝ ÚKOL

pro

Rařel BROKL

obor 23-34-9 Výrobní stroje a zařízení - textilní stroje

Protože jste splnil... požadavky učebního plánu, zadává Vám vedoucí katedry ve smyslu směrnic ministerstva školství o státních závěrečných zkouškách tento diplomový úkol:

Název tematu: Uchycení útku ve skřipci tkacího stavu typu OK

### Pokyny pro vypracování:

1. Proveďte výpočet s měřením pružiny skřipce z hlediska pevnosti, tvaru a životnosti.
2. Navrhnete jiný způsob uchycení útku, například pryžovou podporou a pod.
3. Vliv vystřelování a brzdění skřipce na jeho pružinu.

**Autorizace** je řád směrnicemi MŠK nebo  
zvláštně ustanoveny čl. 131/72/52.1.1. ze dne  
13. dubna 1972, vydané Ministerstvem školství  
čsl. 2. 1972. Jde o vnitrostátní režim č. 111/73 Sb.

Y  
Vysoká škola strojní a textilní  
Oblastní odborné vzdělávací a výzkumné  
ústředí 1 - STUDENTSKÁ řÍ

Rozsah grafických laboratorních prací: výsledky měření v tabulkách a grafech

Rozsah průvodní zprávy: 10 stran

Seznam odborné literatury:

Jandourek, F.: Tkací stav pro větší šíře. Diplomová práce VŠST, 1971

Němec : Tuhost a pevnost ocelových částí, II.vydání, Praha, ČSAV, 1963

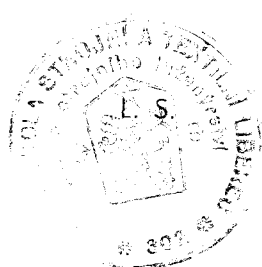
Dokumentace VÚTS Liberec a Kovotex n.p. Červený Kostelec

Vedoucí diplomové práce: Ing. Jiří Libánský, VÚTS, Liberec

Konsultanti: Ing. Miloslav Rambousek, VÚTS, Liberec

Datum zahájení diplomové práce: 15.10.1973

Datum odevzdání diplomové práce: 31.5.1974



Doc. Ing. Jaroslav Charvát, CSc  
Vedoucí katedry

Doc. Ing. Oldřich Krejčíř, CSc  
Dekan

v Liberci

dne 15.10.

1973

VŠST Liberec	Uchycení útku ve skřipci tkacího stavu typu OK	KTS
Fakulta strojní		1974   Str.3

P r e h l á š e n í.

Másteprísežně prohlašuji, že jsem diplomovou práci vypracoval samostatně s použitím uvedené literatury.

v Liberci dne 31.května 1974

Pavel Brokl

*Pavel Brokl*

OBSAH

Seznam příloh	str. 7
Seznam výkresů	str. 7
Seznam tabulek	str. 8
Seznam obrázků	str. 8
Přehled nejdůležitějších značek veličin	str. 11
1. Úvod	str. 13
2. Rozbor stávajícího provedení pružiny (pera) skřipce na stavu typu OK	str. 15
2.1. Uložení pera a velikost přitlaku na ostruhu skřipce	str. 15
2.2. Pevnostní kontrola pera	str. 17
2.2.1 Průhyb pera s konstantní tloušťkou	str. 17
2.2.2 Průhyb neprizmatického pera	str. 20
2.2.3 Vlastní pevnostní kontrola	str. 25
2.3. Vliv výstřelu a brzdění skřipce na pero	str. 27
2.3.1 Vliv urychlení a brzdění na axiální zajištění pera	str. 28
2.3.2 Vliv urychlení a brzdění skřipce na dodrži- ení přitlaku mezi perem a ostruhou skřipce	str. 30
3. Vliv změny některých parametrů na strmost charakteristiky pera a velikost deformace potřebné na vyvolání přitlaku $P = 3\text{ kp}$	str. 32
3.1. Vliv změny délky pera	str. 33
3.2. Vliv umístění podpory	str. 33
3.3. Vliv změny tloušťky pera	str. 36
3.4. Vliv změny délky l zeslabeného konce pera	str. 36
3.5. Shrnutí	str. 36

VŠST Liberec	Uchycení útku ve skřipci tkacího stavu typu OK	KTS
Fakulta strojní		
		1974
		Str. 5
4.	Návrh nového pera	str. 40
4.1	Rozbor jednotlivých variant	str. 40
4.1.1	Varianta a)	str. 40
4.1.2	Varianta b)	str. 43
4.1.3	Varianty c) a d)	str. 43
4.2	Kontrola zajištění proti axiálnímu pohybu pera ve skřipci	str. 45
5.	Návrh pera s pružnou podporou	str. 49
5.1	Použití pružné podpory u stávajícího skřipce	str. 50
5.1.1	Konstrukční a efektivní výška podpory	str. 50
5.1.2	Zjištění míry deformací podpory a pera	str. 53
5.1.3	Pevnostní kontrola stávajícího pera s použitou pružnou podporou	str. 56
5.1.4	Vliv urychlení a brzdění skřipce na pero	str. 57
5.2	Použití pružné podpory s nevrženým perem a pozměněným skřipcem	str. 58
5.2.1	Konstrukční návrh pera	str. 58
5.2.2	Konstrukční a efektivní výška podpory	str. 60
5.2.3	Deformace pera a podpory	str. 61
5.2.4	Pevnostní kontrola	str. 63
5.2.5	Kontrola zámku pera namáhaného při urychlení a brzdění skřipce	str. 64
5.2.6	Vliv urychlení a brzdění skřipce na dodržení přitlaku pera na ostruhu	str. 67
5.3	Dodatek ke kapilárnímu pájení mědí	str. 69

VŠST Liberec	Uchycení útku ve skřipci tkacího stavu typu OK	KTS
Fakulta strojní		1974 Str.6

6.	Tepelné zpracování a úpravy povrchu pera	str. 70
6.1	Tepelné zpracování stávajícího pera	str. 70
6.2	Nitridace - možný způsob zvýšení meze únavy pera	str. 71
6.3	Úpravy povrchu	str. 72
7.	Přípravek na měření přítlaku pera na ostruhu skřipce	str. 75
7.1	Popis činnosti	str. 75
7.2	Výpočet pružiny měrky přítlaku	str. 75
8.	Závěr	str. 78
	Seznam hlavní použité literatury	str. 82

SEZNAM PŘÍLOH

- Příloha I Zjištění polohy střediska části momentové plochy stávajícího pera
- II Grafické zjištění průhybu stávajícího pera v bodě C
- III Smithův diagram pro stávající pero
- IV Zjištění polohy těžiště pera
- V Poloha střediska momentové plochy návrhu pero varianty a)
- VI Poloha střediska mom.plochy návrhu b)
- VII Poloha střediska mom.plochy návrhu c)
- VIII Poloha střediska mom.plochy návrhu d)
- IX Smithův diagram pro varianty a) a b)
- X Smithův diagram pro varianty c) a d)
- XI Smithův diagram pro varianty s pružnou podporou
- XII Zjištění polohy středisek části momentové plochy konstrukčního návrhu pera
- XIII Zjištění polohy těžiště návrhu pera a polohy těžiště funkčního konce pera o délce b

SEZNAM VÝKRESŮ

- DP-74-KTS-S-03-510 Kompletní skřipce s perem a podporou
- ... -511 Upravené tělo skřipce
  - ... -512 Dno skřipce
  - ... -513 Skřipce s připájeným dnem
  - ... -514 Stávající pero

... -515 Stávající čep

... -516 Pružná podpora

DP-74-KTS-S-03 -520 Nově navržený skřipec s perem a aplikovanou pružnou podporou

... -521 Upravené tělo skřipce

... -522 Víčko skřipce

... -523 Nový návrh pera

... -524 Skřipec s připájeným víčkem

... -525 Pružná podpora

DP-74-KTS-S-03 -700 Měrka přitlaku pera

#### SEZNAM TABULEK

I Tabuľka I Hodnoty redukovaných momentů v závislosti na míře x

II Hodnoty pro výpočet velikosti momentové plochy  $S_2$

III Hodnoty tvrdosti vulkanisu

IV Hodnoty redukovaných momentů

V Velikost síly v závislosti na stlačení pružiny měrky přitlaku

#### SEZNAM OBRAZKŮ

Obrázek 1 Uložení stávajícího pera

2 Tvar pera před vsazením do skřipce

3 Způsoby držení útku a) systém Sulzer

b) systém Nopas

4 Průběh posouvajících sil T a ohybových momentů  $M_o$

VŠST Liberec	Uchycení útku ve skřipci tkacího stavu typu OK	KTS
Fakulta strojní		1974   Str. 9

- 5 Změna tloušťky pera t v závislosti na změně míry x
- 6 Momentová plocha stávajícího pera
- 7 Celkový průběh  $y_c$  v bodě C
- 8 Průběh ohybového napětí v peru během provozního cyklu
- 9 Schema pneumatického prohozu
- 10 Orientace setrvačné síly D při urychlení a brzdění skřipce
- 11 Zámek stávajícího pera
- 12 Vliv změny délky pera na strmost charakteristiky pera a velikost deformace nutné k vyvolání 3 kp
- 13 Vliv změny umístění podpory na charakteristiku pera a velikost deformace nutné k vyvolání 3 kp
- 14 Vliv změny tloušťky pera na strmost charakteristiky pera a velikost deformace nutné k vyvolání 3 kp.
- 15 Vliv změny délky l zeslabeného konce pera na jeho charakteristiku a velikost deformace nutné k vyvolání 3 kp
- 16 Upravený čep
- 17 Tvar nově navrženého pera
- 18 Namáhané průřezy setrvačnou silou D
- 19 Možný způsob zamezení vlivu vrubu
- 20 Dno pro pružnou podporu

VŠST Liberec	Uchycení útku ve skřipci tkacího stavu typu OK	KTS
Fakulta strojní		1974   Str.10

- 21 Výška podpor a)stávající provedení  
b)stlačená podpora
- 22 Konstrukční a efektivní výška podpory
- 23 Míra deformací podpory a pera
- 24 Redukovaná momentová plocha návrhu pera
- 25 Zámek návrhu pera
- 26 Poloha těžiště vzhledem k místu axiálního zachycení pera
- 27 Napětí v nitridované tyčince při ohybu
- 28 Pokles meze únavy v % pod vlivem stavu povrchu v poměru k pevnosti oceli

PŘEHLED NEJDŮLEŽITĚJŠÍCH ZNAČEK VELIČIN

$N_1$	síla v útku u systému Sulzer při prohozu
$P_1$	síla čelistí systému Sulzer
$N_2$	síla v útku u systému Nopas
$P_2$	teoreticky nutný přitlak pera na ostruhu skřipce u systému Nopas
$P = 2,5$ až $3 \text{ kp}$	použitý přitlak pera na ostruhu u systému Nopas
$R_A$	reakce v podpoře A
$R_B$	reakce v podpoře B
$P_w$	síla pera při zvětšení deformace o $w = 2 \text{ mm}$
$D$	setrvačná síla
$M_o$	ohybový moment
$M_r$	redukovaný ohybový moment
$I$	plošný moment setrvačnosti
$W_o$	průřezový modul v ohybu
$\sigma_d$	minimální (dolní) ohybové napětí
$\sigma_h$	maximální (horní) ohybové napětí
$\sigma_m$	střední napětí
$\sigma_a$	amplituda napětí
$n$	bezpečnost
$a+b$	délka pera
$a$	vzdálenost podpor
$b$	délka volného (funkčního) konce pera
$c$	šířka pera
$l$	délka zeslabeného konce pera

VŠST Liberec	Uchycení útku ve skřipci tkacího stavu typu OK	KTS
Fakulta strojní		1974 Str.12
h	tloušťka pera	
t	tloušťka pera v určitém místě zeslabeného konca pera (závisí na poloze místa od konce pera)	
s	délka konce pera, kde se šířka $\delta = 8\text{mm}$ zmenšuje na 6 mm	
$y_1 (= y_c)$	deformace pera v bodě C nutná pro vyvolání přitlaku $P = 3\text{kp}$	
$y_1$	deformace konce pera o délce b	
$w = 2\text{mm}$	deformace pera nutná při navádění útku mezi pero a ostruhu	
$\vartheta_B$	sklon pera v podpoře B	
l	konstrukční výška pružné podpory	
$l'$	efektivní výška pružné podpory	
$\Delta l$	stlačení pružné podpory při vsazení pera do skřipce	
$\Delta l'$	snížení pružné podpory proti konstrukční výšce při zvětšení deformace pera o w	
v	průhyb pera při zvětšení deformace pera o w	
$z'$	deformace podpory při navádění útku ( $w = 2\text{mm}$ )	
z	přepočtená deformace podpory do bodu C	

VŠST Liberec	Uchycení útku ve skřipci tkacího stavu typu OK	KTS
Fakulta strojní		1974 Str.13

## 1. ÚVOD

V současné době stále ještě převažuje klasický způsob tvorby tkaniny. Tradiční mechanismy jsou postupně zdokonalovány novými automatickými prvky. Neustálým zvýšováním produkce vystávají různé překážky, z nichž nejzávažnější je prohoz člunku. Proto se do tkalcoven zavádějí stav, u kterých se používá k zanášení útku do prošlupu jiných elementů.

Od způsobu zanášení útku je pak odvozen název principu. O všech se dá říci, že jsou bezčlunkové. Jednou z jejich výhod je skutečnost, že odberají útek z křížové cívky a tím dochází k likvidaci některých technologických procesů, na př. soukání na kanety. Další výhodou je možnost zvýšení parametrů, především otáček stavu.

Nejrozšířenější v provozu jsou skřipcové systémy, s nižší je již ( především se stavu Sulzer )dostatek provozních zkušeností. V ČSSR byl minulých letech předán do výroby skřipcový stav Novestav a v poslední době další skřipcový stav typu OK. Na stavu typu OK v současné době pokračuje vývoj s cílem zvýšit parametry výkonu a spolehlivost provozu.

Jedním z problémů je zajistit dokonale uchycení útku ve skřipci po celou dobu trvání prohozu - tedy během urychlení skřipce, jeho průletu prošlupem a brzdění. Tento fakt je nutné podřídit konstrukční zpracování skřipce a vlastního funkčního elementu - pera.

Konstrukčním řešením skřipce je nutné dosáhnout, aby byl jednoduchý a dostatečně robustní, aby dobrě odolával vysokému namáhání při vystřelování, brzdění a aby jeho prů-

VŠST Liberec	Uchycení útku ve skřipci tkacího stavu typu OK	KTS
Fakulta strojní		1974 Str.14

let vodícím hřebenem byl klidný ( tzn., aby vbíhal do následující lamely klidně ).

Pero musí především zajišťovat dokonalé zachycení útku, mělo by mít poměrně jednoduchý tvar a vydržet dostatečný počet prohozů. S požadavkem jednoduchého tvaru souvisí také ekonomická stránka jeho výroby. Avšak snižování výrobních nákladů nemá jít na úkor plnění funkce pera. Počet prevozních cyklů, který není zdaleka zanedbatelný, je svázán mimo jiné také s tvarem pera.

Předpoklad dokonalého uchycení útku v sobě zahrnuje hned několik problémů. Pero především nesmí být příliš "tvrdé", to znamená, závislost velikosti síly na deformaci pera nemá mít příliš strmou směrnici. Pero se nemá brzy unavit - tzn. nedojde k poruše pera, ale hodnota přitlaku klezá. Rovina pera by měla být rovnoběžná s osou výstřelu skřipce, aby momenty vzniklé od setrvačných sil při urychlování a brzdění skřipce negativně nepůsobily na funkci pera.

Důležitou roli hrají vibrace pera při prohozu skřipce prošlupem ( vzláště při přechodu ze skřipcové skříně do vodícího hřebenu a naopak ).

V diplomové práci jsem se snažil některé problémy vyřešit. Úvahy, které jsou v práci vysloveny, se opírají jednak o matematické závislosti, jednak o zkušenosti získané ve VÚTS konsultantem s. ing. Rambouskem.

Protože veškeré předchozí zprávy i podkladové materiály používají technické soustavy jednotek, nebyla také v této DP vědomně použita soustava SI. Byla tak zajištěna lepší názornost, dále návaznost uvedených výpočtů na předcházející a také snažší použití práce ve VÚTS a průmyslu.

2. ROZBOR STÁVAJÍCÍHO PROVEDENÍ PRUŽINY ( PERA ) SKŘIPCENA STAVU TYPU OK.2.1. Uložení pera a velikost přitlaku na ostruhu skřipce.

Pera používané na stavu typu OK 4 je ve skřipci uloženo jako nosník na dvou podperách, na jehož převislém konci působí síla. ( obr. 1 )

Její velikost se má pohybovat v rozmezí  $2,5 \div 3$  kp v místě styku pera s ostruhou skřipce. Tato síla vzniká vzením ztvárcovaného pera ( viz. obr.2 ) do těla skřipce.

Je zajímavé porovnat sílu nutnou pro držení útku u stavu Sulzer a našich systémů. U stavu Sulzer je útek držen mezi čelistmi pera ( viz obr. 3a ), kde platí vztah

$$N_1 = 2P_1 f \quad (1)$$

Pro různé druhy přízí pak používá přitlak v rozmezí

$$P_1 = ( 1\ 700 \text{ až } 2\ 500 ) \pm 100 \text{ g}$$

U systému NOPAS je útek opásán kolem pevného výstupku - ostruhy - ke kterému útek pružina přidržuje ( viz obr.3b )

Pro zachycení útku opásáním lze psát podmínu dle

Eulerova vztahu:

$$N_2 = 2P_2 f e^{\frac{f}{\alpha}} \quad (2)$$

$N_2$  - síla v útku

$P_2$  - velikost přitlaku

$f$  - koeficient tření

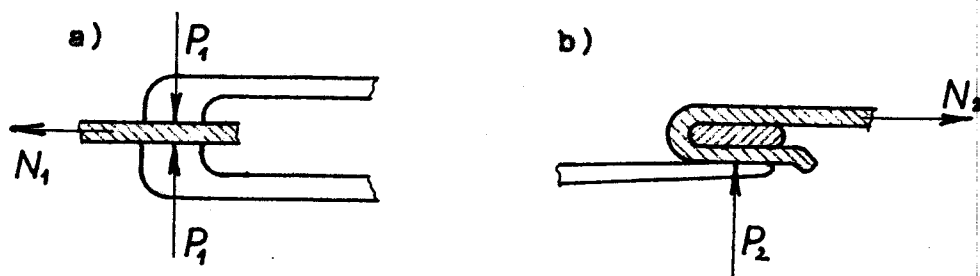
$\alpha$  - úhel opásání útku kolem ostruhy



Obr. 1 - Uložení stávajícího pera



Obr. 2 - Tvar pera před vsazením do skřipce



Obr. 3 - Způsoby držení útku

a) systém Sulzer

b) systém Nepas

$$P_2 = \frac{N_2}{2fe^{f\alpha}} \quad (3)$$

Jestliže budeme předpokládat, že síla v útku bude v obou případech stejná, tzn.  $N_1 = N_2$ , pak by teoreticky přítlač vycházel dle vztahu

$$P_2 = \frac{P_1}{e^{f\alpha}} \quad (4)$$

pro různé druhy přízí v rozmezí  $P_2 = (661 \div 975)g$ .

Protože však pero vlivem urychlení, průletu a brzdění skřipce podléhá různým rázům, chvění, tzn. nezajistilo by dekénalé držení útku, je nutné přítlač zvětšit na výše uvedenou hodnotu.

## 2.2 Pevnostní kontrola pera.

Perce skřipce je dynamicky namáhané proměnlivým ohybovým napětím. Nižší hodnota ohybového napětí je po dobu zanášení útku do prošlupu. Během doby, po kterou je pero stisknuto a útek je uchycován mezi pero a ostruhu skřipce, napětí (tzn. i síla nutná ke stisknutí pera) vzroste. Chceme-li tedy provést pevnostní kontrolu pera, musíme znát maximální a minimální hodnotu ohybového napětí, tzn. míru deformací zatíženého pera proti jeho volnému stavu. Z toho důvodu je nejprve řešen průhyb pera.

### 2.2.1. Průhyb pera s konstantní tloušťkou.

Jak bylo již v kapitole 2.1 uvedeno, je pero ve skřipci uloženo dle (obr.1) jako nosník na dvou podporách s převislým koncem. Vezmeme-li v úvahu nejprve pero s konstantní tloušťkou, je průběh peseuvajících sil  $T$  a ohybových momen-

tú  $M_o$  znázorněn na obr. 4.

Reakce v podporách A a B jsou:

$$R_A = P \frac{b}{a} \quad (5)$$

$$R_B = \frac{P}{a} (a + b) \quad (6)$$

Rovnici ohybové čáry získáme pro dvě oblasti nosníku-pera integrací diferenciální rovnice

$$\frac{d^2y(x)}{dx^2} = y'' = - \frac{M(x)}{EI} \quad (7)$$

První je oblast mezi podporami a platí pro ni rovnice

$$y'' = - \frac{1}{EI} P \frac{b}{a} x \quad (8)$$

a integraci získáme výraz pro průhyb

$$y = - \frac{1}{EI} \left( P \frac{b}{a} \frac{x^3}{6} + C_1 x + C_2 \right) \quad (9)$$

Integrační konstanty  $C_1$  a  $C_2$  určíme z okrajových podmínek

$$y(0) = 0 \quad (10)$$

Rovnice pro ohybovou čáru v první části je

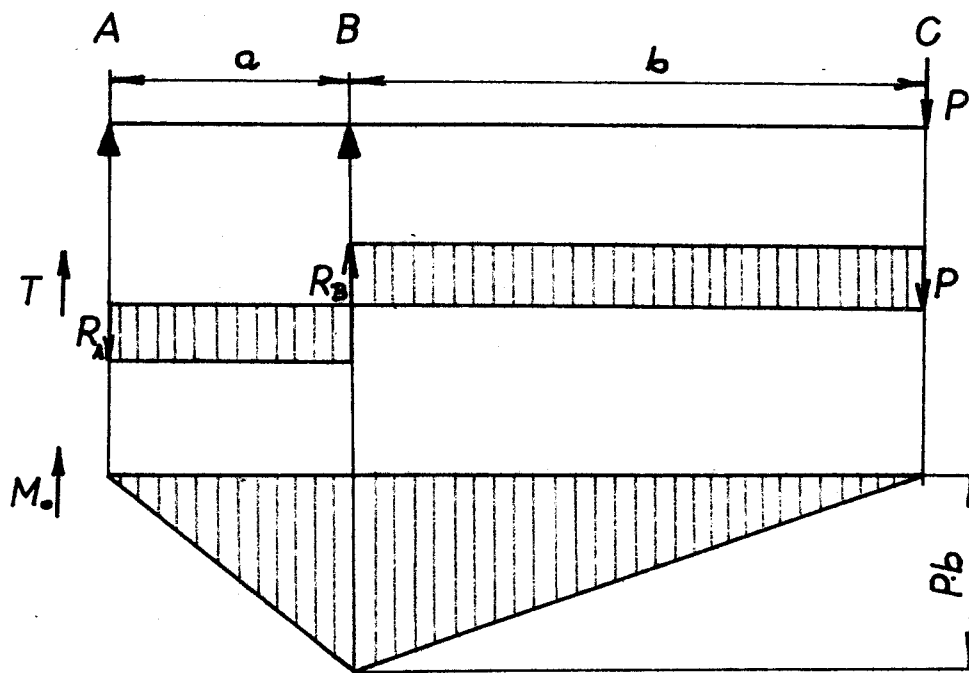
$$y = - \frac{Pb}{6EI} \left( \frac{x^3}{a} - ax \right) \quad (11)$$

Obdobně získáme pro část druhou - převislý konec - rovnici ohybové čáry

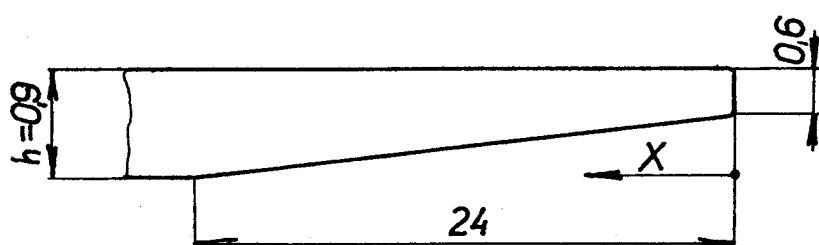
$$y = \frac{P}{EI} \left[ \frac{x^3}{6} - \frac{bx}{6} (2a + 3b) + \frac{b^2}{3}(b+a) \right] \quad (12)$$

Snadno zjistíme, že pro průhyb bodu C platí vztah

$$y = \frac{Pb^2}{3EI} (b + a) \quad (13)$$



Obr. 4 - Průběh posouvajících sil  $T$  a ohybových momentů  $M_s$



Obr. 5 - Změna tloušťky t pera v závislosti na změně míry x

Jelikož však pera o konstantní tloušťce má mnoho nevýhod - brzy se unaví, má velmi strmou charakteristiku ( velmi rychle vzrůstá velikost síly s rosteoucí deformací pera ) a je značně citlivé na vibrace, ukázalo se, že je vhodné používat pera s měnící se tloušťkou.

Ku příkladu pera tloušťky  $h = 1 \text{ mm}$  pro vyvinutí přímého tlaku 3 kp potřebuje jen 5 mm deformaci. Ovšem při průhybu již o 2 mm větším velikostí síly vzroste na 4,25 kp.

### 2.2.2 Průhyb neprizmatického pera.

U těchto per není zjištění průhybu tak jednoduchou záležitostí. Potřebujeme zjistit deformaci pera v bodě C a je výhodné použít Mehrovej metodu.

Protože se mění tloušťka pera ( tzn. také změnu plošného momentu setrvačnosti  $I$  ), použijeme redukovaných momentů. Redukci provádime na moment v oblasti  $h = 0,9 \text{ mm}$ .

$$M_r = M_0 \frac{I_1}{I(x)} \quad (14)$$

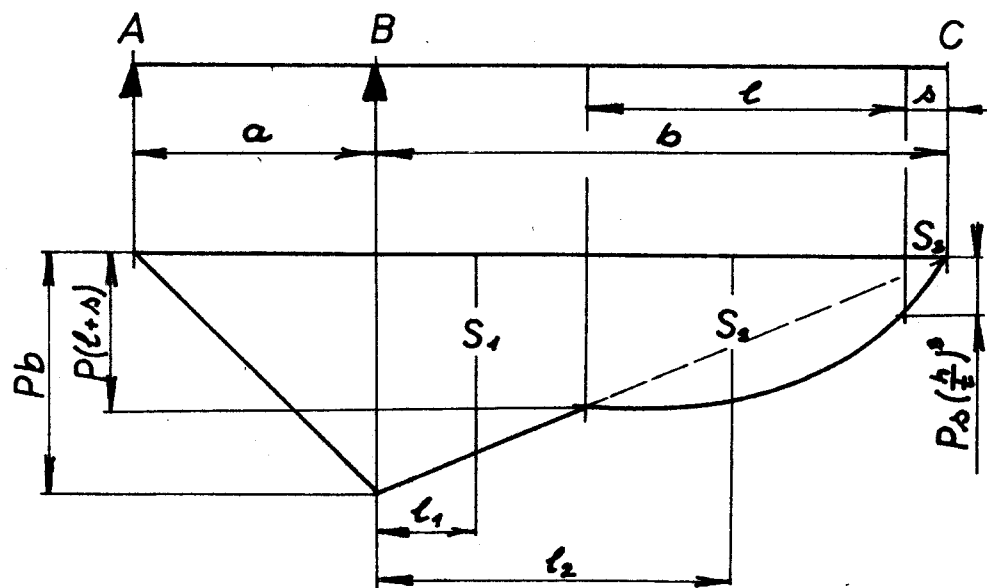
Tloušťka pera se mění v rozmezí  $h \in \langle 0,9 ; 0,6 \rangle$   
dle vztahu

$$t = 0,6 + \frac{0,9 - 0,6}{24} x \quad (15)$$

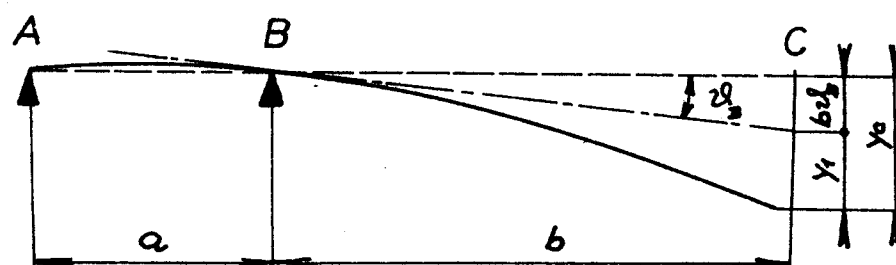
což je patrné z obrázku 5.

Hodnoty redukovaných momentů v závislosti na míře x jsou v tabulce I.

Momentová plocha je naznačena na obr. 6.



Obr. 6 - Momentová plecha

Obr. 7 - Celkový průhyb y<sub>C</sub> v bodě Cα<sub>B</sub> - sklon pera v podpoře By<sub>C</sub> - snížení v bodě C od sklenou α<sub>B</sub>y<sub>1</sub> - snížení vlivem prehnutí délky b pera

Tab.I - str. 20 Hodnoty redukovaných momentů v závislosti na míře x

x [mm]	2,7	5	10	15	20	24
t [mm]	0,6338	0,6625	0,725	0,7875	0,85	0,9
M <sub>r</sub> [kpmm]	23,3	37,5	57,5	67,5	71,5	72

Tab.II - str. 22 Hodnoty pro výpočet velikosti momentové plochy S<sub>2</sub>

x	t = 0,6+0,0125x	$\left(\frac{h}{t}\right)^3$	$y_i = M_r = 3x\left(\frac{h}{t}\right)^3$
2,7	0,6336	2,85	y <sub>0</sub> 23,0850
4,83	0,660	2,54	4y <sub>1</sub> 147,2184
6,96	0,687	2,26	2y <sub>2</sub> 94,3776
9,09	0,714	2,00	4y <sub>3</sub> 218,1600
11,22	0,740	1,80	2y <sub>4</sub> 121,1760
13,35	0,767	1,62	4y <sub>5</sub> 259,524
15,48	0,794	1,46	2y <sub>6</sub> 135,6048
17,61	0,820	1,33	4y <sub>7</sub> 281,0556
19,74	0,847	1,20	2y <sub>8</sub> 142,1280
21,87	0,874	1,10	4y <sub>9</sub> 288,6840
24,00	0,9	1,00	y <sub>10</sub> 72,0000

Pro celkový průhyb na konci pera - v bodě C - platí:

$$y = b \vartheta_B + y_1$$

Význam jednotlivých označení je patrný z obr. 7.

Pro vyčíslení celkového průhybu je nutné znát velikosti částí momentové plochy a polohu jejich těžiště. Celá momentová plocha na obr. 6 byla z toho důvodu rozdělena na 3 části.

Plocha  $S_1$  je prostý lichoběžník, jehož obsah je

$$S_1 = \frac{1}{2} [Pb + P(1+s)] (b - 1 - s) \quad (17)$$

a graficky zjištěné těžiště leží ve vzdálenosti  $l_1 = 6,5\text{mm}$  od podpory B.

Plochu  $S_3$  můžeme považovat přibližně za trojúhelník.

Pak platí

$$S_3 = \frac{1}{2} P \cdot s \left(\frac{h}{t}\right)^3 \cdot s \quad (18)$$

a těžiště leží ve vzdálenosti  $\frac{2}{3} \cdot s$  od konce pera.

Plocha  $S_2$  byla určena numericky podle zobecněného Simpsonova pravidla

$$S_2 = \frac{k}{3} (y_0 + 4y_1 + 2y_2 + \dots + 4y_{2m-1} + y_{2m}) \quad (19)$$

kde  $k$  znamená krok, kterým se pohybujeme po daném intervalu  $\langle i ; j \rangle$ :

$$k = \frac{j - i}{2m} = \frac{24 - 27}{10} = 2,13 \quad (20)$$

a  $y_0$  až  $y_{2m}$  jsou funkční hodnoty v jednotlivých bodech vzdálených právě o krok  $k$  ( bližší v pramenu [4] ).

Jelikož bylo k výpočtu použito kalkulačky, je výpočet ve formě tabulky II.

Těžiště této plochy bylo zjištěno graficky jako těžiště složené plochy a leží ve vzdálenosti  $l_2 = 23,25$  mm od podpory B ( viz příloha I ).

Pak celkový průhyb po dosazení je dán výrazem

$$y_c = \frac{Pab^2}{3EI} + \frac{1}{EI} [S_1(b - l_1) + S_2(b - l_2) + S_3 \cdot \frac{2}{3} \cdot s] \quad (21)$$

$$y_c = \frac{3 \cdot 1345 \cdot 16}{3 \cdot 2,14 \cdot 10^4 \cdot 0,486} + \frac{1}{1,045 \cdot 10^4} [3,485 \cdot 10^4 + 17343,37 + 56,5] \quad (23)$$

$$y_c = 7,03 \text{ mm}$$

$$(24)$$

Aby pružina vyvinula přitlak 3kp, deformace pružiny v bodě C musí dosáhnout cca 7 mm.

Velikost této deformace byla pro kontrolu zjišťována také graficky. Konstrukce je uvedená v pramenech [1] a [7]. Momentovou plochu nahradíme po částech soustředěným zatížením:

$$S_1 = \frac{1}{2} Pb \cdot a = 8,8 \text{ kpcm}^2 \quad (25)$$

$$S_2 = [Pb + P(1 + s)] (b - l - s) \frac{1}{2} = 11,55 \text{ kpcm}^2 \quad (26)$$

$$S_3 = 12,66 \text{ kpcm}^2 \quad (27)$$

$$S_4 = \frac{1}{2} s \cdot P \cdot s \left(\frac{h}{t}\right)^3 = 0,315 \text{ kpcm}^3 \quad (28)$$

Součinitel zvětšením n byl volen 5,225 a tedy polová vzdálenost je  $\frac{EI}{n} = 20 \text{ cm}$ . Konstrukce je v příloze II.

Maximální průhyb byl zjištěn 0,74 cm a s ohledem na možnost přesnosti grafické konstrukce se v podstatě shoduje s vypočteným.

Při upevnění útku do skřipce je pružina stlačena o další 2 mm. Celková deformace je tedy 9,03 mm a platí

$$9,03 = P_w \cdot 0,685 + \frac{1}{10450} (11\ 600 \cdot P_w + 5785 P_w + 18,8 P_w) \quad (29)$$

Síla, kterou stlačujeme pružinu, musí být

$$P_w = 3,845 \text{ kp}$$

Velikost síly kélisá tedy mezi hodnotami 3kp a 3,845kp

### 2.2.3 Vlastní pevnostní kontrola

Vlivem změny síly dochází ke změně velikosti ohybového napětí, jehož průběh je zhruba naznačen na obr.8.

Průřezový modul v ohybu kritického místa - místa s maximálním ohybovým momentem - je

$$W_o = \frac{1}{6} \cdot ch^2 = \frac{1}{6} \cdot 8 \cdot (0,9)^2 = 1,08 \text{ mm}^3 \quad (30)$$

Minimální hodnota ohybového momentu je

$$M_{omin} = P \cdot b = 110,1 \text{ kp mm} \quad (31)$$

A tomu odpovídá napětí

$$\bar{\sigma}_a = 102 \text{ kp/mm}^2$$

Maximální hodnota momentu je

$$M_{omax} = 141,3 \text{ kp mm} \text{ a tedy } \bar{\sigma}_a = 131 \text{ kp/mm}^2$$

Střední napětí je dáno výrazem

$$\bar{\sigma}_m = \frac{\bar{\sigma}_a + \bar{\sigma}_d}{2} \quad (32)$$

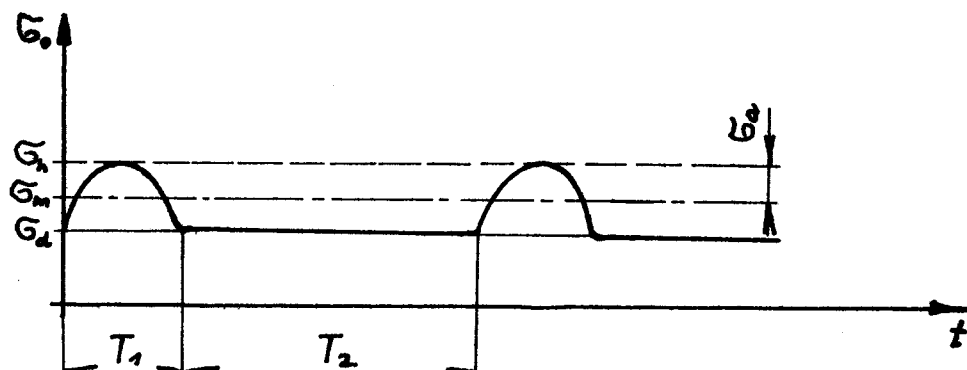
a dosahuje hodnoty  $\bar{\sigma}_m = 116,5 \text{ kp/mm}^2$  a amplituda napětí je

$$\bar{\sigma}_a = \frac{\bar{\sigma}_a - \bar{\sigma}_d}{2} = 14,5 \text{ kp/mm}^2 \quad (33)$$

Vezmeme-li v úvahu použitý materiál a jeho hodnoty, vyjde nám ze Smithova diagramu (příloha III) bezpečnost

$$n = 1,148$$

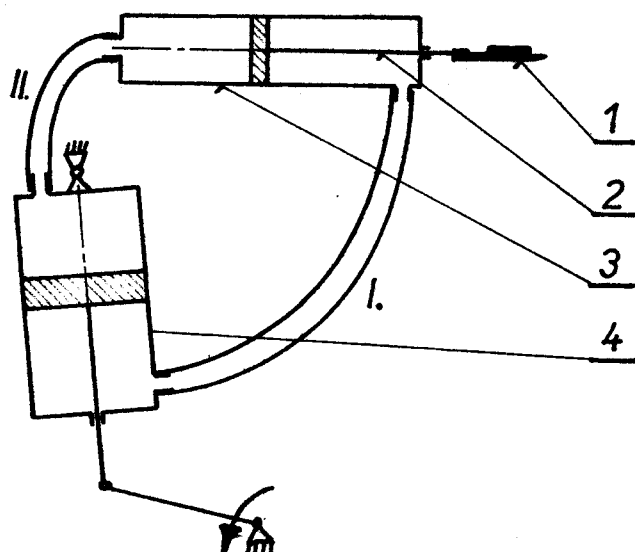
Pře by teoreticky mělo vydržet velký počet zatěžovacích cyklů. Bezpečnost je však velmi malá i pro takto



Obr. 8 - Průběh ohybového napětí v peru během pre-veznícího cyklu

$T_1$  - doba, během které je pero stásknuto a útek je zaváděn do skřipce.

$T_2$  - doba zanášení útku do prešlupu.



Obr. 9 - Schema pneumatického prohozu

1 - skřipec

2 - pístnice

3 - vystřelovací válec

4 - stlačovací válec

I - přepoštěcí okruh

II - okruh pro přívod tlakového vzduchu

ideálně uvažované pero bez vrubů. Proto vrub, který může vzniknout při výrobě, značně lokálně sníží materiálové hodnoty a pero praská po krátké době provozu. Uspokojivé výsledky nedostaneme ani při zesílení pera v kritickém místě na  $h = 1 \text{ mm}$ . Změní se plošný moment setrvačnosti  $I = 0,666 \text{ mm}^4$ . Pero má jednak příliš strmou charakteristiku a při středním napětí  $G_m = 99,35 \text{ kp/mm}^2$  a amplitudě  $G_a = 16,65 \text{ kp/mm}^2$  vyjde bezpečnost  $n = 1,215$ .

### 2.3 Vliv výstřelu a brzdění skřipce na pero.

U stavu tohoto typu bylo použito pneumatického prohodu skřipce. Tlaková energie vzduchu ve stlačovacím válci je převedena na kinetickou energii soustavy pístnice - skřipee. Stlačovací a vystřelovací válec jsou spojeny hadicemi: okruh I. zajišťuje přepouštění vzduchu (tlumení pístnice) a okruh II. slouží k přivedení tlakového vzduchu (obr. 9).

Urychlení skřipce se děje na dráze 70 mm se zrychlením 1 000 g na počátku (hodnota z VÚTS). Pro ucelení představy lze uvést ještě pohybovou rovnici:

$$ma = -T - U - X_n - O_{pr} \quad (34)$$

kde je  $T$  - síla snykového tření vzniklá pohybem skřipce mezi paprskem a vodící lamelou

$U$  - síla odporu stahování útku

$X_n$  - síla zahrnující výrobní toleranci a chvění

$O_{pr}$  - odporová síla prostředí

Tato pohybová rovnice byla podrobně rozpracována v pramenu [3].

Jaký vliv má vystřelení skřipce na pero?

### 2.3.1 Vliv urychljení a brzdění na axiální zajištění pera

Při urychljení a brzdění skřipce působí na pero setrvačná síla D. Tato síla mění svoji velikost a má při brzdění opačnou orientaci než při urychljení skřipce (obr.10)

Je-li skřipec urychlován zrychlením  $a = 1\ 000\ g$ , působí na pero setrvačná síla  $D = 3,45\ kp$ .

$$D = m \cdot a = 1000 \cdot m \cdot g = 1000 \cdot 3,45 \cdot 10^3 \cdot 9,81 = 33,9\ N \quad (35)$$

$$D = 3,45\ kp$$

Patka pero je namáhána buď na ohyb nebo na ustřížení za předpokladu, že v zámku není vůle. V jiném případě dochází k rázům (obr. 11).

Ohybový moment dosahuje hodnot

$$M_o = 3,45\ kp \cdot mm$$

a tedy maximální napětí ohybové je

$$\sigma_o = 1,15\ kp/mm^2$$

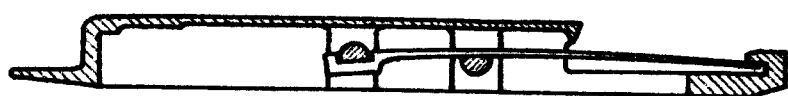
Smykové napětí pak vzroste až na velikost

$$\sigma_s = \frac{D}{S} = \frac{3,45}{12} = 0,29\ kp/mm^2 \quad (36)$$

I když jde o dynamické namáhání, není pravděpodobné, že by bylo pero vlivem tohoto namáhání porušeno, je-li splněn výše uvedený předpoklad a vezmeme-li v úvahu hodnoty materiálu použitého na výrobu pera.

Při brzdění pero je pravděpodobnost porušení ještě menší, neboť zpomalení a tím i setrvačná síla dosahují menších hodnot.

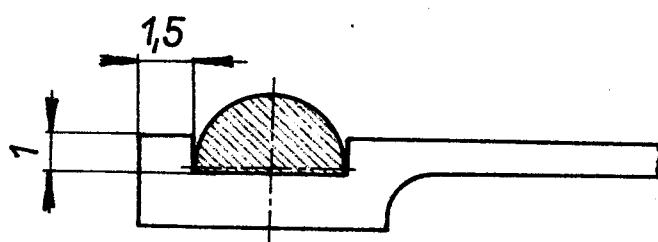
Tyto předpoklady byly potvrzeny i v praxi, kde se při provozu poruchy tohoto rázu nevyskytovaly.



urychlení :  $\vec{v}$        $\vec{a}$        $\vec{D}$

brzdění :  $\vec{v}$        $\vec{a}$        $\vec{D}$

Obr. 10 - Orientace setrvačné síly  $\vec{D}$  při urychlení  
a brzdění skřipce



Obr. 11 - Zámek stávajícího pera

2.3.2 Vliv urychlení a brzdění skřipce na dodržení přítisku  
mezi perem a ostruhou .

Rozboru tohoto problému předcházelo určení polohy těžiště pera. Pero lze považovat za útvar složený z jednoduchých útvarů, u nichž poloha střediska známe. Těžiště pero pak určíme následovně: do středisek částí připojíme vektory úměrné jejich velikosti a graficky sestojíme výslednici. Středisko leží na nositelce.

Velikost vektorů jednotlivých částí:

$$V_1 = 2,5 \cdot 6,5 \cdot 8 - 4 \cdot 1 \cdot 8 = 98 \text{ mm}^3$$

$$V_2 = 27 \cdot 0,9 \cdot 8 + 2,28 = 196,78 \text{ mm}^3$$

$$V_3 = \frac{0,9 + 0,634}{2} \cdot 21,3 \cdot 8 = 131 \text{ mm}^3$$

$$V_4 = \frac{8 + 6}{2} \cdot 2,7 \cdot \frac{0,634 + 0,6}{2} = 11,7 \text{ mm}^3$$

Poloha těžiště je zjištěna graficky v příloze IV a.

Další řešení je založeno na principu o pohybu střediska soustavy hmotných bodů [6]. Pohyb střediska hmotné soustavy lze pokládat za pohyb bodu, jehož hmota se rovná hmotě celé soustavy a do něhož jsou posunuty všechny vnější síly.

Hmota pružiny je  $m = 3,45 \cdot 10^{-3} \text{ kg}$ . Při urychlení skřipce působí v těžišti pero setrvačná síla

$$D = 3,45 \text{ kp}$$

Graficky bylo zjištěno ( příloha IV b ), že těžiště leží maximálně  $e = 1 \text{ mm}$  nad osou výstřelu ( za tuto lze pokládat spojnici os obou podpěrných čepů ). Tedy v době urychlení skřipce působí na pero moment, který svéjí orientací má snahu

snížit přítlač pera na estruhu.

Velikost tohoto momentu je

$$\overline{M}_o = D \cdot e \quad (37)$$

$$\overline{M}_o = 3,45 \text{ kpmm}$$

Přítlač  $P = 3\text{kp}$  vyvolává ohýbový moment  $M_o = 110,1 \text{ kpmm}$ .  
Moment  $\overline{M}_o$  působí proti  $M_o$ :

$$M_{ov} = M_o - \overline{M}_o$$

Výsledný moment v době maximálního zrychlení je tedy

$$M_{ov} = 110,1 - 3,45 \quad (38)$$

$$M_{ov} = 106,65 \text{ kpmm}$$

a tedy pera zajišťuje přítlač

$$\frac{M_{ov}}{b} = 2,9 \text{ kp} \quad (39)$$

Ta znamená hodnotu stále ještě plně využívající. Při brzdění vzniká setrvačná síla opačného směru. Svým působením tedy přítlač ještě zvětšuje. Z těchto úvah a výpočtů je zřejmé, že setrvačná síla vznikající při zrychlení a zabrzdění skřipce vliv na dodržení přítlaku nemá. Jiná otázka - a ne zanedbatelná - je možnost vzniku vibrací pera.

VŠST Liberec	Uchycení útku ve skřipci tkacího stavu typu OK	KTS
Fakulta strojní		1974 Str.32

3. VLIV ZMĚNY NĚKTERÝCH PARAMETRŮ NA STRMOST CHARAKTERISTIKY PERA A VELIKOST DEFORMACE POTŘEBNÉ NA VYVOLÁNÍ PŘITLAKU  $P = 3\text{kp}$ .

Rozměry pera jsou omezené velikostí skřipce. Nechceli při konstrukčním návrhu nového pera zásadně měnit rozměry skřipce a tím zasahovat dosti hrubě do celé konstrukce stroje, jsme při návrhu omezeni určitými mezními rozmezími pera. Pro ucelení představ o vzájemné souvislosti vlastností pera s některými jeho parametry, je vhodné znázornit si některé z nich na grafech. Vždy je uvedená závislost tuhosti pera a velikosti deformace na změně jednoho parametru pera při ostatních parametrech konstantních. Kdyby se vzala v úvahu ještě změna dalšího parametru, obdržela by se soustava křivek vzájemně vzdálených o míru úměrnou velikosti změny téhoto parametru.

Význam jednotlivých použitých symbolů je ve všech čtyřech případech stejný; proto je uveden již nyní:

a + b celková délka pera

a vzdálenost podpor

b délka volného konce pera

c šířka pera

h tloušťka pera

$P = 3\text{kp}$  přítlač pera na ostruhu

y deformace konce pera potřebná k vyvolání  
přitlaku  $P = 3\text{kp}$

l délka zeslabeného konce pera

VŠST Liberec	Uchycení útku ve skřipci tkacího stavu typu OK	KTS
Fakulta strojní		1974 Str.33

$P_w$  síla v peru při zvětšení deformace

$q_w = 2 \text{ mm}$  (charakteristika pera)

### 3.1 Vliv změny délky pera ( obr. 12 )

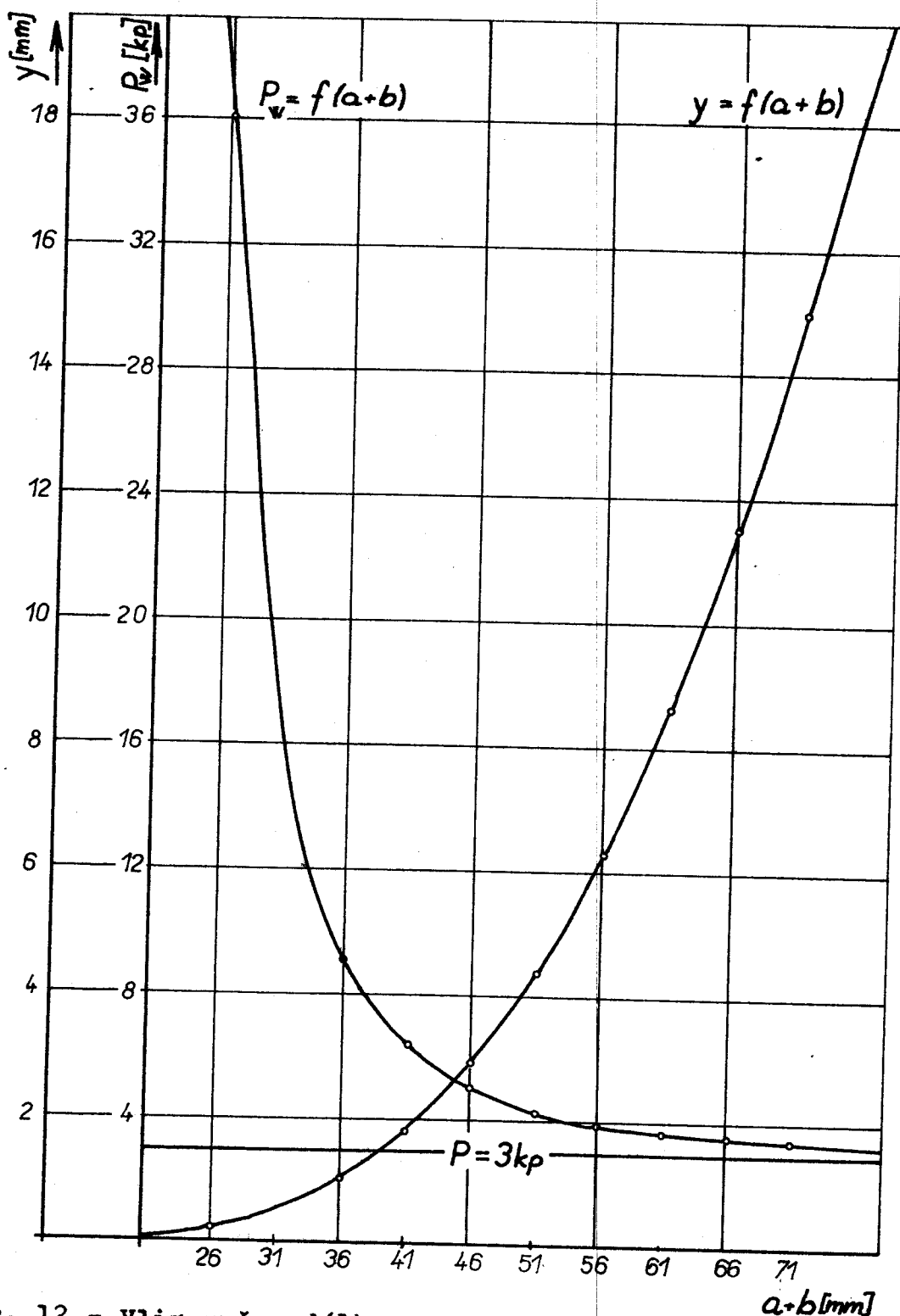
Uvažujeme pouze vliv změny délky pera při konstantní vzdálenosti podpor, konstantní šířce a tloušťce pera. Je názorně vidět, že od délky 50 mm a menší, neúměrně vzrůstá síla v peru při zavádění útku - pero má strmou charakteristiku. Optimum délky se pohybuje v rozmezí 55 až 65 mm (vzhledem k velikosti skřipce a k uvažované vzdálenosti podpor). Při dalším zvětšení délky neúměrně vzrůstá velikost deformace nutné k vyvolání síly  $P = 3 \text{ kp}$ , ale vzrůst velikosti síly při stlačení pera je malý.

Vezmeme-li v úvahu změnu dalších parametrů, jako například změnu polohy podpory nebo změnu tloušťky, dostaneme křivky podobné, pouze posunuté vlevo či vpravo podle <sup>změny</sup> velikosti <sup>z</sup> tohoto dalšího parametru.

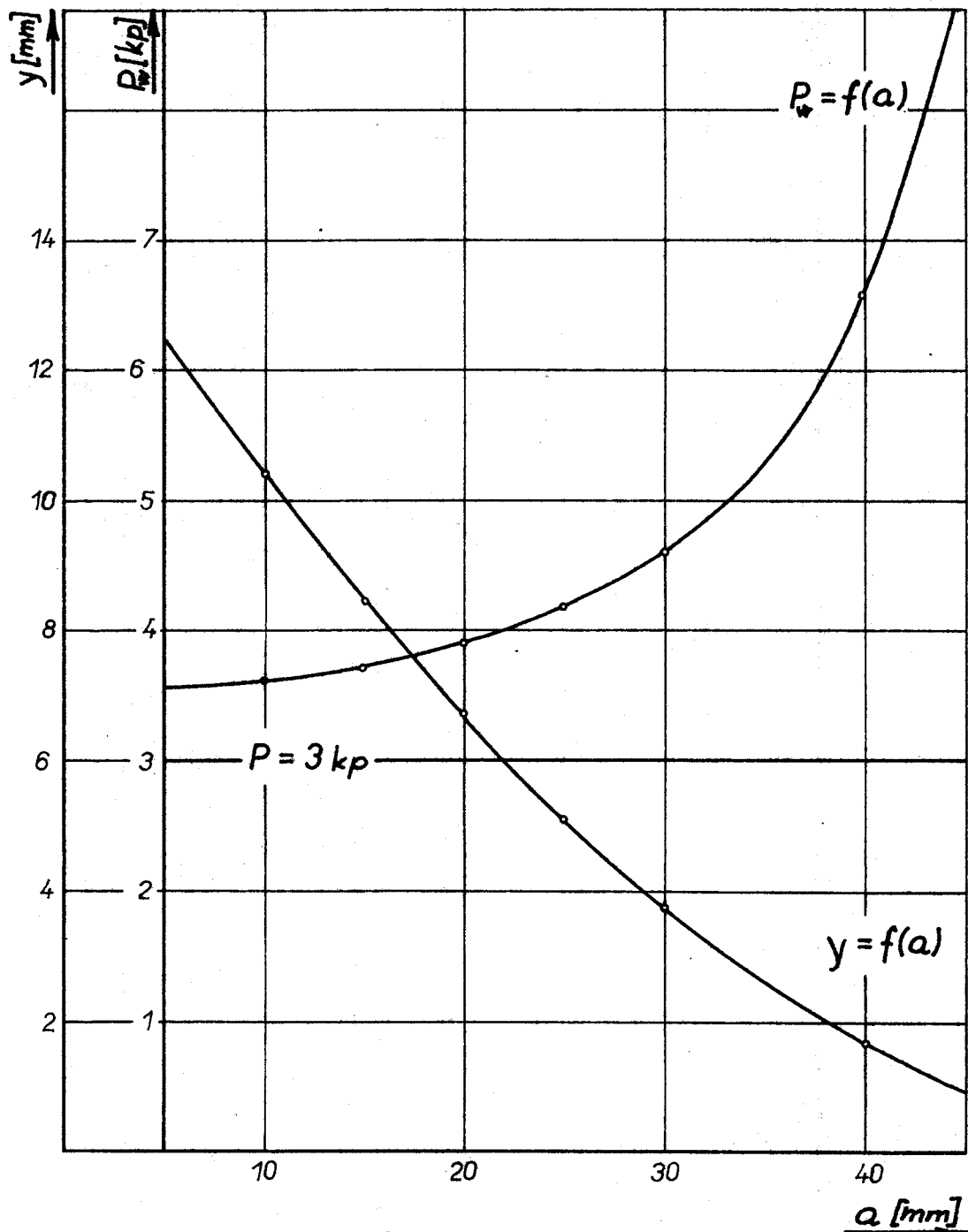
### 3.2 Vliv umístění podpory ( obr.13 )

Konstatní zůstává v tomto případě délka pera, jeho šířka a tloušťka. Je zřejmé, že v úvahu připadá vzdálenost podpor v rozmezí 10 - 20 mm, kdy je tuhost pera 60 mm dlouhého poměrně vyhovující.

Zvětší-li (změní-li) se ještě délka pera, křivka  $P_w = f(a)$  se posune dolu (nahoru) a křivka  $y = f(a)$  se posune nahoru (dolu).



Obr. 12 - Vliv změny délky pera na strmost charakteristiky pera a velikost deformace nutné k vyvolání 3 kp.  
 $a = \text{konst} = 16 \text{ mm}$ ,  $c = \text{konst} = 8 \text{ mm}$ ,  
 $h = \text{konst} = 1 \text{ mm}$



Obr. 13 - Vliv změny umístění podpory na charakteristiku pera a velikost deformace nutné k vyvolení 3 kp  
 $a + b = \text{konst} = 60 \text{ mm}$ ,  $\delta = \text{konst} = 8 \text{ mm}$ ,  
 $h = \text{konst} = 1 \text{ mm}$

3.3 Vliv změny tloušťky pera (obr.14)

Změna tloušťky pera je jen v malých mezích a proto se vzhůst síly při zavádění útku neprojevuje tak význačně, jako v minulých případech. Změna potřebné deformace je větší. Přijatelná tuhost (strmost charakteristiky) je u pera tloušťce 0,9 až 1,0 mm. Při větších tloušťkách má již pero příliš strmou charakteristiku.

Při zvětšení (změnění) délky se křivka  $P_w = f(h)$  posune dolu (nahoru), křivka  $y = f(h)$  nahoru (dolu) a zvětšením (změněním) vzdálenosti podpor se posune  $P_w = f(h)$  nahoru (dolu) a  $y = f(h)$  dolu (nahoru).

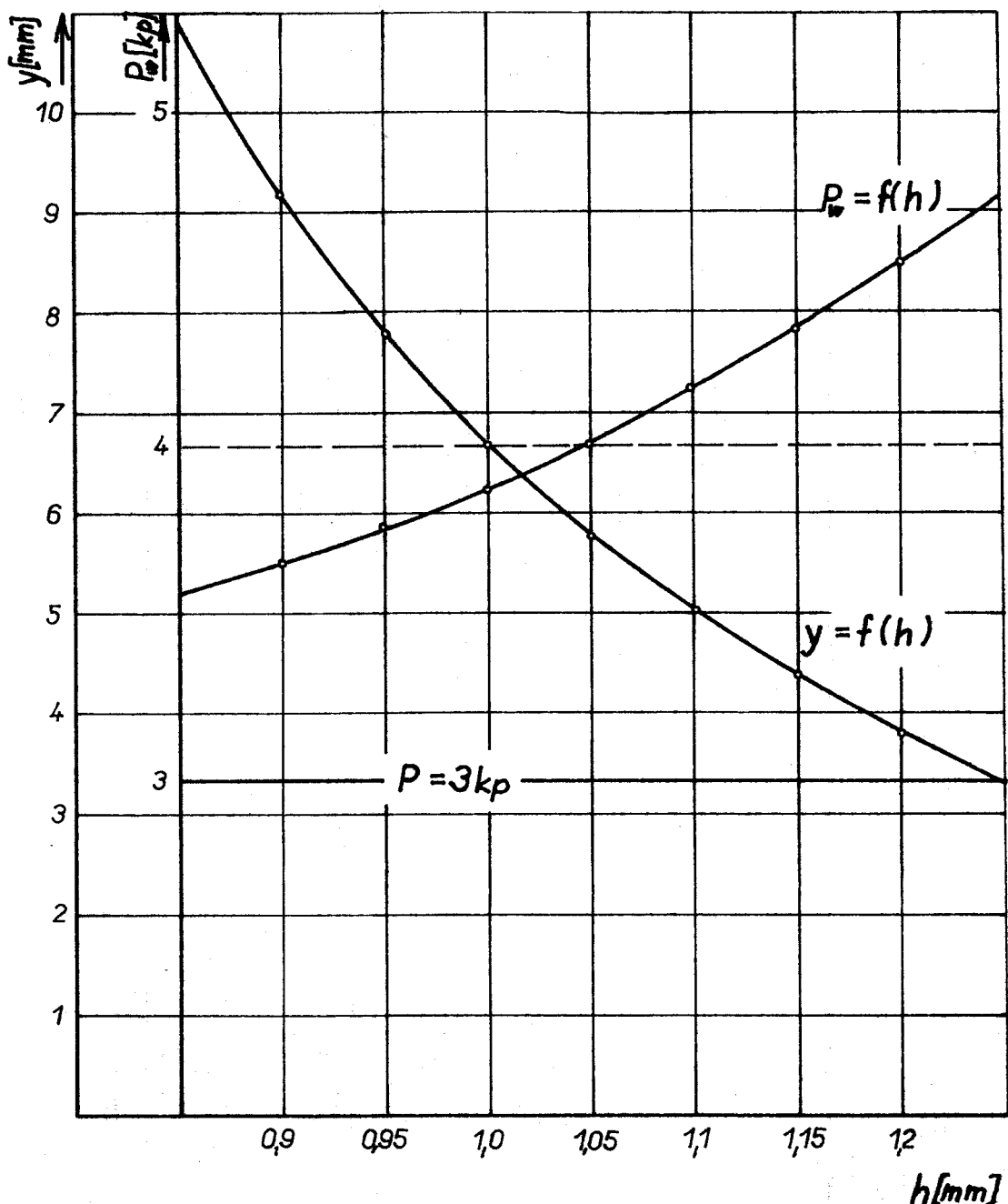
3.4 Vliv změny délky zeslabeného konce pera (obr.15)

Tloušťka se mění v rozmezí  $h \in \langle 1; 0,5 \rangle$  na délce  $l$ . Vliv tohoto zeslabení pera na jeho tuhost má podstatný vliv od délky  $l = 20 - 25$  mm. Při kratší délce zeslabeného konce je jeho vliv nepatrný. Při délce  $l$  větší než 35 mm zase neúnosně vzhůstá deformace  $y$  (a tím i výsledné zakřivení pera ve skřipci).

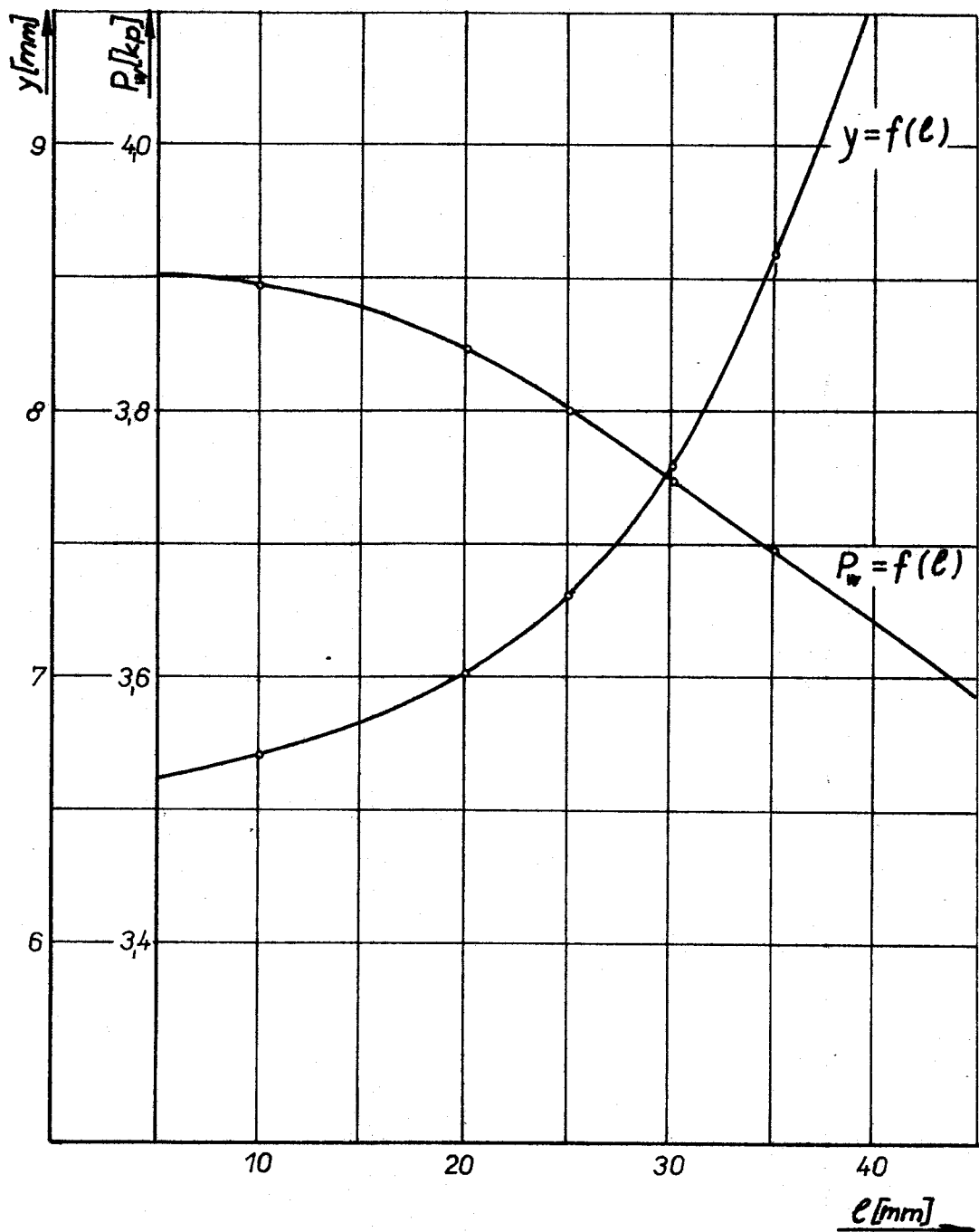
Uvedená závislost platí pro délku pera 60 mm, vzdálenost podpor 20 mm, šířku pera 8 mm. Při změně některého z těchto parametrů dostaneme opět soustavu křivek.

3.5 Shrnutí

Uvedené grafy znázorňují vlastnosti pera v závislosti na změně některých parametrů a mají vytvořit obraz o velikosti některých rozměrů pera, které se dají reálně použít.



Obr. 14 - Vliv změny tloušťky pera na charakteristiku  
pera a velikost deformace nutné k vyvolání 3kp  
 $a = \text{konst} = 20 \text{ mm}$ ,  
 $a + b = \text{konst} = 60 \text{ mm}$   
 $c = \text{konst} = 8 \text{ mm}$



Obr. 15 - Vliv změny délky  $l$  zeslabeného konce pera na jeho charakteristiku a velikost deformace nutné k vyzvednutí 3 kp.

$a + b = \text{konst} = 60 \text{ mm}$

$a = \text{konst} = 20 \text{ mm}$

$c = \text{konst} = 8 \text{ mm}$

$h \in \langle 1; 0,5 \rangle$  na délce  $l$

VŠST Liberec	Uchycení útku ve skřipci tkacího stavu typu OK	KTS
Fakulta strojní		1974 Str.39

Omezující faktory jsou z jedné strany neúměrný vzrůst síly v peru při zavádění útku a z druhé naopak velká deformace na konci pera, nutná na vyvolání přitlaku  $P = 3\text{kp}$ . Dalším omezujícím faktorem je velikost skřipce, do kterého má být pero zasazeno a v němž má plnit svoji funkci.

Je zřejmé, že zvětšování délky pera působí na tyto výše uvedené vlastnosti zcela opačně, než zvětšování vzdálenosti podpor. Je patrné, že optimální délky se pohybují v rozmezí 55 - 65 mm a vzdálenost podpor je 10 - 20 mm. Zvětšování tloušťky pera působí obdobně jako zvětšování vzdálenosti podpor.

Tyto závislosti mohou být jednou z pomocek při dalších konstrukčních návrzích pera.

4. NÁVRH NOVÉHO PERA

Při navrhování nového tvaru pera bylo cílem zachovat dobré vlastnosti stávajícího pera ( na př. poloha těžiště co nejbliže ose výstřelu, spolehlivé axiální zachycení pera ve skřipci a pod.) a jeho nedostatky pokud možno odstranit.

Především se měla zvýšit životnost. Pero by mělo být výrobně jednodušší a tedy levnější, v krajním případě by měly být ekonomické náklady na stejném úrovni.

Změna tvaru pera tkví hlavně v jeho zajištění proti axiálnímu pohybu vůči tělu skřipce. Do pera jsou v místě podpory A provedeny zářezy, jimiž pero zapadá do upraveného čepu. ( obr.16 ).

Dále je také pozměněn tvar podélného průřezu pera. V místě maximálního ohybového momentu až k podpoře A je pero zesíleno, ke konci, který zachycuje útek, se zeslabuje ( viz obr. 17 ).

4.1 Rozbor jednotlivých variant.

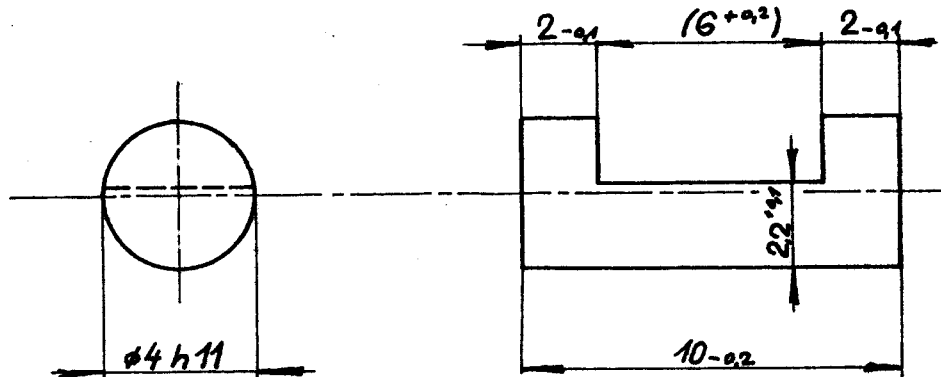
Při hledání nevhodnějšího tvaru byla uvažována pera, jejichž tloušťka se na kotě 35 mění v rozmezí

- a)  $he \langle 1,1; 0,6 \rangle$
- b)  $he \langle 1,1; 0,5 \rangle$
- c)  $he \langle 1,0; 0,6 \rangle$
- d)  $he \langle 1,0; 0,5 \rangle$

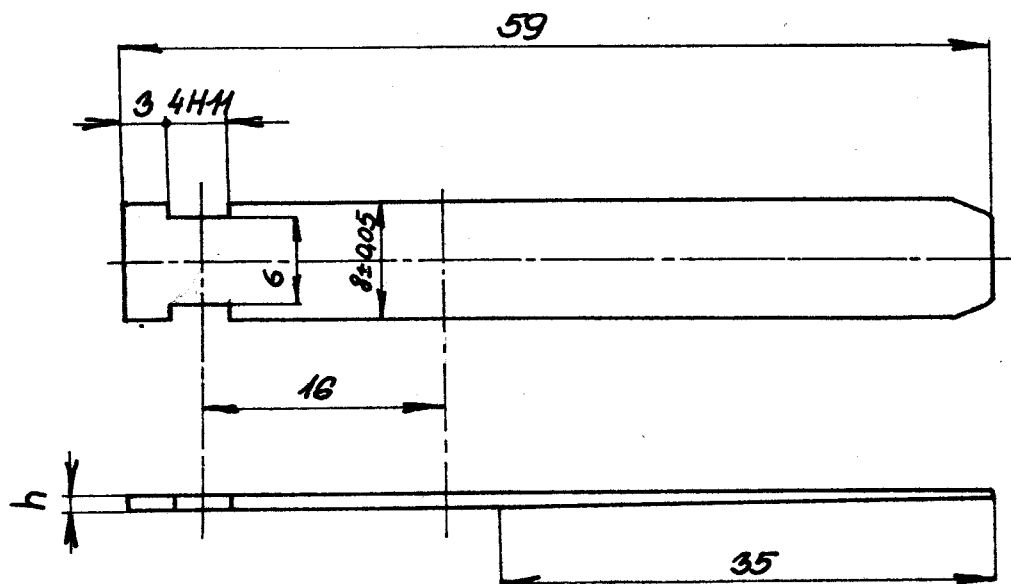
U všech variant byly zjištěny momentové plochy a provedena pevnostní kontrola.

4.1.1 Varianta a)

Varianta první se jeví jako nejtvrďší ( má nejstrmější



Obr. 16 - Upravený čep pro návrh pera



Obr. 17 - Tvar nově navrženého pera

VŠST Liberec	Uchycení útku ve skřipci tkacího stavu typu OK	KTS
Fakulta strojní		1974   Str.42

charakteristiku ). Pomocí redukované momentové plochy (příloha V) byl Mohrovou metodou v bodě C zjištěn průhyb (pro přitlak  $P = 3 \text{ kp}$ ):

$$y = 5,21 \text{ mm}$$

K zjištění velikosti redukované momentové plochy pod křivkou bylo použito opět zobecněného Simpsonova pravidla:

$$Z = 3 309,8823 \text{ kp mm}^2$$

Pro stlačení tohoto pera o  $w = 2 \text{ mm}$ , tedy proti původnímu tvaru o  $7,21 \text{ mm}$ , je třeba použít síly

$$P_w = 4,15 \text{ kp}$$

Pevnostní kontrola byla provedena jen v kritickém místě – místě podpory B, neboť vydrží-li tato vysoce namáhaná oblast kolísající ohybové napětí, ostatním průřezům lom nehrozí.

Průřezový modul v ohybu kritického místa je

$$W_o = \frac{1}{6} \cdot 8 \cdot (1,1)^2 = 1,61 \text{ mm}^3$$

Ohybový moment je  $M_o = 110,1 \text{ kp mm}$  a ohybové napětí

$$G_o = 68,3 \text{ kp/mm}^2$$

Při stlačení pera ohybové napětí vzroste na hodnotu

$$G_s = 94,7 \text{ kp/mm}^2$$

pak střední napětí je

$$G_m = 81,5 \text{ kp/mm}^2$$

a amplituda  $G_a = 13,2 \text{ kp/mm}^2$

Materiál pera byl ponechán jako u stávajícího pera 14 260.4.

Bezpečnost vyšlá ze Smithova diagramu je vyhovující ( příloha IX, indexy 1 ).

$$n = 1,495$$

VŠST Liberec	Uchycení útku ve skřipci tkacího stavu typu OK	KTS
Fakulta strojní		1974   Str.43

#### 4.1.2 Varianta b)

U druhé varianty je větší tuhostí v místě podpory B a menší tuhostí ke konci pera dosaženo menšího vztahu sily při zvětšení deformace pera, tím také menší amplitudy ohybového napětí a větší živétnosti. Momentová plocha s naznačenými polohami středisek jejich částí je na příloze VI.

Plocha pod křivkou je

$$Z = 3\ 953,9372 \text{ kp mm}^2$$

(Výpočet zobecněným Simpsonovým pravidlem).

Deformace pera zasazeného do skřipce vůči volnému peru je v bodě C

$$y = 5,53 \text{ mm}$$

Při zvětšení této deformace o  $w = 2 \text{ mm}$  vzroste síla na

$$P_w = 3,18 \text{ kp}$$

Pak napětí z hodnoty

$$\begin{aligned} G_d &= 68,3 \text{ kp/mm}^2 \\ \text{vzroste na } G_h &= 72,5 \text{ kp/mm}^2 \end{aligned}$$

Střední napětí je

$$G_m = 70,4 \text{ kp/mm}^2$$

$$\text{a amplituda } G_a = 2,1 \text{ kp/mm}^2$$

Bezpečnost zjištěna ze Smithova diagramu je

$$n = 2,26$$

(viz příloha IX, indexy 2).

#### 4.1.3 Varianty c) a d)

U variant c) a d) byla tloušťka v oblasti podpůrných čepů zmenšena na  $h = 1,0 \text{ mm}$  (tím se zmenšila v této oblasti i tuhost pružiny). Tloušťka funkčního konce pera je stejná jako u variant a) a b), t.j.

$$h_c = h_a = 0,6 \text{ mm}$$

$$h_d = h_b = 0,5 \text{ mm}$$

Mohrovou metodou byl u varianty c) pomocí momentové plochy (viz příloha VII) zjištěn průhyb pro přitlak  $P = 3 \text{ kp}$

$$y = 6,635 \text{ mm}$$

Jestliže deformace pera se zvětšila o další 2 mm, síla vzrostla na

$$P_w = 3,9 \text{ kp}$$

O něco menší hodnota byla zjištěna u varianty d). Zde síla v peru kolísá téměř jako u stávajícího pera v rozmezí

$$P = 3 \text{ až } 3,839 \text{ kp}$$

K tomuto výpočtu bylo opět použito Mohrovy metody pro koncový bod C (viz příloha VIII).

Pevnostní kontrola potvrdila, že obě varianty jsou schopné provozu.

Průřezový modul v ohybu v místě podpory B je u obou

$$W_o = 1,335 \text{ mm}^3$$

Ohybový moment pak

$$M_o = 110,1 \text{ kpmm}$$

Dolní hranice ohybového napětí je

$$\bar{\sigma}_a = 82,4 \text{ kp/mm}^2$$

Horní ohybové napětí u varianty c) dosahuje hodnot

Což znamená

$$\bar{\sigma}_a = 107 \text{ kp/mm}^2$$

$$\bar{\sigma}_m = 94,7 \text{ kp/mm}^2$$

U varianty d) je

$$\bar{\sigma}_a = 12,3 \text{ kp/mm}^2$$

$$\bar{\sigma}_m = 105,5 \text{ kp/mm}^2$$

a tedy

$$G_m = 93,95 \text{ kp/mm}^2$$

$$G_a = 11,55 \text{ kp/mm}^2$$

Ze Smithova diagramu [ příloha X, varianta c ) - indexy 3, varianta d ) - indexy 4 ] vyjdou téměř stejné bezpečnosti

$$n_3 = 1,4$$

$$n_4 = 1,425$$

#### 4.2 Kontrola zajištění proti axiálnímu pohybu pera ve skřipci.

U stávajícího pera je styk mezi perem a jistícím čepem přímkový. Návrh nového tvaru, právě řešením zámku, v sobě skrývá nedostatek, který zpočátku se zdál bezvýznamný, ale který, jak praxe ukázala, se stal rozhodujícím negativním jevem tohoto návrhu. Zajištění proti axiálnímu pohybu pera vůči skřipci je realizováno stykem pera s čepem ve dvou bodech ( prakticky ve dvou úsečkách o délce 1 mm).

Vlivem setrvačné síly, která na pero při výstřelu a brzdění skřipce působí, jsou namáhaný průřezy I. - I. a II. - II. ( viz obr. 18 ).

Uvedené průřezy jsou však namáhaný pouze při urychlení skřipce, tzn. působící setrvačná síla D mění svoji velikost z maximální hodnoty na hodnotu nulovou. U tohoto konstrukčního řešení zámku pera hraje důležitou roli vůle. Pokud je splněn předpoklad, že v zámku vůle nejsou, jedná se o namáhání dynamické. V opačném případě dochází k rázům, jež celkovou situaci ještě zhoršují.

Průřez I.-I. je namáhan míjivým tahem a jeho velikost

VŠST Liberec	Uchycení útku ve skřipci tkacího stavu typu OK	KTS
Fakulta strojní		1974 Str.46

je  $S = 6 \cdot 1 = 6 \text{ mm}^2$ .

Setrváčná síla je

$$D = m \cdot a = 3,27 \cdot 10^3 \cdot 10^3 \cdot 9,81 = 32,1 \text{ N} \quad (40)$$

$$D = 3,27 \text{ kp}$$

Vzniklé napětí dosahuje hodnot

$$\sigma = \frac{D}{S} = \frac{3,27}{6} = 0,545 \text{ kp/mm}^2 \quad (41)$$

Na průřezy II.- II. působí smykové napětí. Velikost obou průřezů je

$$S = 2 \cdot 2 \cdot 1 = 4 \text{ mm}^2$$

Smykové napětí je

$$\tau = 0,818 \text{ kp/mm}^2$$

Sice byly kontrolovány varianty c) a d), tedy varianty o menší tloušťce, avšak vypočtené maximální hodnoty napětí jsou velmi malé. Při použití výše uvedeného materiálu, by průřezy teoreticky neměly být porušeny, neboť nemáme únavy při míjivém tahu je

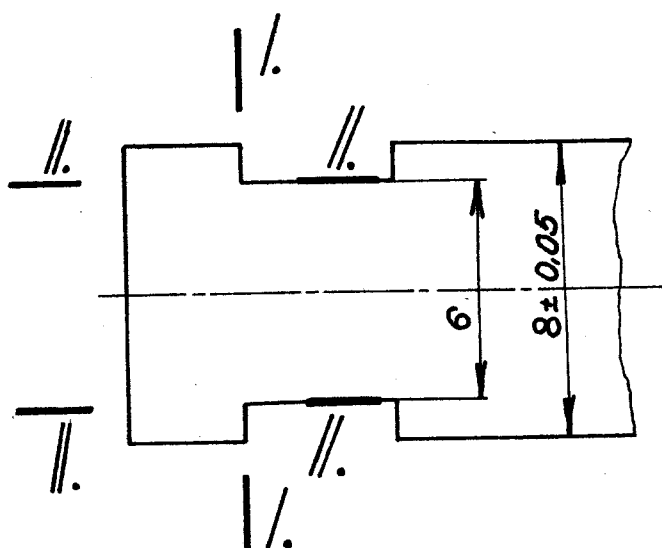
$$\sigma_{hc} = 0,61 \cdot \sigma_{pt} = 91,5 \div 110 \text{ kp/mm}^2 \quad (42)$$

a mez únavy pro míjivé namáhání smykové

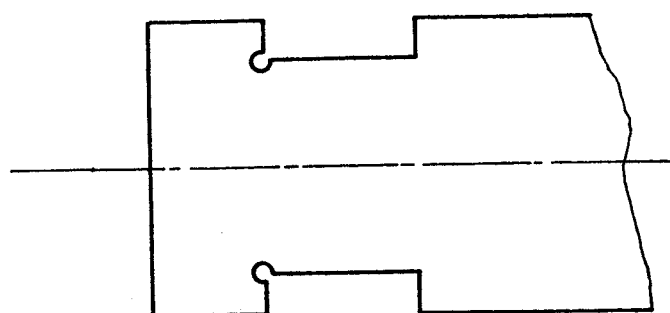
$$\tau_{hc} = 0,49 \cdot \tau_{pt} = 73,5 \div 88,2 \text{ kp/mm}^2 \quad (43)$$

Vztahy jsou v pramenu [5].

Při zkušebním provozu však toto pero vydrželo pouze cca 500 000 pracovních cyklů a pak v uvedených průřezech praskalo. Velký vliv má zřejmě vzniklý vrub, kde dochází k velké koncentraci napětí a tím značně snižuje uvedené hodnoty meze únavy. Tomu také odpovídá charakter lomu pera. V žádném případě se nejednalo o porušení průřezů pouhým přetržením nebo ustřížením. Lomy zkoumané v uvedených



Obr. 18 - Namáhané průřezy I. - I. a II. - II.  
setrvačnou silou D



Obr. 19 - Možný způsob zamezení vlivu vrubu

VŠST Liberec	Uchycení útku ve skřípci tkacího stavu typu OK	KTS
Fakulta strojní		1974   Str.48

průřezech byly únavové.

Zmenšení vlivu vzniklého vrubu a možného odstranění předčasných poruch pera by se dalo dosáhnout zesílením pera v oblasti zámku. Tato úprava však není vhodná, neboť potom tento návrh ztrácí svoji největší výhodu proti peru stávajícímu - úsporu materiálu a výrobní jednoduchost právě v oblasti zámku.

Dalším možným způsobem, jak změnit vliv vrubu, je úprava zámku podle obrázku 19.

5. NÁVRH. PERA S PRUŽNOU PODPOROU

Snažba o výrazné zvětšení životnosti pera a zlepšení funkce pera vedla k použití pružné podpory. Velmi podstatný je fakt, že deformace a tím i akumulovaná energie k vyvolání přitlačné síly  $P = 2,5$  až  $3$  kp se rozdělí na pero i podporu. Pero je tedy méně namáhané. Neméně významnou se jeví i skutečnost, že pružná podpora se podílí velkou měrou na tlumení možných vibrací.

Materiál podpory byl volen podle požadavků na podporu kladených, s přihlédnutím ke skutečnosti, že se jedná o namáhání dynamické. V úvahu byly brány dva druhy materiálu:

a) vulkolan

b) pryž ČSN 622 217.07 (pro dynamické  
namáhání)

Pro vyjádření míry deformací musí být známá tvrdost materiálu podpory. Hodnoty pryže jsou  $65 - 74^{\circ}$  Sh [1]. U vulkolanu se tvrdost zjistila Shoreho tvrdoměrem. A hodnoty z jednotlivých měření jakož i průměrná hodnota jsou uvedeny v tabulce III.

Tab. III-str. 49 Hodnoty tvrdosti vulkolanu

Číslo měření	1	2	3	4	5	6	7	8	9	10	prům. hodnota
$^{\circ}$ Sh	78	82	79	80	81	80	79	80	81	81	80,1

Výpočet byl proveden za určitých zjednodušujících předpokladů. Neuvažuje se, že ke stlačování pružné podpory dochází "rotací" pero kolem zámku. Protože jde většinou o velmi malé hodnoty deformace, předpokládá se, že jednotlivé polohy

VŠST Liberec	Uchycení útku ve skřipci tkačího stavu typu OK	KTS
Fakulta strojní		1974   Str.50

plochy podpory stýkající se s perem jsou neustále navzájem rovnoběžné. Pro snadnější početní vyjádření je uvažována podpora ve tvaru kvádru ( tedy bez mírných skosů použitych ve skutečnosti).

Pro použití pružné podpory je nutné, aby skřipec v místě uložení podpory měl plné dno. Jsou uvedeny dvě varianty. V první je použit stávající skřipec se dnem kapilárně připájeným mědí v místě podpory a stávající pero. Ve druhé variantě pero i skřipec jiné koncepce.

#### 5.1 Použití pružné podpory u stávajícího skřipce.

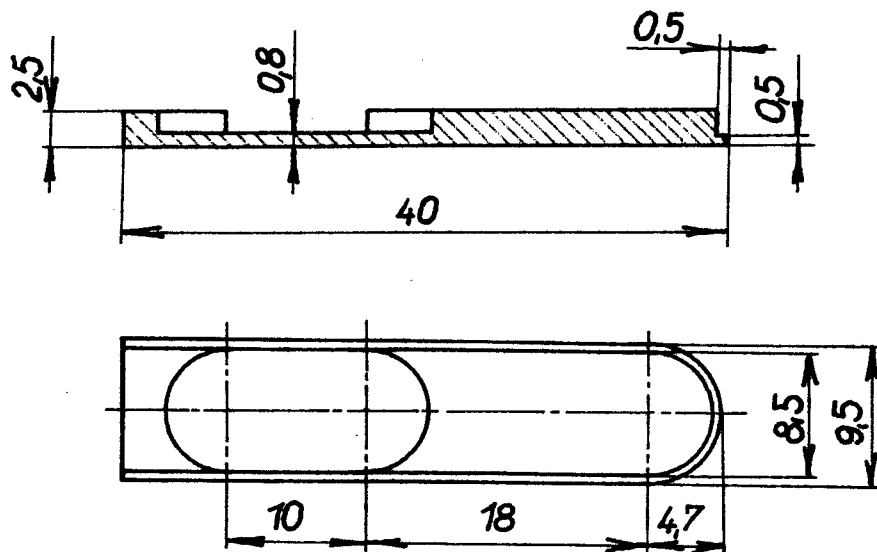
( výkresy DP -74 -KTS - ...-510 až ... -516 )

Použití pružné podpory by mělo zlepšit vlastnosti stávajícího prohozního elementu. Nutná je jen úprava skřipce, která ve svém konečném výsledku vede ke zpevnění skřipce v místech, kde docházelo k praskání skřipce. V jeho zadní části do profrézovaného otvoru se kapilárně mědí připájí dno pro pružnou podporu. Tvar a rozměry dna jsou naznačeny na obr.20, skřipec je na výkrese s číslem DP - ... -511; celková sestava na výkrese DP - ... - 510.

Aby si pero podepřené pružnou podporou zachovalo dobré vlastnosti a přítlek na ostruhu  $P = 2,5$  až  $3 \text{ kp}$ , musí být výška stlačené podpory stejná, jako výška místa podepření pevným čepem. Znázorněno na obr. 21 a, b.

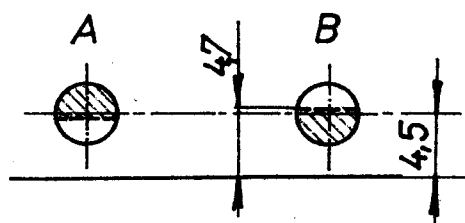
##### 5.1.1 Konstrukční a efektivní výška podpory.

Funkční výška podpory je dobře patrná z obr. 21 b, avšak k výrobě pružné podpory je nutné znát výšku konstrukční.

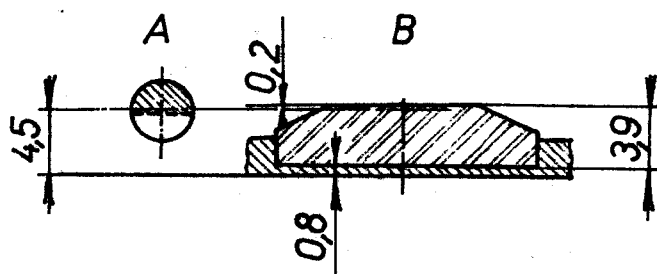


Obr. 20 - Dno pro pružnou podporu  
( M 2:1 )

a)



b)



Obr. 21 - Výška podpor ( M 2:1 )

a) stávající provedení

b) stlačená podpora

Výpočet je proveden najdříve pro vulkolan.

Tvrzostí vulkolanu  $80,1^{\circ}\text{Sh}$  odpovídá modul pružnosti v tlaku  $E = 79 \text{ kp/cm}^2$  [1].

Velikost reakce v pružné podpoře je

$$R_B = \frac{P}{a} (a + b) = 3 + 3 \frac{36,7}{16} \quad (44)$$

$$R_B = 9,88 \text{ kp}$$

Rozměry styčné plochy vulkolanu s perem jsou  $6 \times 10 \text{ mm}$ .

Tedy  $S = 60 \text{ mm}^2$ .

Z rozměrů podpory a velikosti reakce  $R_B$  plyne velikost napětí v tlaku

$$\sigma = \frac{R_B}{S} = \frac{9,88}{0,6} = 16,5 \text{ kp/cm}^2 \quad (45)$$

můžeme psát [1]

$$\epsilon = \frac{\Delta l}{l'} = \frac{\sigma}{E + 0,9\sigma} = \frac{16,5}{79 + 14,85} = 0,176 \quad (46)$$

$\Delta l$  - stlačení,  $l'$  - efektivní výška,  $l$  - konstrukční výška.

Význam jednotlivých symbolů je na obr.22.

Z posledního vztahu tedy můžeme psát:

$$\Delta l = 0,176 l' \quad (47)$$

Z obrázku 21 b) je zřejmé, že platí:

$$l - \Delta l = 3,9 \text{ mm} \quad (48)$$

Pak můžeme psát:  $3,9 = l - 0,176 l'$  (49)

$$\text{a dále } l' = \frac{l - 3,9}{0,176} \quad (50)$$

Pro tlačnou pružinu tvaru hranolu lze psát [1]

$$\frac{l'}{l} = 0,75 + 0,25 \frac{i}{j} - \frac{0,15 \frac{e}{c}}{1 + 0,1 \frac{e}{c}} \quad (51)$$

kde  $i$ ,  $j$  jsou rozměry hranolu. Dosazením rozměrů našeho případu dostaneme:

$$\frac{l'}{l} = 0,75 + 0,25 \frac{6}{10} - \frac{0,15 \frac{6}{1}}{1 + 0,1 \frac{6}{1}} = 0,9 - \frac{0,9}{1+0,6} \quad (52)$$

Dalším dosazením za  $l'$ :

$$\frac{\frac{l}{l} - 3,9}{0,176} = 0,9 - \frac{0,9}{1 + 0,6} \quad (53)$$

Upravou dostaneme kvadratickou rovnici tvaru:

$$0,842 l^2 - 3,237 l - 2,34 = 0 \quad (54)$$

Jejím řešením dostaneme dva kořeny, avšak pro realisaci návrhu má význam pouze jeden kořen:

$$l = 4,46 \text{ mm}$$

Konstrukční výška podpory je tedy  $l = 4,46 \text{ mm}$  a efektivní výška  $l' = \frac{l - 3,9}{0,176} = 3,18 \text{ mm}$

### 5.1.2 Zjištění míry deformací podpory a pera.

Jak již bylo uvedeno, celková deformace nutná pro realisaci zavedení útku mezi pero a ostruhu skřipce se rozdělí mezi pružnou podporu a pero. Celková deformace v bodě C je dána součtem deformace pera a deformace podpory přepočtené na bod C ( viz obr. 23 ).

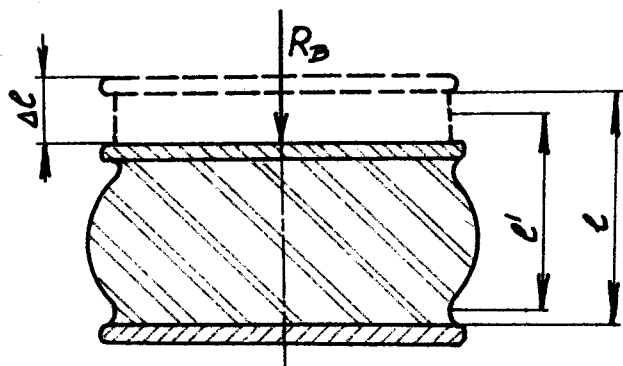
Z obrázku také plyne vztah

$$\operatorname{tg} \alpha = \frac{z'}{a} = \frac{z - z'}{b} \quad (55)$$

vyjádřením z dostaneme:

$$z = z' \frac{a + b}{a} \quad (56)$$

a dosazením číselných hodnot za  $a, b$ , dostaneme

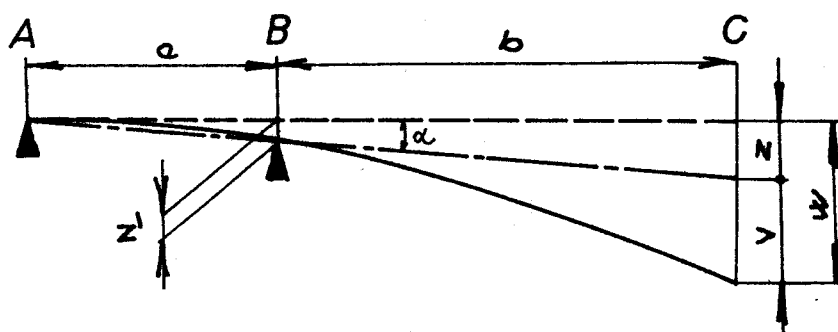


Obr. 22 - Konstrukční a efektivní výška podpory

l - konstrukční výška

l' - efektivní výška

delta l - stlačení



Obr. 23 - Míra deformací podpory a pera

w - celková deformace

v - průhyb pera

z' - deformace podpory

z - deformace podpory přeypočtená do bodu C

$$z = f(z')$$

$$z = 3,37 z' \quad (57)$$

Můžeme psát první ze tří rovnic pro tři neznámé. Celkové zvětšení deformace při navádění útku uvažujeme maximálně  $w = 2\text{mm}$ .

$$w = v + 3,37 z' \quad (58)$$

ze vztahu (21) můžeme psát vztah (59):

$$7,03 + v = P_w \frac{1345 \cdot 16}{3 \cdot 2,15 \cdot 10^4 \cdot 0,486} + \frac{P_w}{1,045 \cdot 10^4} \cdot (11600 + 5785 + 18,8)$$

$$7,03 + v = P_w \cdot 2,345 \quad (60)$$

kde konstanta 2,345 je funkcí velikosti momentové plochy, polohy jejího těžiště a momentu setrvačnosti  $I$ ; 7,03 je deformace pera pro vyvození přitlaku  $P = 3\text{kp}$ . Tato rovnice je druhá.

Třetí získáme úpravou vzorce pro poměrné stlačení podpory k vztahu (46).

$$\text{Reakce při stlačení pera je } R_B = P_w \left( 1 + \frac{b}{a} \right) = 3,29 P_w$$

Napětí v podpoře je dle vztahu (45)

$$\sigma = \frac{3,29 P_w}{0,6} = 5,49 P_w \text{ kp/cm}^2 \quad (61)$$

Dosazením do vztahu (46) dosáhneme

$$\epsilon = \frac{5,49 P_w}{79 + 4,94 P_w} = -\frac{\Delta l'}{I} \quad (62)$$

$\Delta l'$  je snížení pružné podpory proti konstrukční výšce 1 při stlačení pera.

Musí platit rovnice

$$z' = \Delta l' - \Delta l = \Delta l' - 0,56 \quad (63)$$

tedy pro  $\Delta l'$  můžeme psát:

VŠST Liberec	Uchycení útku ve skřipci tkacího stavu typu OK	KTS
Fakulta strojní		1974 Str.56

$$\Delta l' = z' + 0,56 \quad (64)$$

Dosazením do vztahu (62) získáme třetí rovnici:

$$\frac{5,49 P_w}{79 + 4,94 P_w} = \frac{z' + 0,56}{3,18} \quad (65)$$

Z rovnice (58) vyjádříme  $v$  a dosadíme do vztahu (60), čímž získáme :

$$2,345 P_w = 7,03 + 2 - 3,37 z' \quad (66)$$

$$P_w = 3,85 - 1,44 z' \quad (67)$$

Sloučením vztahů (67) a (65) dostaneme kvadratickou rovnici pro  $z'$ :

$$7,1 z'^2 - 119,22 z' + 12,3 = 0 \quad (68)$$

Řešením dostaneme dva kořeny:

$$z'_1 = 0,13 \text{ a } z'_2 = 16,67$$

Je tedy zřejmé, že v daném případě je bezvýznamný druhý.

Podle (58) platí  $2 = v + 3,37 + 0,13$

Deformace připadající na pero je tedy

$$v = 1,563 \text{ mm}$$

Síla tedy vzroste na hodnotu

$$7,03 + 1,563 = 2,345 P_w$$

$$P_w = 3,66 \text{ kp}$$

Nyní provedeme novou pevnostní kontrolu.

### 5.1.3 Pevnostní kontrola stávajícího pera s použitou pružnou podporou.

Pevnostní kontrola stávajícího pera s pevnou podporou byla provedena v kapitole 2.2.3. Protože přítlač na ostruhu skřipce je stejný ( $P = 3 \text{ kp}$ ), bude stejný i ohybový moment a dolní ohybové napětí:

$$M_o = 110,1 \text{ kp mm}$$

$$\bar{\sigma}_a = 102 \text{ kp/mm}^2$$

S použitím pružné podpory síla v peru vzroste při stlačení na  $P_w = 3,66 \text{ kp}$ .

Tomu odpovídá ohybový moment  $\overset{en}{\sigma}_a$

$$M_{o \max} = 134,5 \text{ kp mm}$$

Horní napětí je tedy

$$\bar{\sigma}_h = 124,5 \text{ kp/mm}^2$$

Střední napětí a jeho amplituda vyjde tedy menší než u původního případu:

$$\bar{\sigma}_m = 113,25 \text{ kp/mm}^2$$

$$\bar{\sigma}_a = 11,25 \text{ kp/mm}^2$$

Materiál pera zůstane stejný a tedy bezpečnost ze Smithova diagramu (příloha XI, indexy 1) vyjde větší než u stávajícího pera.

$$n = 1,25$$

Bezpečnost je poměrně vyhovující.

Při použití pružné podpory stejných rozměrů z prýže ČSN 622 217.07 se výsledky témeř neliší od výsledků získaných při použití vulkolamu. Síla v peru při zavádění útku vzroste na hodnotu 1,015 krát menší ( $P_w = 3,6 \text{ kp}$ ). Bezpečnost vyjde  $n = 1,26$ , tedy témeř stejná.

#### 5.1.4 Vliv urychlení a brzdění skřipce na pero.

V tomto případě byl použit stávající skřipec i pero a byla pouze provedena záměna pevné podpory za pružnou. Tato má stejnou výšku jako podpora původní. Jedná se tedy v podstatě o stejný problém jako v kapitole 2.3 a proto zde není rozebíráno.

VŠST Liberec	Uchycení útku ve skřipci	KTS	
Fakulta strojní	tkacího stavu typu OK	1974	Str.58

## 5.2 Použití pružné podpory s navrženým perem a pozměněným skřipcem

( Výkresy DP - ... - KTS - ... - 520 až ... - 525 )

Výhody pružné podpory jsou popsány v kapitole 5. dříve. Nově navržené pero, jehož výroba se jeví jednodušší proti výrobě stávajícího pera, by mělo přednosti pružné podpory ještě více zvýraznit.

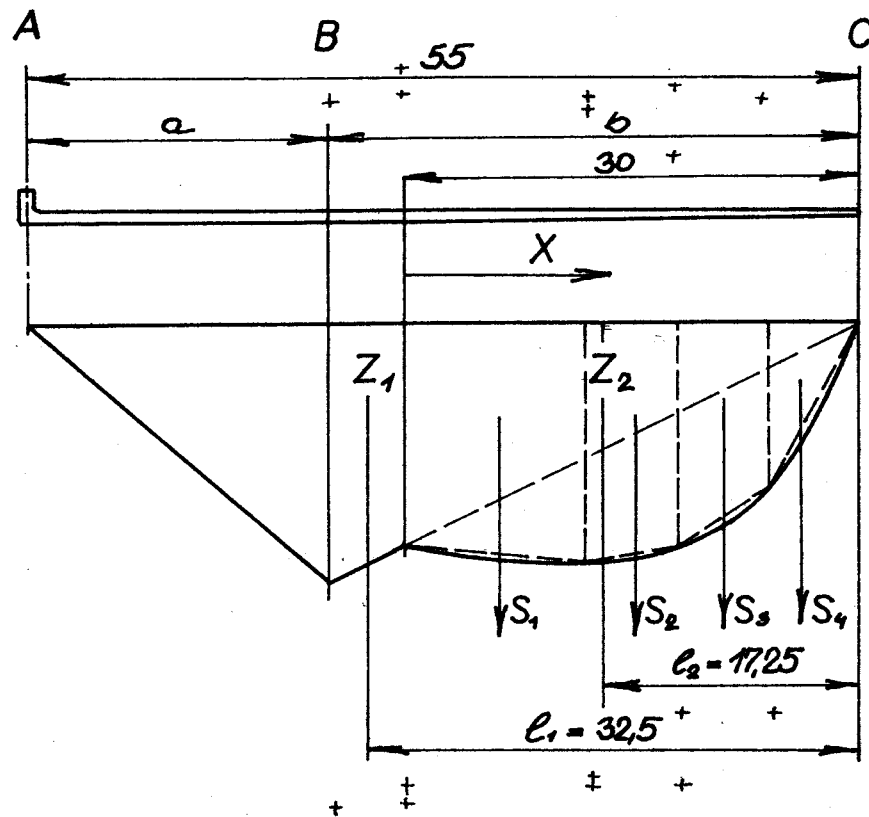
Skřipec je pak pružné podpoře a použitému peru uzpůsoben. K tělu skřipce ( výkres DP - ... - 521 ) je mědi kapičárně připájeno víčko s profrézovanou drážkou pro zámek pera ( výkres DP - ... - 522 ). Otvor  $\phi 1 \text{ mm}$  slouží k demontáži pera.

### 5.2.1 Konstrukční návrh pera ( výkres DP - ... - 523 )

Nový návrh pera má poněkud odlišné některé rozměry od stávajícího pera. Je kratší a jeho funkční konec je zeslaben proti stávajícímu o 0,1mm, aby se pokud možno co nejvíce snížila citlivost pera na vibrace. Materiál pera a jeho tepelné zpracování je stejné jako u stávajícího pera.

Pro provedení pevnostní kontroly je nutné znát deformaci pera v bodě C pro vyvolání žádaného přitlaku  $P = 3 \text{ kp}$  a také strmost charakteristiky pera. Pro zjištění deformace v bodě C byla použita Mohrova metoda. Redukovaná momentová plocha je naznačena na obrázku 24 a jednotlivé hodnoty v tabulce IV.

Pro průhyb v bodě C platí vztah



Obr. 24 - Redukovaná momentová plocha

Tab. IV - str. 58 Hodnoty redukovaných momentů

$x$ [mm]	30	27	24	21	18	15
$t$ [mm]	0,9	0,8591	0,8192	0,7793	0,7394	0,6995
$M_r$ [kpmm]	90	93,129	95,475	97,040	97,382	95,846
$x$ [mm]	12	9	6	3	0	
$t$ [mm]	0,6596	0,6197	0,5798	0,5399	0,5000	
$M_r$ [kpmm]	91,448	82,709	67,323	41,690	0	

$$y = \frac{P a b^2}{3 E I} + \frac{1}{E I} (z_1 l_1 + z_2 l_2) \quad (69)$$

kde  $z_1$  a  $z_2$  jsou velikosti části momentové plochy  
 $[z = f(P)]$  a  $l_1$  a  $l_2$  vzdálenosti jejich středisek od místa C.  
 Velikost  $z_2$  byla určena pomocí Simpsonova zobecněného pravida. Dosazením číselných hodnot

$$y = \frac{3 \cdot 20,35^2}{3 \cdot 10449} + \frac{1}{10449} (487,5 \cdot 32,5 + 243,4 \cdot 17,25)$$

dostaneme

$$y = 7,88 \text{ mm}.$$

Při použití pevné podpory by síla v peru při jeho stlačení o  $w=2$  mm vzrostla na hodnotu  $P_w = 3,76$  kp. Tuhost pera je tedy vyhovující. Použijeme však podporu pružnou. Její zpracování je v následující kapitole.

### 5.2.2 Konstrukční a efektivní výška podpory

Funkce a poloha podpory je dobře patrná z výkresu DP - ... - 520. Takto všezená do skřipce a stlačená perem má výšku 5,5 mm. Pro její výrobu je nutné znát její výšku konstrukční. Protože v kapitolách 5.1 bylo zjištěno, že výsledky při použití vulkolanu a pryže ČSN 622 217.07 se téměř neliší, je výpočet proveden pouze pro vulkolan.

Velikost reakce podle vztahu (44) vyjde

$$R_B = 8,25 \text{ kp}$$

Rozměry styčné plochy podpory s perem jsou  $6 \times 10$  mm.

Tedy stlačovaná plocha je

$$S = 60 \text{ mm}^2$$

VŠST Liberec	Uchycení útku ve skřipci tkacího stavu typu OK	KTS
Fakulta strojní		1974   Str.61

Tlakové napětí v podpoře vzniklé je

$$G = 13,75 \text{ kp/cm}^2$$

Podle vztahu (46) můžeme psát

$$\epsilon = \frac{\Delta l}{l} = 0,1505 \quad (70)$$

Jestliže výška stlačené podpory je 5,5 mm, můžeme psát

$$5,5 = l - \Delta l \quad (71)$$

Význam symbolů  $l$ ,  $\Delta l$  je patrný z obrázku 22.

Sloučením vztahů (70) a (71) dostaneme

$$l' = \frac{l - 5,5}{0,1505} \quad (72)$$

Protože rozměry ve vztahu (51) zůstávají beze změny, můžeme přímo psát vztah

$$\frac{l'}{l} = 0,9 - \frac{0,9}{1 + 0,6} \quad (52)$$

Dosazením za  $l'$  ze (72) do (52) a další úpravou získáme kvadratickou rovnici

$$0,86455 \cdot l^2 - 4,8458 \cdot l - 3,3 = 0 \quad (73)$$

a jejím řešením dva kořeny, z nichž pouze  $l = 6,25$  mm má v daném případě význam. To je také konstrukční výška podpory.

Efektivní výška ze vztahu (72) vyjde

$$l' = 4,98 \text{ mm}$$

a stlačení  $\Delta l = 0,75 \text{ mm}$

### 5.2.3 Deformace pera a podpory

Výpočet je prováděn zcela stejným způsobem jako v kapitole 5.1.2, a proto mohou být použity vztahy a obrázek 23.

Ze vztahu (56) platí pro tento případ

$$z = 2,75 z' \quad (74)$$

a tedy první rovnice zní

$$w = v + 2,75 z' \quad (75)$$

Protože na pero při stlačení o  $w$  připadne část deformace označená  $v$  a protože vytknutím  $P$  a vyčíslením pravé strany vztahu (69) dostaneme  $2,63 P$ , můžeme psát

$$7,88 + v = 2,63 P_w \quad (76)$$

což je rovnice druhá.

Reakce při stlačení pera je dána vztahem

$$R_B = 2,75 P_w \quad (77)$$

a tedy napětí v podpoře je

$$\sigma = 4,58 P_w \text{ kp/cm}^2 \quad (78)$$

Dosazením do vztahu (62) získáme

$$\varepsilon = \frac{4,58 P_w}{79 + 4,125 P_w} = -\frac{\Delta l'}{l'} \quad (79)$$

kde  $\Delta l'$  je opět snížení podpory při stlačení pera proti konstrukční výšce. Můžeme psát

$$z' = \Delta l' - \Delta l = \Delta l' - 0,75 \quad (80)$$

$$\text{a dále } \Delta l' = z' + 0,75 \quad (81)$$

Dosazením do vztahu (79) získáme

$$\frac{4,58 P_w}{79 + 4,125 P_w} = \frac{z' + 0,75}{4,98} \quad (82)$$

Protože platí

$$v = w - z = 2 - 2,75 z' \quad (83)$$

můžeme ze (76) psát

$$7,88 + 2 - 2,75 z' = 2,63 P_w \quad (84)$$

VŠST Liberec	Uchycení útku ve skřipci tkacího stavu typu OK	KTS
Fakulta strojní		1974 Str.63

$$P_w = 3,757 - 1,047 \cdot z^1 \quad (85)$$

Sloučením vztahů (84) a (82) dostaneme

$$\frac{4,58 (3,757 - 1,047 \cdot z^1)}{79 + 4,125 (3,757 - 1,047 \cdot z^1)} = \frac{z^1 + 0,75}{4,98} \quad (86)$$

a odtud úpravou rovnici:

$$z^{1,2} - 26,6 \cdot z^1 + 3,42 = 0 \quad (87)$$

Jejím řešením dostaneme pouze jeden kořen použitelný a to *realně*

$$z^1 = 0,11 \text{ mm}$$

Zpětným dosazením do vztahu (83) dostaneme

$$v = 1,695 \text{ mm při } p\ddot{\text{e}}\text{d}\text{p}\text{o}\text{k}\text{l}\text{a}\text{d}\text{u } w = 2 \text{ mm.}$$

Dále použitím vztahu (85) vyjde

$$P_w = 3,64 \text{ kp}$$

Na tuto hodnotu tedy vzroste síla v peru při jeho stlačení o  $w = 2 \text{ mm}$ .

#### 5.2.4 Pevnostní kontrola

Napětí, kterým je namáhané pero, je dynamické - jeho velikost se mění s časem přibližně dle obr. 8. Kontrola pera je prováděna pouze v místě maximálního ohybového momentu.

Průřezový modul v ohybu je

$$W_o = 1,08 \text{ mm}^3$$

Z minimální hodnoty ohybového momentu

$$M_{od} = Pb = 3,35$$

$$M_{od} = 105 \text{ kpmm}$$

vzrůstá tento na hodnotu

$$M_{oh} = 3,64 \cdot 3,35 = 127,5 \text{ kpmm}$$

Ohybové napětí pak kolísá mezi hodnotami

$$\sigma_{od} = 97,2 \text{ kp/mm}^2$$

$$\sigma_{oh} = 118 \text{ kp/mm}^2$$

Tomu odpovídá střední napětí

$$\sigma_m = 107,6 \text{ kp/mm}^2$$

a amplituda

$$\sigma_a = 10,9 \text{ kp/mm}^2$$

Bezpečnost ze Smithova diagramu ( příloha XII, indexy 2 ) vyjde  $n_2 = 1,32$ . To je hodnota vyhovující vzhledem k tomu, aby pero nebylo předimenováno.

#### 5.2.5 Kontrola zámku pera namáhaného při urychlení a brzdění skřipce.

Jak již bylo uvedeno, urychlení skřipce a jeho brzdění značně namáhá zámek pera. Napětí v ohybu nebo napětí smyková nedosahuje velkých hodnot za předpokladu, že v zámku nejsou vůle. Tento předpoklad však v praxi často nemusí být splněn, v zámku dochází k rázům a namáhání je daleko intensivnější. Pro lepší názornost následujících úvah je zámek nakreslen v měřítku 5:1 na obr. 25. Setrvačná síla vzniká při urychlení s  $a = 1000 \text{ g}$  na počátku a při brzdění skřipce z rychlosti  $v = 16/\text{ms}$  na dráze 60 až 70 mm s dobrzděním na babce ( 6 až 7 mm ) - tomu odpovídá zpoždění  $a = 3880 \text{ až } 3300 \text{ m/s}^2$ .

Roviny smykového namáhání při urychlení a brzdění nejsou totožné - jsou navzájem přesazeny o 0,5 mm ( viz obr.25 ). Smykové namáhání jednotlivých průřezů je míjivé. Větší hodnota vychází při urychlení. Setrvačná síla je

$$D = m \cdot a = 2,86 \cdot 10^3 \cdot 1000 \text{ g} = 2,86 \text{ kp} \quad (88)$$

Namáhaný průřez má plochu

$$S = 1.8 = 8 \text{ mm}^2$$

Smykové napětí dosahuje velikosti

$$\tilde{\sigma} = \frac{D}{S} = 0,357 \text{ kp/mm}^2 \quad (89)$$

Při brzdění je tato hodnota menší:

$$\tilde{\sigma} = 0,141 \text{ kp/mm}^2$$

Uvedené hodnoty snykového napětí jsou maximální.

Poněkud jiného typu je namáhaní ohybové. Za předpokladu působení setrvačné síly D na konci patky pera (nejnepříznivější případ) se jedná o ohyb nesymetrický střídavý.

Hodnoty zrychlení tedy jsou

$$a_{urychlení} = 9810 \text{ m/s}^2$$

$$a_{brzdění} = 3880 \text{ m/s}^2$$

a ty při hmotě pera  $m = 2,86 \cdot 10^{-3}$  kp vyvolávají setrvačné síly navzájem opačné orientace (proto znaménko minus):

$$D_u = D_{urychlení} = 2,86 \text{ kp}$$

$$D_b = D_{brzdění} = -1,13 \text{ kp}$$

Ohybové momenty vyvolané setrvačními silami jsou

$$M_{o1} = D_u \cdot 1,5 = 4,29 \text{ kpmm} \quad (90)$$

$$M_{o2} = D_b \cdot 1,5 = -1,695 \text{ kpmm} \quad (91)$$

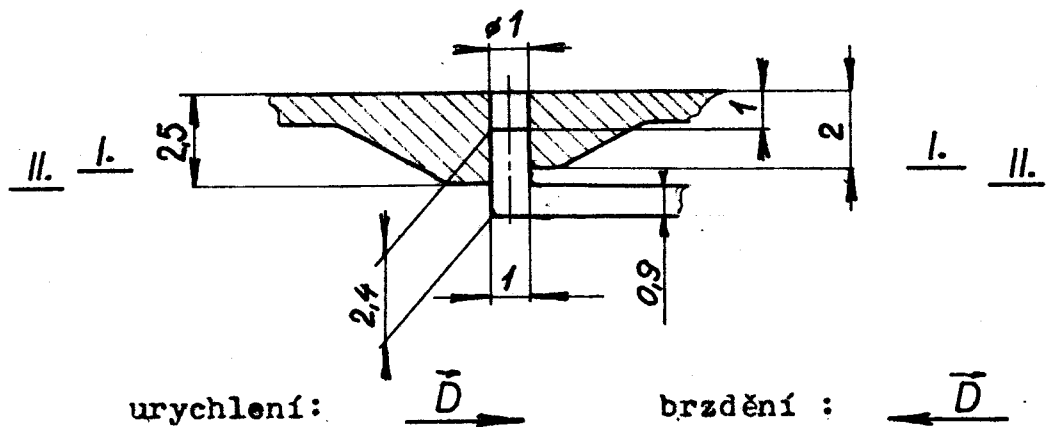
Vzniklá napětí při  $W_o = 1,33 \text{ mm}^3$  dosahují hodnot

$$\tilde{\sigma}_{o1} = 3,23 \text{ kp/mm}^2$$

$$\tilde{\sigma}_{o2} = -1,275 \text{ kp/mm}^2$$

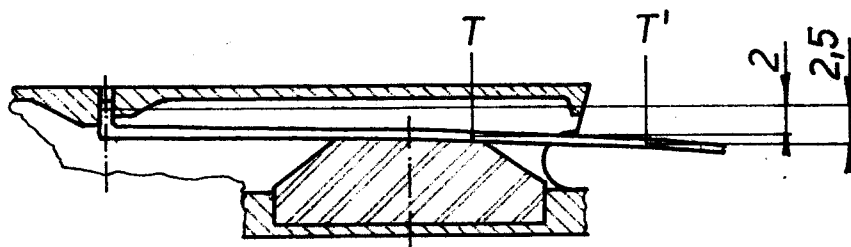
Tomu odpovídá střední napětí

$$\tilde{\sigma}_m = 0,978 \text{ kp/mm}^2$$



Obr. 25 - Zámek návrhu pera

I. - I. rovina smykového namáhání při urychlení  
II.-II. rovina smykového namáhání při brzdění



Obr. 26 - Poloha těžiště vůči axiálnímu zachycení pera

a amplituda

$$\bar{G}_a = 2,253 \text{ kp/mm}^2$$

Je patrné, že ohybové namáhání je daleko intenzivnější. Za předpokladu, že v zámku vůle nejsou, a vzhledem k použitímu materiálu by zámek pera měl zůstat neporušen. Vliv vrubu je zmenšen provedením poloměru  $R = 0,3 \text{ mm}$  (proto pero přesně nedoléhá na hranu drážky) a je odstraněn největší nedostatek předešlého návrhu pera (téměř bodový styk mezi perem a čepem). U tohoto návrhu je zajištěn (podobně jako u stávajícího pera) styk přímakový.

#### 5.2.6 Vliv urychlení a brzdění skřipce na dodržení přítisku pera na ostruhu.

Protože při urychlení a brzdění skřipce působí na pero setrvačné síly, je vhodné, aby rovina pera byla rovnoběžná s osou výstřelu skřipce (za tuto lze považovat např. spojnici os čepu u stávajícího pera nebo rovinu zámku návrhu pera). Pak momenty vzniklé od setrvačných sil nepůsobí negativně na dodržení přítisku pera na ostruhu skřipce.

U návrhu pera spoužitou pružnou podporou nebylo možné vyhnout se mírnému sklonění celého pera, neboť zámek pera je přemístěn do horní části skřipce - na víčko a výšku ostruhy skřipce nelze zvětšit.

V příloze XIII je zjištěna poloha těžiště T celého pera a poloha těžiště T' funkčního konce pera. Na obr.26 je nakreslena poloha středisek vůči rovině zámku. Obě střediska jsou pod touto rovinou; T leží o  $e = 2 \text{ mm}$  pod úrovní axiálního zajištění a  $T' o e' = 2,5 \text{ mm}$ .

Protože obě střediska leží pod rovinou zámku, setrvačná síla vzniká při urychlení skřipce přitlak pera na ostruhu zvětšuje.

$$D_u = m \cdot a = 2,86 \cdot 10^{-3} \cdot 10^3 g = 28,05 \text{ N}$$

$$D_u = 2,86 \text{ kp}$$

Ohybový moment  $M_o = 105 \text{ kpmm}$  vyvozený přitlakem  $P = 3 \text{ kp}$  je zvětšen o

$$\bar{M}_o = D_u \cdot e = 2,86 \cdot 2 = 5,72 \text{ kpmm} \quad (92)$$

$$\text{tedy } M_{ov} = M_o + \bar{M}_o = 110,72 \text{ kpmm} \quad (93)$$

Velikost přitlaku je

$$\frac{M_{ov}}{b} = \frac{110,72}{35} = 3,16 \text{ kp} \quad (94)$$

Při brzdění moment setrvačné síly přitlak zmenšuje

$$\bar{M}_o = D_b \cdot e = - 1,13 \cdot 2 = - 2,26 \text{ kpmm} \quad (95)$$

Výsledný moment je

$$M_{ov} = M_o + \bar{M}_o = 105 - 2,26 = 102,74 \quad (96)$$

Přitlak pera na ostruhu je

$$\frac{M_{ov}}{b} = \frac{102,74}{35} = 2,93 \text{ kp} \quad (97)$$

Vezmeme-li v úvahu pouze funkční konec pera o délce  $b$ , je situace obdobná. Při urychlení skřipce je přitlak zvětšen na hodnotu:

$$D_u' = m' \cdot a = 1,6 \cdot 10^{-3} \cdot 1000 g = 15,7 \text{ N} \quad (98)$$

$$D_u' = 1,6 \text{ kp}$$

$$\bar{M}_o' = D_u' \cdot e' = 1,6 \cdot 2,5 = 4 \text{ kpmm} \quad (99)$$

$$M_{ov}' = M_o + \bar{M}_o' = 105 + 4 = 109 \text{ kpmm} \quad (100)$$

$$\frac{M_{ov}}{b} = 3,12 \text{ kp}$$

(101)

Při brzdění je přítlač snížen. Výsledný ohybový moment je

$$M_{ov} = M_o + D_b \cdot e' = 105 + (-0,634) \cdot 2,5 = 103,42 \text{ kpmm} \quad (102)$$

a snížený přítlač je

$$\frac{M_{ov}}{b} = 2,95 \text{ kp}$$

(103)

I když nebylo možné konstrukčně zajistit menší skloňení pera vsazeného do skřipce a tím zmenšit vliv setrvačných sil, jsou výsledné přítlaky pera na ostruhu dostatečně velké a funkce pera nebude tedy negativně ovlivněna. Také menší tloušťka funkčního konce pera snižuje citlivost pera na vibrace.

### 5.3 Dodatek ke kapilárnímu pájení

mědi.

Zbývá uvést v jakém sledu se provádí kapilární pájení mědi jednotlivých dílů skřipce a jeho tepelné zpracování. Sled těchto operací je určen teplotami, při kterých se provádějí.

Po dokončení výroby jednotlivých dílů skřipce se provede kapilární pájení v pecích při teplotě cca  $1.100^{\circ}\text{C}$ . Následují následující úpravy spájených míst. Takto připravený skřipec, prakticky ve své konečné podobě, se může tepelně zpracovat neboť teploty, kterých dosahuje při kalení (cca  $800$  až  $850^{\circ}\text{C}$ ), nemohou pájená místa poškodit. Při popouštění (cca  $350$  až  $400^{\circ}\text{C}$ ) je situace obdobná.

## 6. TEPELNÉ ZPRACOVÁNÍ A ÚPRAVY POVRCHU PERA

Obecně pružiny ( pera ) slouží k nahromadění energie. Při uvolnění pružiny se tato vydává zpět. Další způsob použití pružin je jako tlumící elementy nebo slouží k pružnému zachycení součásti nebo celku. Proto používaný materiál musí mít vyšekou mez pružnosti a dostatečnou houževnatost. Těchto žádaných vlastností se dosáhne vhodným tepelným zpracováním. Nemalý vliv na funkci pružin mají také finální úpravy povrchu. Blížší rezbor těchto problémů je uveden v pramenu [8].

### 6.1 T e p e l n é z p r a c o v á n í s t á v a j í c í - h e p e r a .

Od materiálu pružiny se nevyžaduje velká tvrdost, ale jak bylo uvedeno, vysoká pevnost, mez pružnosti a únavy spojené s dostatečnou houževnatostí. Těmto vlastnostem odpovídají jen určité struktury materiálu, které musí být rovnoměrné po celé pružině. Aby se jich dosáhlo, ocel pružiny se nejdříve prekalí ( stávající pera cca 800 - 830° C ) a pak se popustí na vyšekou teplotu dle žádaného poměru houževnatosti a pevnosti ( čím vyšší teplota popouštění, tím je větší houževnatost a zároveň nižší pevnost a mez pružnosti ).

Pro dosažení potřebné houževnatosti volíme oceli s nižším obsahem uhlíku; pro vysoké namáhání se užívá oceli s Mn, Si nebo Cr kalených do oleje. Tomu odpovídá použity materiál stávajícího pera :

$$14260 \quad C = 0,55\%; \quad Mn = 0,65\%$$

$$Si = 1,45\%; \quad Cr = 0,6\%$$

VŠST Liberec	Uchycení útku ve skřipci tkacího stavu typu OK	KTS
Fakulta strojní		1974 Str. 71

Je možné sloučit kalení a popouštění v jednu operaci - dostaneme kalení izotermické ( překrystallisace se děje při konstantní teplotě nad  $M_s$  ).

Při kalení pružin je velmi důležité, aby se ocel při povrchu neoduhličila. Povrchové vrstvy jsou nejvíce namáhaný a odlehličení snižuje někdy dosť značně životnost pera.

6.2 Nitridace - možný způsob zvýšení meze únavy pera.

Nitridace je jeden z pochodů, sloužící nejen k dosažení skelně tvrdého povrchu pera, ale i ke zvýšení houževnatosti proti únavovému lomu. Typické nitridační oceli obsahují hliník, chrom, vanad nebo molybden. Tyto prvky za přítomnosti  $N_2$  a při teplotě cca  $500^\circ C$  tvoří na povrchu nitridy v oceli rozpustné a tím ji činí neobyčejně tvrdou.

Jiné oceli bez obsahu Al, i bez nitridování velmi jeketní konstrukční oceli, lze také nitridovat. Nedosáhne se však sklovitě tvrdé vrstvy na povrchu a proto se této operaci používá pro dosažení vysoké pevnosti a houževnatosti. Nitridování všech ocelí patří mezi nejvýznamější prostředky napomáhající ke zvýšení meze únavy [9].

Únavový lom vzniká nikoliv na povrchu, ale pod povrchem, kde přechází nitridovaná vrstva v jádro. Je proto zřejmé, že zvýšení meze únavy nitridací bude u součástí s tlustým průřezem nepatrné. Nitridováním se také paralyzuje vlivy povrchových vad, hrubého opracevání a pod.

Příčiny zvýšené odolnosti nitridované oceli proti únavě mohou být dvě:

VŠST Liberec	Uchycení útku ve skřipci tkacího stavu typu OK	K TS
Fakulta strojní		1974   Str. 72

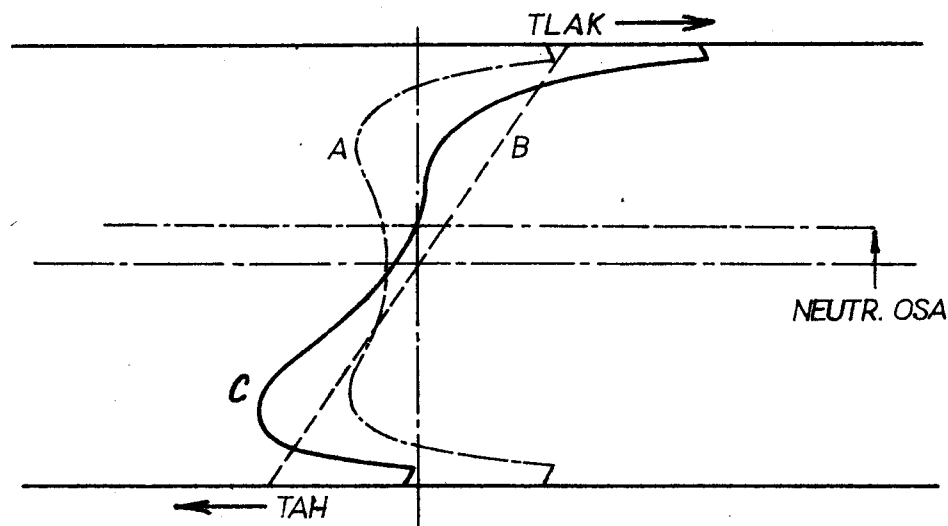
1. vlastní vysoká mez únavy nitridované vrstvy je značně větší než mez únavy jádra,
2. pnutí, vzniklé při tvorbě vrstvy, které působí proti napětí vznikajícímu při provozním namáhání.

Vlastní vysoká mez únavy vrstvy je ověřena zkouškami zcela prenitridovaných pásků. Druhý důvod je dobře patrný z obr.: 27 . Výsledné napětí průběhu C se skládá z napětí od nitridování ( křivka A ) a napětí způsobeného provozním zatížením ( B ). Největší napětí je právě pod vrstvou [9].

Je tedy možné, že hlubší prezkomání a ověření těchto obecných úvah konkrétními pokusy s perem skřipce by se příznivě projevilo zvýšením jeho meze únavy. Vždyť po kalení ( 800 - 850 °C ) následuje popouštění na přibližně stejné teplotě ( cca 400 °C ) jako by se provádělo nitridování ( 400 až 500 °C ).

### 6.3 Úpravy povrchu.

Vliv jakosti povrchu na mez únavy při dynamickém namáhání je komplexní, neboť se uplatňuje nejen mikroskopická nerovnoměrnost tvaru povrchu, ale i stavba, složení a tloušťka povrchové vrstvy materiálu. Prakticky ve většině případů je v povrchové vrstvě největší namáhání vyvolané provozním zatížením, k němuž se přidává technologické pnutí určené výrobním postupem. Změna charakteristik materiálu v povrchové vrstvě, podobně jako charakteristik metalurgických a vyšší stav technologických pnutí, vede ke snížení mezního

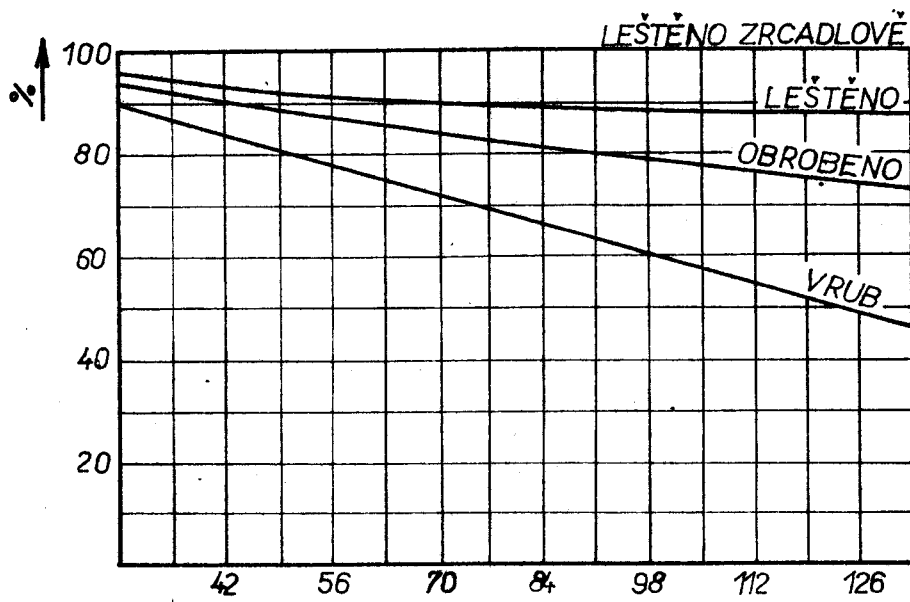


Obr. 27 - Napětí v nitridované tyčince při ohybu

A - předpětí následkem nitridování

B - napětí při ohybu

C - výsledné napětí

Obr. 28 - Pokles meze únavy v %  $G_y [kp/mm^2]$  pod vlivem stavu povrchu v poměru k pevnosti oceli

VŠST Liberec	Uchycení útku ve skřípce tkacího stavu typu OK	KTS
Fakulta strojní		1974   Str.74

napětí při dynamickém namáhání. Zatímco vlastnosti a hlebka povrchové vrstvy určují změny v oblastním rozdělení napětí u povrchu, geometrická kvalita ( vruby, mikrovruby ) snižuje mez únavy části ve srovnání s částí s broušeným povrchem.

Proto všechna opatření zušlechťující jakost povrchu ( jemné broušení, lapování, leštění ) napomáhají ke zvýšení meze únavy ( obr. 28 ). Podobný vliv mají procesy, jimiž se zvyšuje povrchová pevnost ( válečkování, kuličkování ).

7. PRÍPRAVEK NA MĚŘENÍ PŘITLAKU PERA NA OSTRUHU SKŘIPCE.( výkres DP-74-KTS-S-03-700 )

Jak již bylo v úvodu řečeno, správný a bezperuchový chod stroje je mimo jiné závislý na zajištění dokonalého uchycení útku ve skřipci po celou dobu trvání prohozu. Jedním z předpokladů vedoucích ke splnění této podmínky je, aby pero vyvinulo na ostruhu skřipce sílu o žádané velikosti.

Některé pero však buď vlivem chybného kroku ve výrobě nebo vlivem delšího provozu potřebné vlastnosti nemá, popřípadě je již ztratilo. Pomocí uvedeného, poměrně jednoduchého přípravku se lze o velikosti síly přesvědčit.

7.1 P e p i s č i n n o s t i

Měrka má sloužit k rychlému a orientačnímu změření přitlaku pružiny na ostruhu skřipce. Práce s ní má být proto jednoduchá.

Měrku opřeme dříkem o pero v místě, kde je pero stlačováno jehlou při zavádění útku. Prostřednictvím měrky se pak snažíme pero stlačit tak, aby mezi perem a ostruhou vznikla nepatrná štěrbinka. Dřík se zasouvá tak dlouho, dokud není v rovnováze síla pera se silou pružiny. Velikost síly odečteme na stupnici buď přímo nebo ji fixuje kroužek suvně uložený na dříku, který zůstává na místě vlivem tření ( velikost tření nesmí ovlivňovat velikost měřené síly ).

7.2 Výpočet pružiny měrky.

Materiál byl volen 13 180 . 8, který má  $G_s = 160 \text{ kp/mm}$ ,  $\tilde{\tau} = 67,5 \text{ až } 77 \text{ kp/mm}$ .

Střední průměr pružiny byl volen

$$D = 30 \text{ mm}$$

Průměr drátu pružiny je  $d = 1,8 \text{ mm}$

Pak součinitel

$$\varphi = \frac{D - 0,25 d}{D - d} + \frac{0,615 d}{D}$$

$$\varphi = 1,078$$

Síla daná těmito parametry vychází

$$F = \frac{\pi d^3 \varphi}{8 \varphi D} = \frac{\pi \cdot 5,85 \cdot 67,5}{8 \cdot 1,078 \cdot 30}$$

$$F = 4,8 \text{ kp}$$

Této vypočítané síle a volenému stlačení

$$y = 60 \text{ mm}$$

vychází počet závitů

$$n = \frac{y d^4 G}{8 D^3 F} = \frac{60 \cdot 10,5 \cdot 8300}{8 \cdot 27000 \cdot 4,8} = 5,08$$

Zakrouhlujeme tedy na celý počet

$$n = 6$$

Tomu odpovídá

$$y = \frac{8 n D^3 F}{d^4 G} = 71,5$$

V následující tabulce je uvedeno stlačení v závislosti na velikost síly ( vhodné pro výrobu přípravku na označení rysek ve stupnici ).

Tab. V - Hodnoty stlačení v závislosti na velikosti síly

F [kp]	0,5	1,0	1,5	2,0	2,5	3,0	3,5	4,0	4,5
y [mm]	7,44	14,9	22,3	29,7	37,1	44,6	52,0	59,5	67,0

VŠST Liberec	Uchycení útku ve skřipci tlacího stavu typu OK	KTS
Fakulta strojní		1974

Celkový počet závitů je 6 funkčních a 2 závěrné, tedy 8 závitů.

Při plném zatížení je tedy  $l_1 = 1,8 \text{ mm}$  ( $= 14,4 \text{ mm}$ ) a vůle mezi jednotlivými závity je  $1 \text{ mm}$  ( celkem  $7 \text{ mm}$  ).

Délka plně zatížené pružiny je tedy cca 22 mm.

VŠST Liberec	Uchycení útku ve skřipci tkacího stavu typu OK	KTS
Fakulta strojní		1974 Str.78

### 8.ZÁVĚR

Rozbor vlastností stávajícího pera v úvodní části této práce ( resp. v kapitole 2.) určil jeho klady i nedostaty a stanovil určité kriterium pro posouzení nejen vlastnosti každého návrhu či úpravy samotného pera, ale i vlivu konstrukčních i technologických změn skřipce a způsobu uložení pera. Každý zásah do stávajícího provedení skřipce a pera měl původ ve snaze dát peru vlastnosti lepší než jsou vlastnosti stávajícího pera, popřípadě dosáhnout stejných vlastností za současného snížení ekonomických nákladů na výrobu pera. Avšak tato snaha nebyla vždy korunována úspěchem. Dokladem toho je návrh uvedený v kapitole 4. Jeho varianty teoreticky schopné provozu by znamenaly úsporu materiálu a jednodušší výrobu v oblasti zámku. Právě řešení zámku pera v sobě skrývalo největší nedostatek návrhu: vytvořený vrub a rázy vzniklé při urychlení a brzdění skřipce vlivem výrobních vůlí v zámku způsobily předčasné praskání průřezů (obr.18).

Výše zmíněné rázy, namáhající zámek pera při urychlení a brzdění skřipce, velmi zhoršují celkovou situaci. Příčina jejich vzniku tkví ve vůlích, jímž se prakticky při výrobě není možné vyhnout.

Při výrobě pera je mimo jiné nutné dbát na rovnoběžnost některých ploch, např. rovina drážky pera musí být bezpodmínečně rovnoběžná s funkčním koncem pera. Dokonalá rovnoběžnost musí být docílena také na obou podporách a spodní ploše ostruh. Při nedodržení vzájemné rovnoběžnosti těchto

ploch pero tvoří tak zvanou vrtuli (styk pera s ostruhou skřipce není v ploše) a funkce pera je tím negativně ovlivněna - pero drží útek velmi špatně.

Funkce pera a jeho vlastnosti jsou také silně ovlivněny volbou jeho rozměrů. Kapitola 3. ukázala, že v dosti široké paletě možností volby rozměru pera, omezené pouze rozměry skřipce, existuje určité optimum pro každý rozměr reálně v praxi použitelný (na př. pro délku pera je optimální 55 až 65 mm, vzdálenost podpor 10 až 20 mm a pod.). Každá nedodržení těchto optimálních hranic znamená změnu jedné nebo více vlastností pera k horšemu.

Další návrh pera (kap.5.2) byl proveden s ohledem na tato optimu. Styk pera s drážkou víčka je přímkový (tím je odstraněn největší nedostatek předešlého návrhu). Má tedy všechny předpoklady ke spolehlivému plnění jeho funkce (mírné sklonění pera ve skřipci nemá, jak bylo v kapitole 5.2.6 ověřeno, vliv na dodržení přítlaku) a navíc se jeví jako výrobně jednodušší než stávající pero. Jeho dobré vlastnosti jsou zvýrazněny pružná podpora, jejíž použití je přinosem i u stávajícího pera se skřipcem poněkud upraveným. Přednosti pružné podpory byly uvedeny v kapitole 5.

Velký význam má bezesporu také způsob tepelného zpracování a kvalita úpravy povrchu. Při současném způsobu tepelného zpracování se musí dbát na to, aby ohřev na kálcí teplotu netrval příliš dlouho a nedošlo tím k odhličení povrchová vrstvy pera (znamená počatné snížení

ploch pero tvorí tak zvanou vrtuli (styk pera s ostruhou skřipce není v ploše) a funkce pera je tím negativně ovlivněna - pero drží útek velmi špatně.

Funkce pera a jeho vlastnosti jsou také silně ovlivněny volbou jeho rozměrů. Kapitola 3. ukázala, že v dosti široké paletě možností volby rozměrů pera, omezené pouze rozměry skřipce, existuje určité optimum pro každý rozměr reálně v praxi použitelný (na př. pro délku pera je optimální 55 až 65 mm, vzdálenost podpor 10 až 20 mm a pod.) Každé nedodržení těchto optimálních hranic znamená změnu jedné nebo více vlastností pera k horšímu.

Další návrh pera (kap.5.2) byl proveden s ohledem na tato optima. Styk pera s drážkou víčka je přímkový (tím je odstraněn největší nedostatek předešlého návrhu). Má tedy všechny předpoklady ke spolehlivému plnění jeho funkce (mírné sklonění pera ve skřipci nemá, jak bylo v kapitole 5.2.6 ověřeno, vliv na dodržení přitlaku) a navíc se jeví jako výrobně jednodušší než stávající pero. Jeho dobré vlastnosti jistě zvýrazní pružná podpora, jejíž použití je přínosem i u stávajícího pera se skřipcem poněkud upraveným. Přednosti pružné podpory byly uvedeny v kapitole 5.

Velký význam má bezesporu také způsob tepelného zpracování a kvalita úpravy povrchu. Při současném způsobu tepelného zpracování se musí dbát na to, aby ohřev na kalící teplotu netrval příliš dlouho a nedošlo tím k odmlíčení povrchové vrstvy pera (znamená podstatné snížení

VŠST Liberec	Uchycení útku ve skřipci tkacího stavu typu OK	KTS	
Fakulta strojní		1974	Str.80

životnosti ). Nejvhodnější by bylo provádět ohřev v ochranné atmosféře. Také veškeré vruby a mikrovruby vzniklé konstrukčním provedením nebo během výroby mají negativní vliv na životnost pera. Jako další možné zlepšení vlastností pera přichází v úvahu kombinace současného tepelného zpracování a nitridace, t.j. prostředku k dosažení houževnatosti a pevnosti povrchové vrstvy. Tím se dosáhne zvýšení životnosti pera. Při sériové výrobě je nutné zajistit, aby jednotlivá pera měla stejné vlastnosti.

Poslední poznatek o vlastnostech pera vznikl v praxi při provozu. Bylo zjištěno, že se pero během první hodiny provozu unaví a klesne velikost přítlaku na ostruhu. Po dložením pera v podpoře B plechem o síle 0,2 - 0,3 mm pero vyváže žádaný přítlač a je schopno být v provozu několik směn (minimálně cca  $10^6$  provozních cyklů). Objevuje se zde otázka, zda by se nedala brát v úvahu počáteční unava pera a při výrobě pero ztvarovat tak, aby po zaběhnutí (na jednoduchém přípravku) mělo žádaný přítlač.

Problémů v této oblasti je stále dost a proto uspořádání skřipce a pera se nedá považovat za konečné. Uzavřít tento celek by konečně přesahovalo rámec možností této práce.

Nakonec bych chtěl poděkovat svému konsultantovi s.ing. Zdeňku Rambouskovi za jeho nevšední ochotu a usměřování při zpracování celkové koncepce diplomové práce, dále bych chtěl také poděkovat s. F. Špeldovi z n.p. Kovo-

VŠST Liberec	Uchycení útku ve skřipci tkacího stavu typu OK	KTS
Fakulta strojní		1974 Str.81

tex Červený Kostelec a v neposlední řadě svému otci Bohumilovi Broklovi za přepsání mého rukopisu.

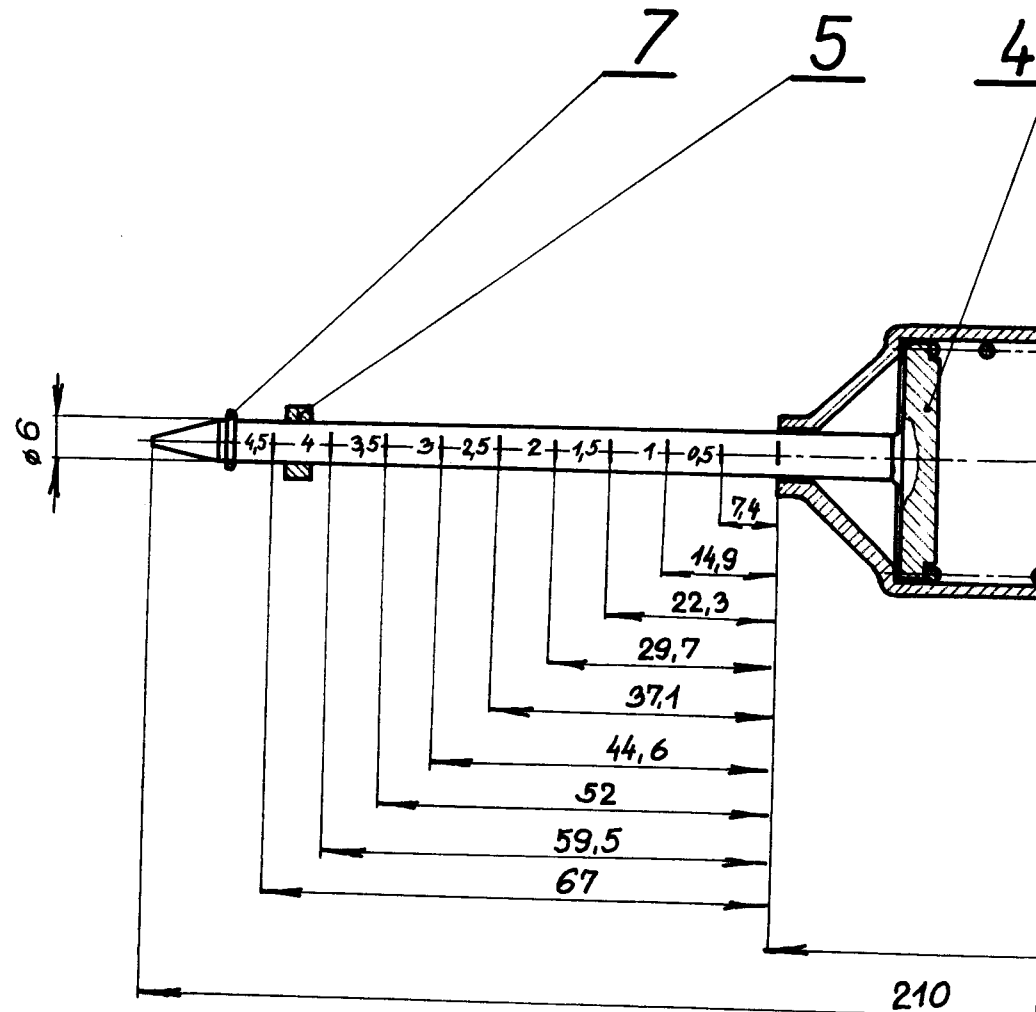
V Liberci 31.května 1974

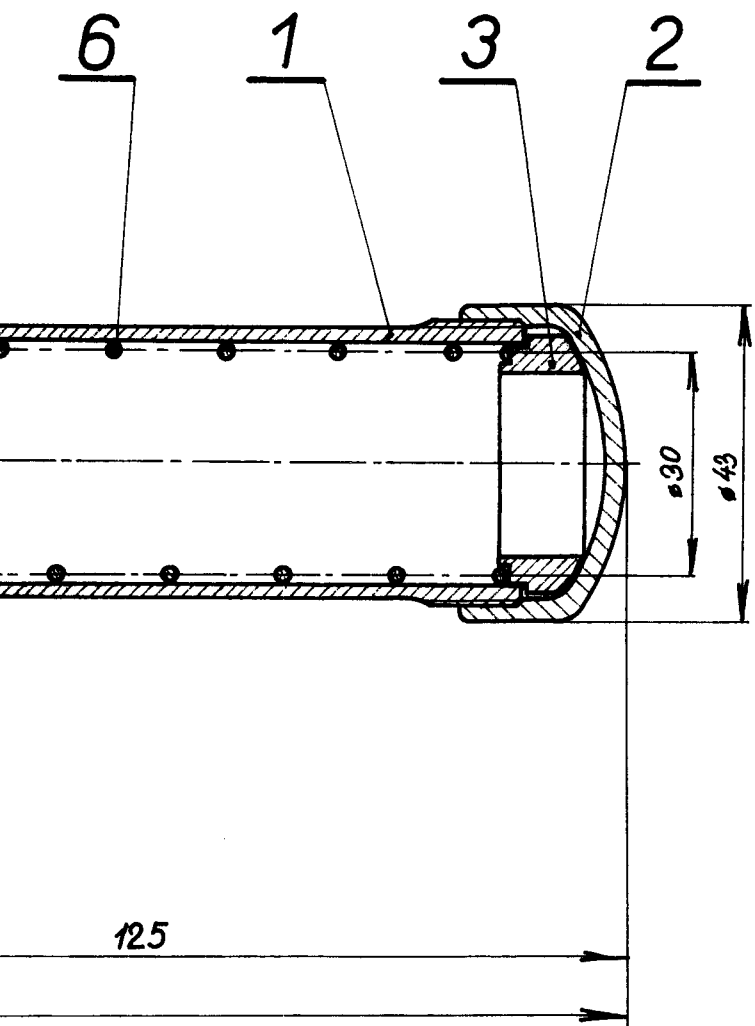
*Oskar Radl*

VŠST Liberec	Uchycení útku ve skřipci tkacího stavu typu OK	KTS
Fakulta strojní		1974 Str.82

### LITERATURA

- [1] Černoch, S. : Strojně technická příručka I,II,  
Praha, SNTL 1968
- [2] Holub, J. : Pryž jako konstrukční materiál,  
Praha, SNTL 1967
- [3] Jandourek,F.: Diplomová práce: Tkací stav pro větší  
šíře a otáčky, VŠST,Liberec 1971
- [4] Nekvinda,M. : Úvod do numerické matematiky,  
skripta VŠST,Liberec 1971
- [5] Němec,J. : Tuhost a pevnost ocelových částí,  
Praha, NČSAV 1963
- [6] Šrejtr,J. : Technická mechanika III - dynamika,  
Praha, SNTL 1958
- [7] Kolektiv  
autorů : Pružnost a pevnost, skripta ČVUT,Praha  
SNTL 1965
- [8] Jareš, V. : Ocel, Praha SNTL 1962
- [9] Korecký,J. : Nitridování - povrchové tvrzení oceli  
dusíkem, knižnice hutnického průmyslu,  
svazek 5, Praha 1951
- [10] Dokumentace VÚTS Liberec a Kovotex n.p., Červený Kostelec
- [11] Tkalcovská ročenka,Výzkumný ústav látkových vláken v  
v Šumperku



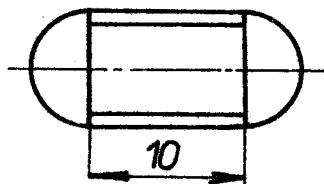
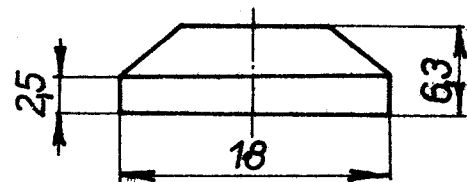
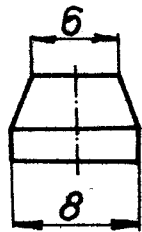


1	POJDR.KOUŽEK	ČSN 022925							7
1	PRUŽINA ø 30		13 180,8						6
1	KROUŽEK ø 6		10 370						5
1	PÍST S DŘÍKEM ø 32		11 500						4
1	OPĚRKA		10 370						3
1	VÍČKO		10 370						2
1	PLÁŠŤ ø 32, M39x3		11 500						1

30.4.74 BrokL

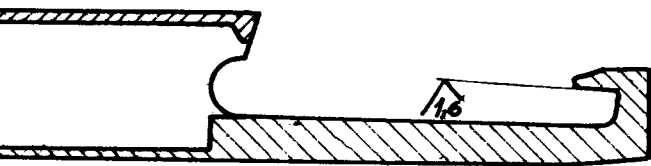
1:1

MĚRKA PŘÍTL. DP-74-KTS-S-03-700



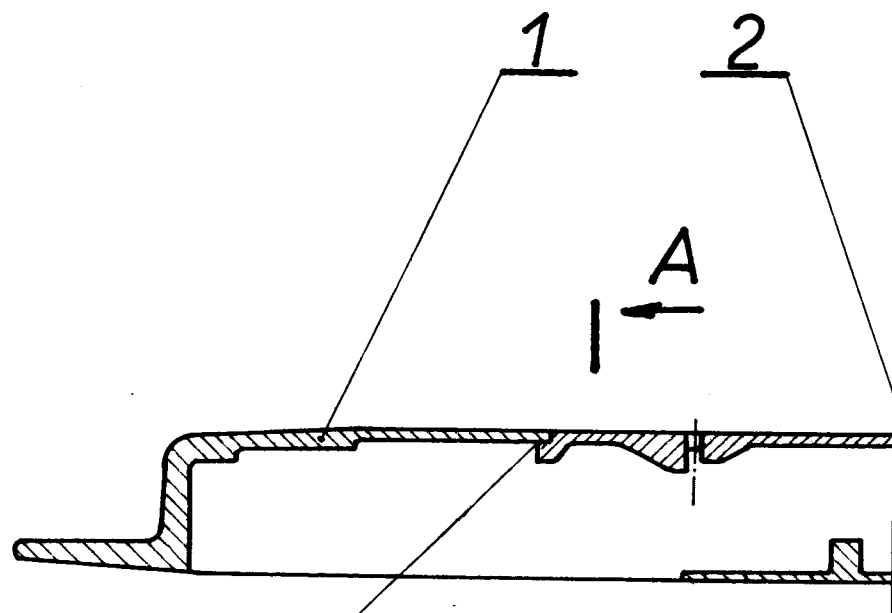
<b>65x10x20</b>		<b>VULKOLAN</b>							
Počet kusů	Název - Rozměr	Polotovar	Mat. konečný	Mat. výchozí	Místo odp.	Č. váha	Hr.váha	Číslo výkresu	Pos.
Poznámka		Celková čistá váha v kg							
Měřítko	Kreslil		Čís. sním.						
<b>2:1</b>	Překousel								x
Norm.	Norm.								x
Výr. projedn.	Schválil		Č. transp.						x
	Dne								x
V Š S T Liberec		Typ Název	Skupina	Starý výkres		Nový výkres			
		<b>PRUŽNÁ PODPORA</b>		<b>DP-74-KTS-D-04-525</b>					
				Počet listů					

32/ (✓, ✓, ✓)



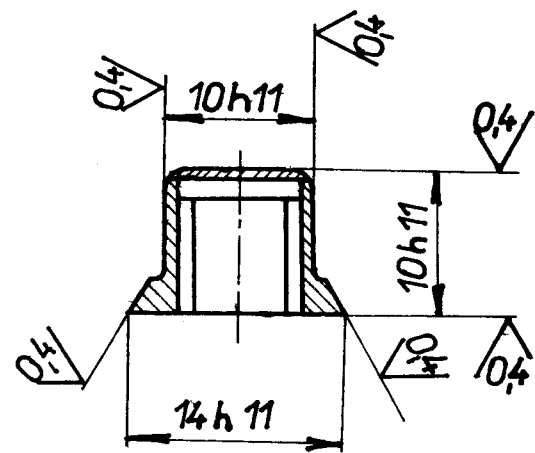
6. LEŠTĚNO
5. BROUŠENO
4. POPUŠTĚNO  $250 \div 300^\circ\text{C}$
3. KALENO  $800 \div 850^\circ\text{C}$  V PROUDU VZDUCHU
2. ZAČISTĚNÍ PÁJENÝCH MÍST
1. PÁJENO KAPILÁRNĚ MĚDÍ PŘI  $1100^\circ\text{C}$

1	VÍČKO		16 640,4	16 640,3			DP-...-522	2
1	SKŘIPEC		16 640,4	16 640,3			DP-...-521	1
Počet kusů	Název - Rozměr	Povlakovac	Mat. koncový	Mat. vnitřní	Rozměr	poz.	Družstvo výkresu	Poz.
Poznámka								
Měřítko	Kreslil	30.4.74	Brokl	Cis. zkrat.				
2:1	Překousel							
	Normy							
	Výpl. pro ležání							
VŠST	Typ	Skuz/77					Novy	
Liberec	Název							
SKŘIPEC				DP-74-KTS-D-03-524				
				Fotoč. listů	List			



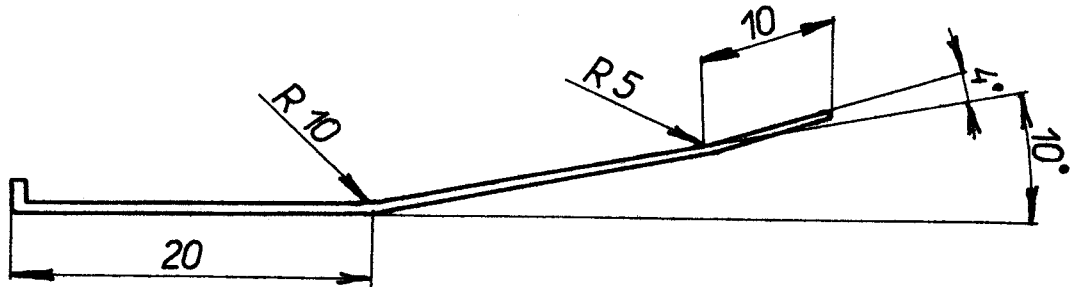
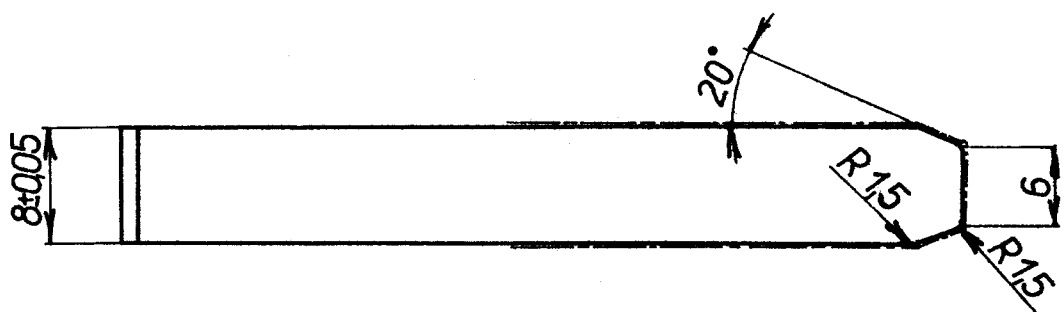
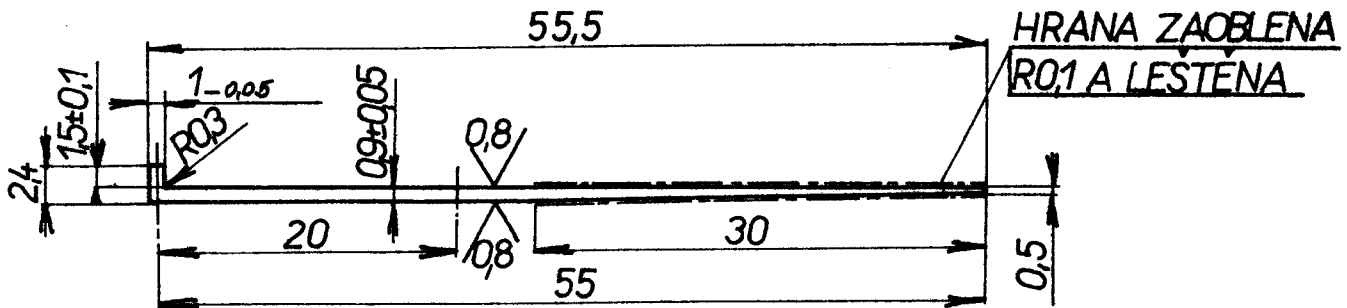
SPÁJENO PO CELEM  
OBVODU VÍCKA

### ŘEZ A-A



3,2 / 08 /

### ROZVINUTÝ TVAR



3. POPUŠTĚNO 350÷400 °C

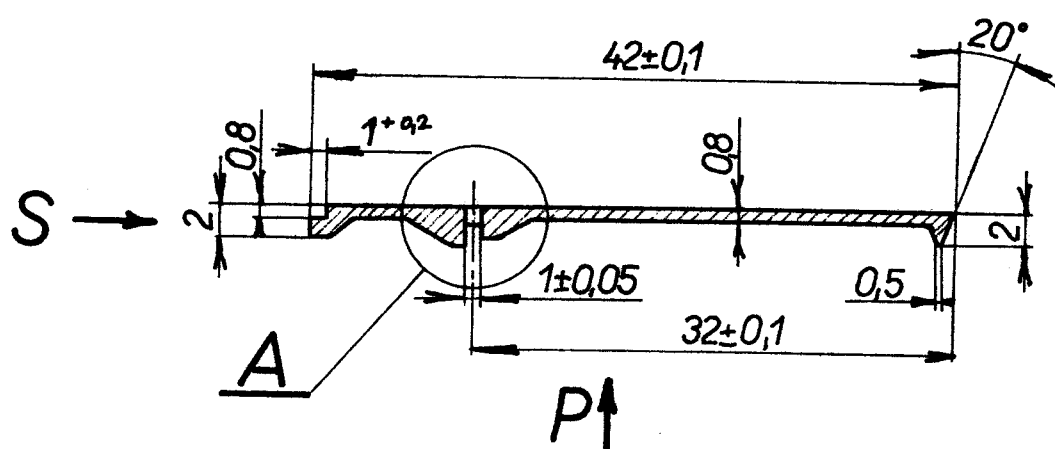
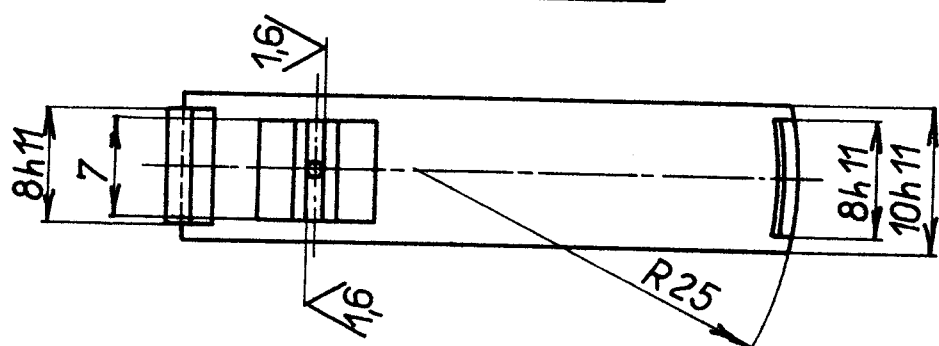
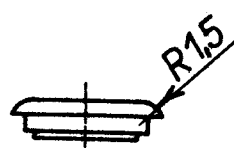
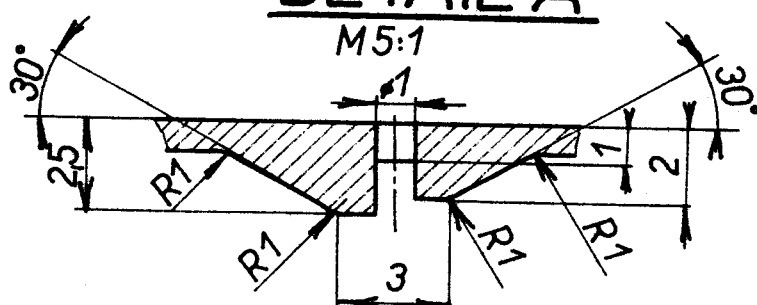
2. KALENO 800÷830 °C

1. SMĚR VLÁKEN MATERIÁLU ROVNOSÉŽNÝ S OSOU PERA

1	Pl. 15x10x60	CSN425310.11	14 260.4	14 260.3						
Počet kusů	Název - Rozměr	Potiskový	Mater. konečný	Mater. výchozí	Meřidlo odj.	Č. ráže	Hr. ráže	Číslo výkresu	Pos.	
<i>Poznámka</i>										Celková čistá váha v kg
Měřítko	Kreslil	30.4.79	Brožl	Čís. sním.						x
2:1	Prézkoušel				O					x
	Norm. ref.				C					x
	Výr. projedn.	Schvdálil		Č. transp.	E					x
		Dne			N					x
		Type	Skupina	Starý výkres			Nový výkres			
VŠST Liberec		Název	PERO	DP-74-KTS-D-04-523						
				Počet listů			Ust			

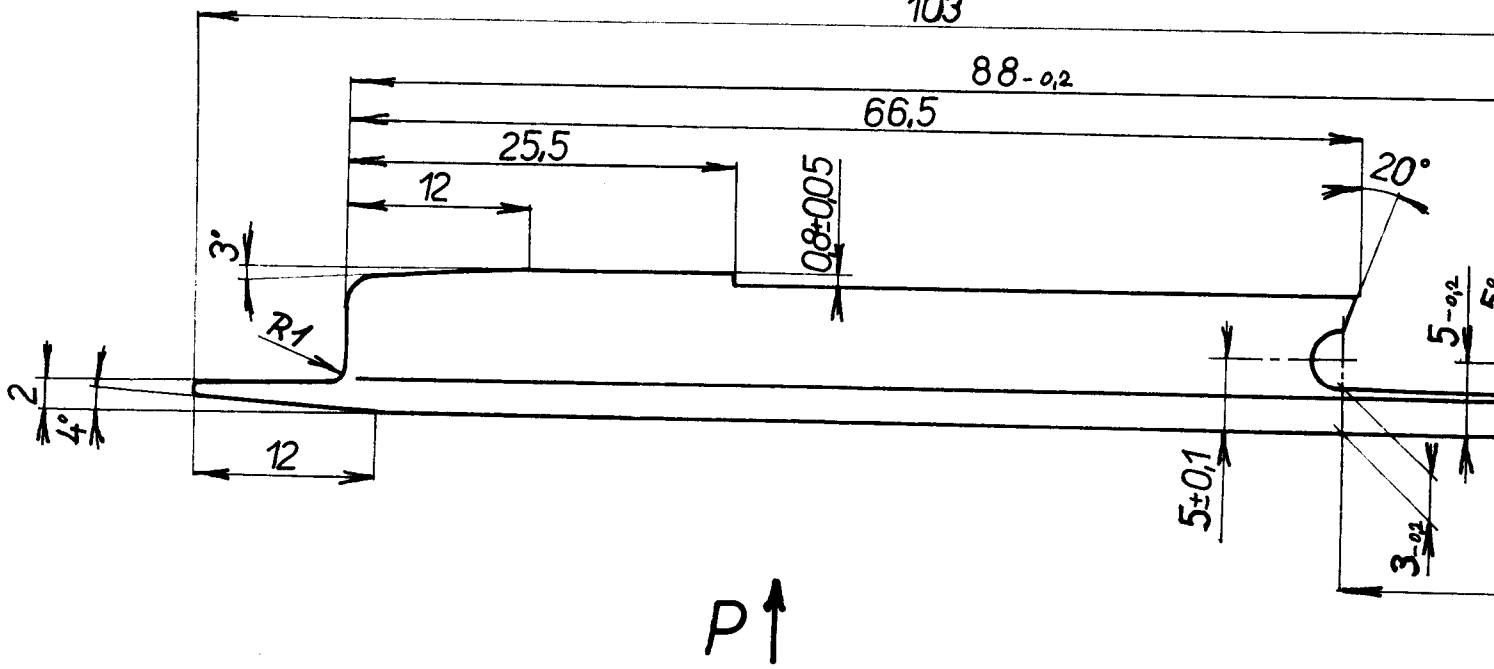
32

(✓)

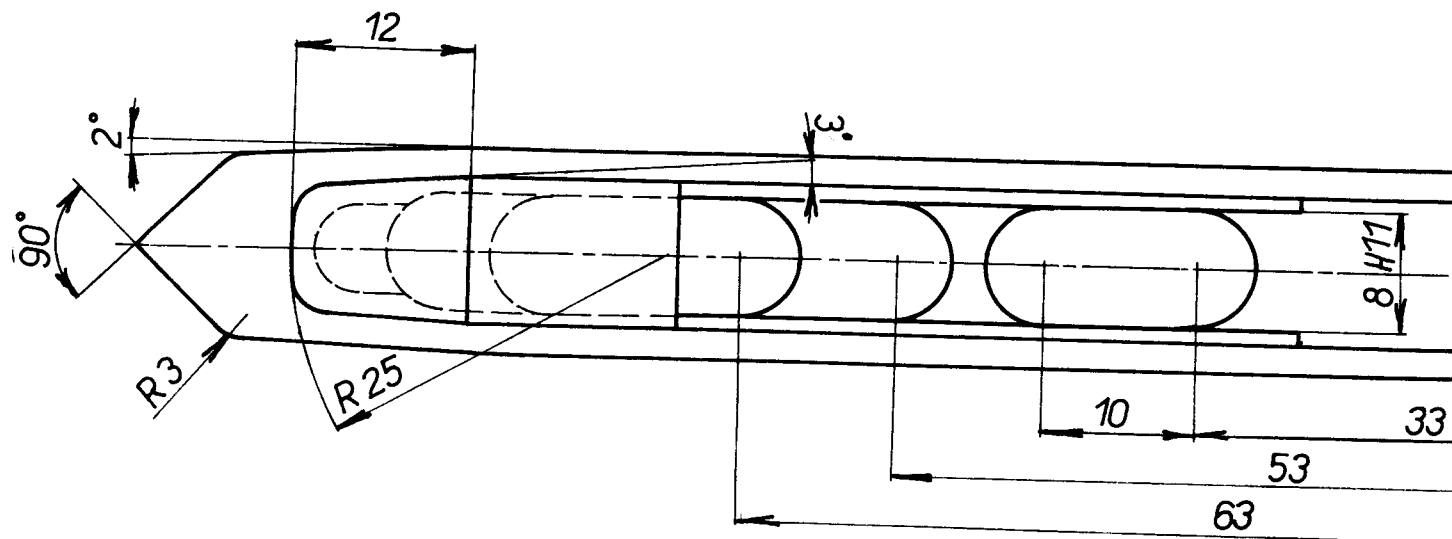
POHLED PDETAIL APOHLED S

1	$\square 3 \times 12 \times 45$	ČSN 425523.11	16 640							
Počet kusů	Název - Rozměr	Položovací	Mat. konečný	Mat. výchozí	Mřídlo odp.	Č. váha	Hr.váha	Číslo výkresu		Pos.
Poznámka										Celková čistá váha v kg
Měřítko	Kreslil	30.4.74	Brokl	Čís. sním.	O					x
2:1	Přezkoušel				C					x
5:1	Norm. ref.				E					x
	Výr. projedn.	Schválil		Č. transp.	N				Datum	p.o/pis
		Dne							Index	změny
VŠST		Typ	Skupina	Starý výkres			Nový výkres			
Liberec		Název								
VÍČKO				DP-74-KTS-D-04-522						
				Počet listů			list			

103

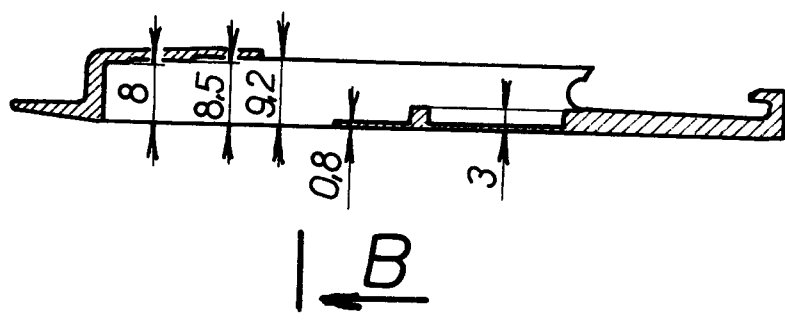


A||



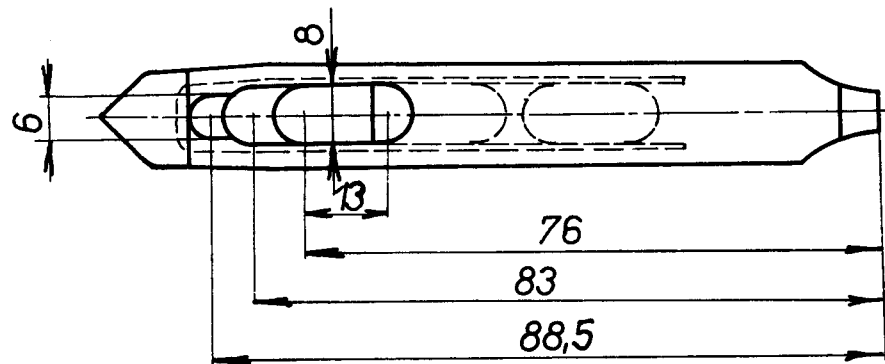
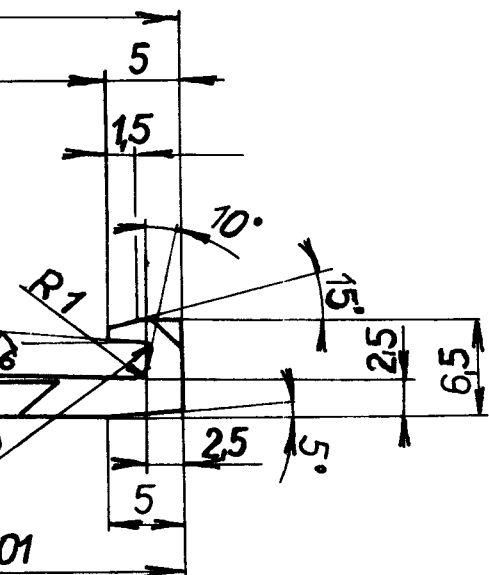
REZA-A  
M 1:1

— B

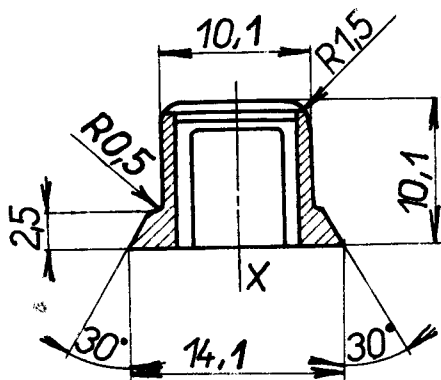
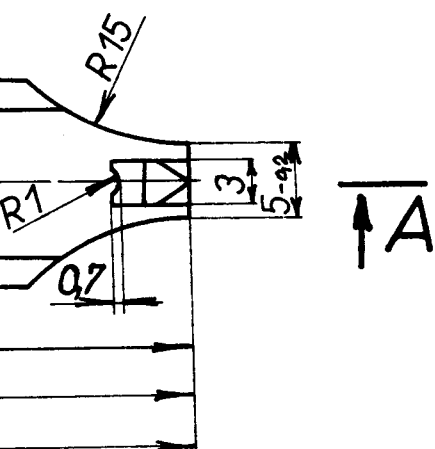


32/ ( 1,6/ )

POHLED - P  
M 1:1



ŘEZ B-B  
M 2:1



DODRŽET SOUMĚRNOST PODĚL OSY X

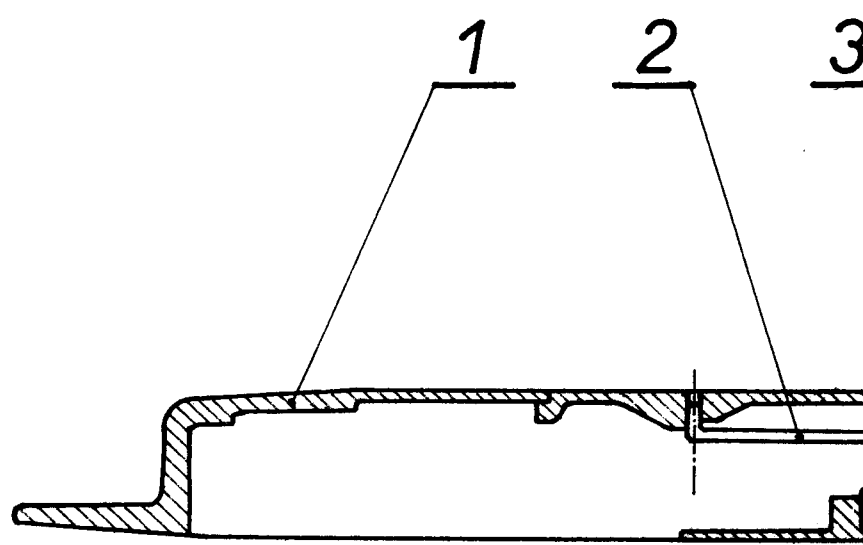
1 □ 16x12x105 ČSN425523.11 16 640

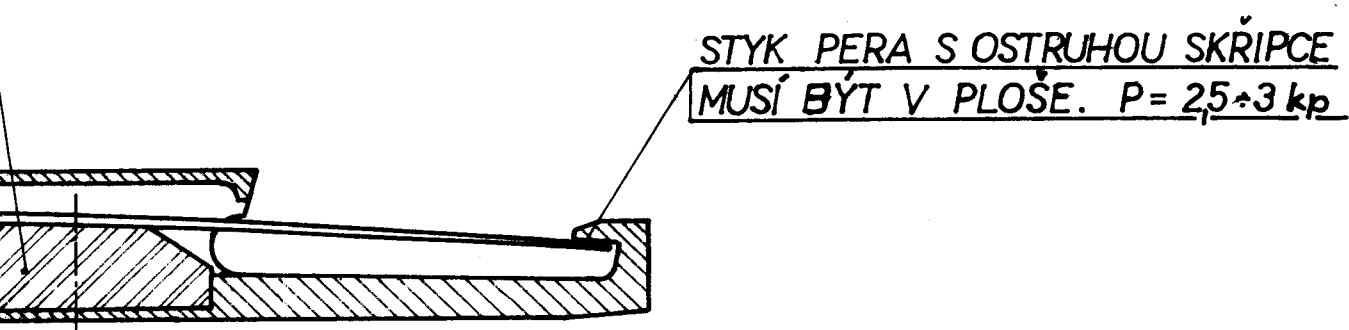
30.4.72 BrokL

2:1  
1:1

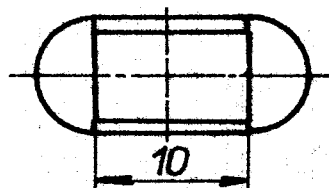
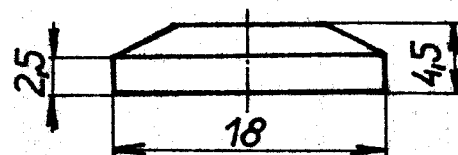
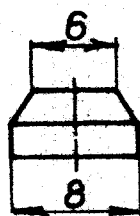
SKŘIPEC

DP-74-KTS-D-03-521



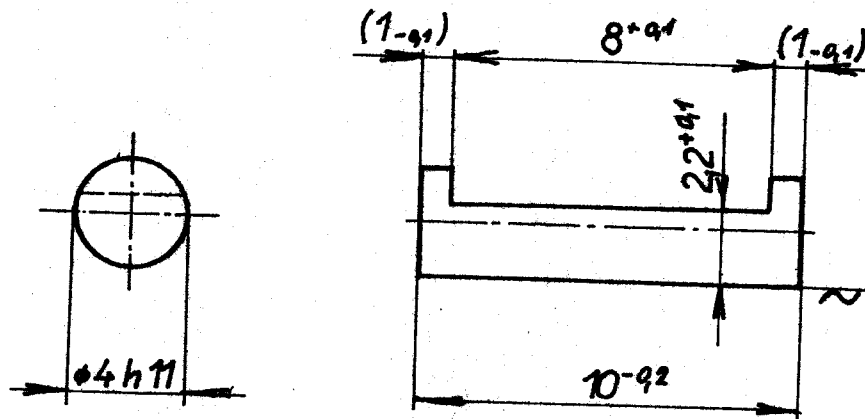


1	PODPORA	VULKOLAN	DP- . . . - 525	3
1	PERO	14 260.4	DP- . . . - 523	2
1	SKŘIPEC S VÍČKEM	16 640.4	DP- . . . - 524	1
Materiál: Kormák				
Datum: 20.4.74				
Brokl				
2:1				
VECT	Notér	SKŘIPEC	DP-74-KTS-S-03-520	list
Liberec				



1	$\square 5 \times 10 \times 20$	VULKOLAN nebo ČSN 622 217.07								
Počet kusů	Název - Rozměr	Položovací	Mat. konečný	Mat. výchozí	Množstvo odp.	Č. váha	Hr.váha	Číslo výkresu	Pos.	
Poznámka										
Měřítko 2:1	Kreslil 30.4.74	Brakl	Čís. sním.	Celková čistá váha v kg						Index změny
	Překoušel			O	C	E	Z	Datum	Pořadí	
Norm. ref.									X	
Výr. projedn.	Schváll		Č. transp.						X	
	Dne								X	
VŠST Liberec		Typ Název	Skupina	Starý výkres	Nový výkres					
		PRUŽNÁ PODPORA		DP-74-KTS-D-04-516						
				.Počet listů						

✓ (~)

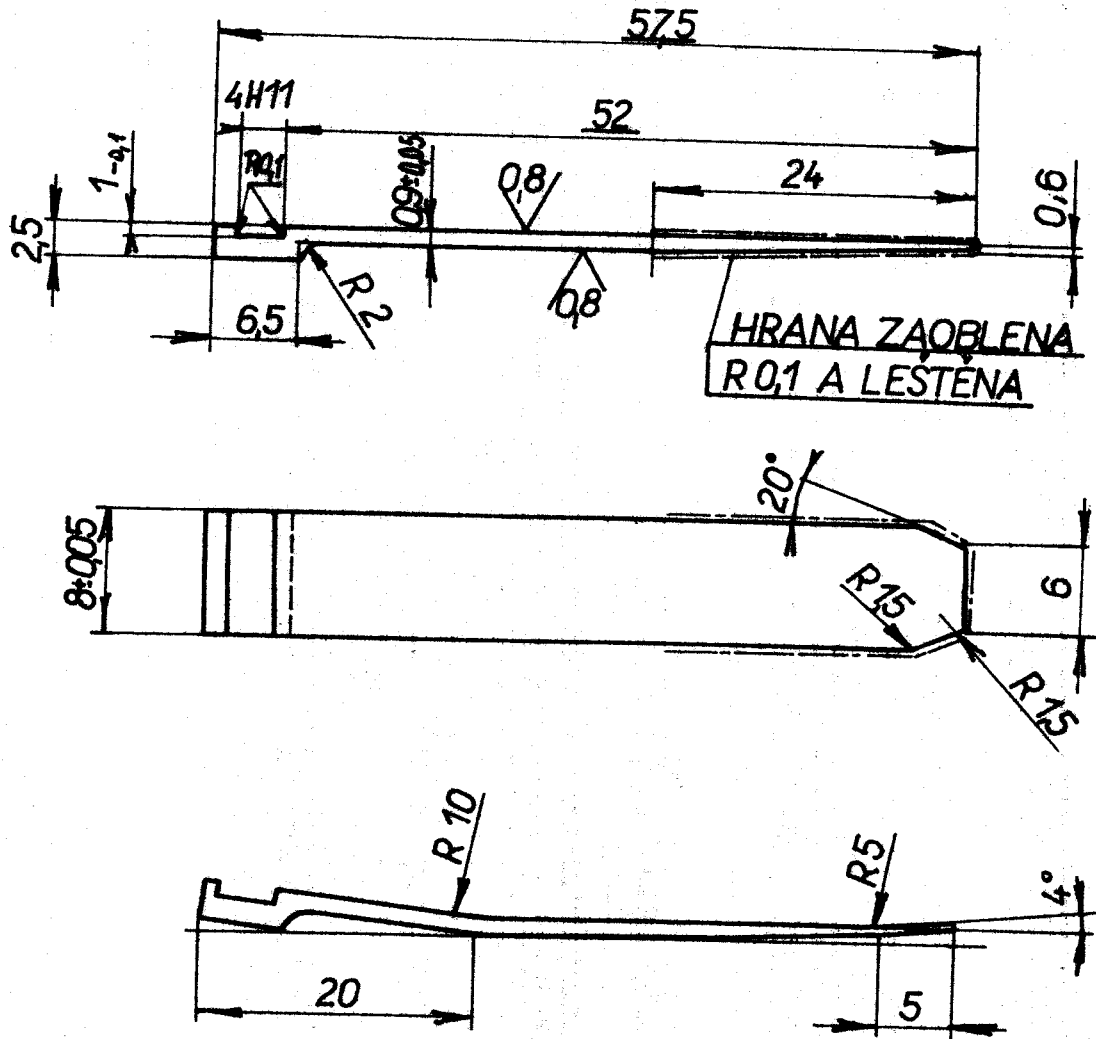


### 1. NEOZNAČENÉ HRANY SRAŽENY $0,1 \times 45^\circ$

Počet kusů	$4 h 11 \times 12$		19 421.3								
Poznámka	Název - Rozměr		Položovat	Mat. konečný	Mat. výchozí	<i>(Tlak odp.)</i>	Č. váha	Hr.váha	Číslo výkresu	Pos.	
Měřítko	Kreslil	30.4.74	Brokáč		Čís. sním.		Celková čistá váha v kg				
5:1	Prezkoušel										
	Norm. ref.										
	Výr. projedn.		Schválil		Č. transp.						
		Dne									
V Š S T Liberec	Type	Skupina	Starý výkres			Nový výkres					
	Název	CEP									
			DP-74-KTS-D-04-515								
			Počet listů								

32 ✓ (0.8)

## ROZVINUTÝ TVAR

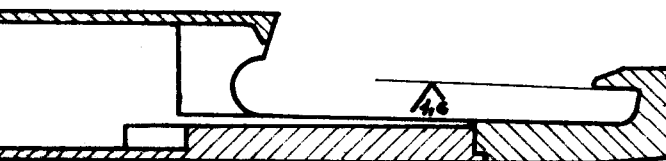


3. POPUŠTĚNO  $350\div400$  °C
  2. KALENO  $800\div830$  °C
  1. SMĚR VLÁKEN MATERIÁLU ROVNOBĚŽNÝ S OSOU PERA

Počet kusů	Pl. 3x12x60	ČSN 425310:11	14 260.4	14 260.3					
Název - Rozměr	Poločovar	Mat. konečný	Mat. výchozí	<i>Třída odp.</i>	Č. váha	Hr. váha	Číslo výkresu	Pos.	
Poznámka Celková čistá váha v kg									
Měřítko <b>2:1</b>	Kreslil 30.4.74	Brakl	Čís. sním.	<i>a</i>	<i>m</i>	<i>s</i>	<i>změny</i>	<i>x</i>	
Přezkoušel				<i>b</i>	<i>m</i>	<i>s</i>	<i>změny</i>	<i>x</i>	
Nárm. rež.				<i>c</i>	<i>m</i>	<i>s</i>	<i>změny</i>	<i>x</i>	
Výrobcové	Schvábil	C. techn. sp.		<i>d</i>	<i>m</i>	<i>s</i>	<i>změny</i>	<i>x</i>	
V Š S T Liberec	Typ Název	Skubovna	Starý výkres	Nový výkres					
STÁVAJÍCÍ PERO				DP-74-KTS-D-04-514					
				Počet listů	List				

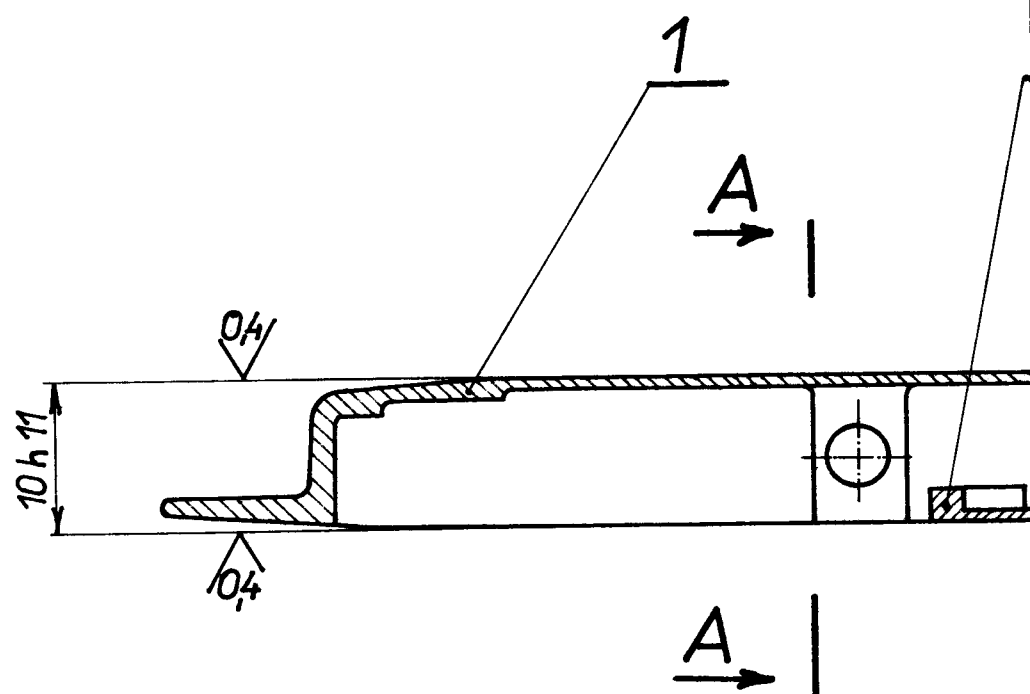
$$\checkmark \quad (0,4, \quad \checkmark, \quad 1,6)$$

2

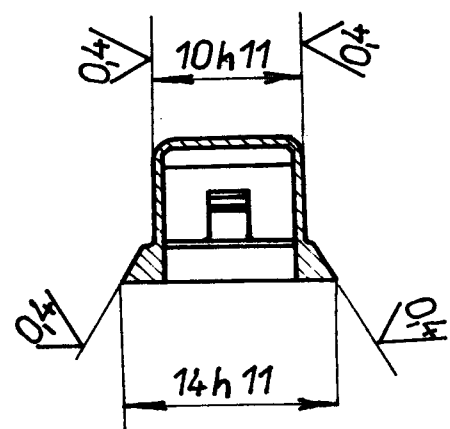


SPÁJENO PO CELEM OBVODU DNA

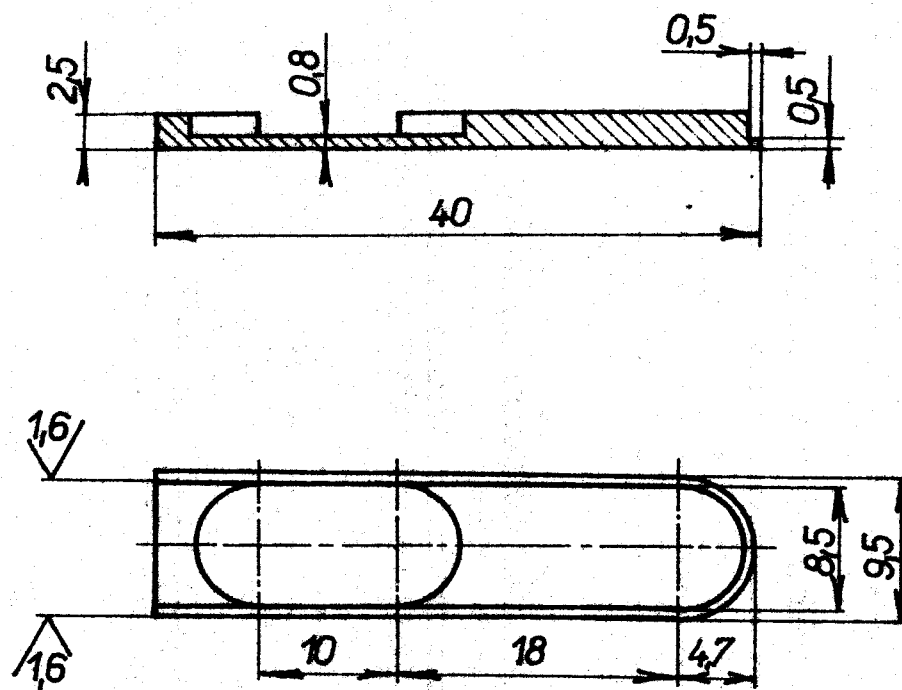
6. LEŠTĚNO
  5. BROUŠENO
  4. POPUŠTĚNO  $250\div300^{\circ}\text{C}$
  3. KALENO  $800\div850^{\circ}\text{C}$  V PRODUCU VZDUCHU
  2. ZAČISTĚNÍ PÁJENÝCH MÍST
  1. PÁJENO KAPILÁRNĚ MĚDÍ PŘI  $1100^{\circ}\text{C}$



REZ A-A

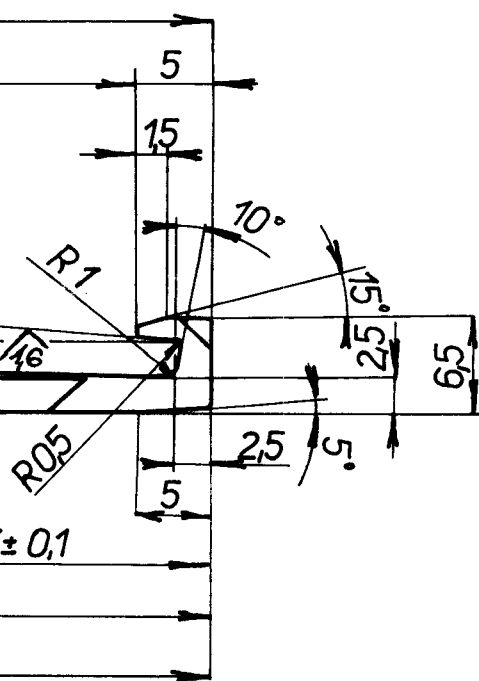


32 / 16/



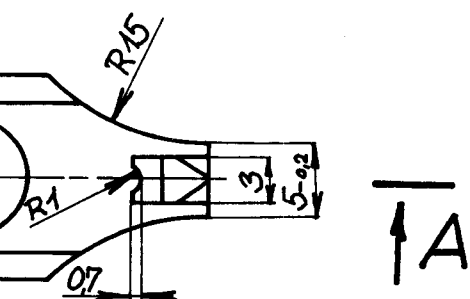
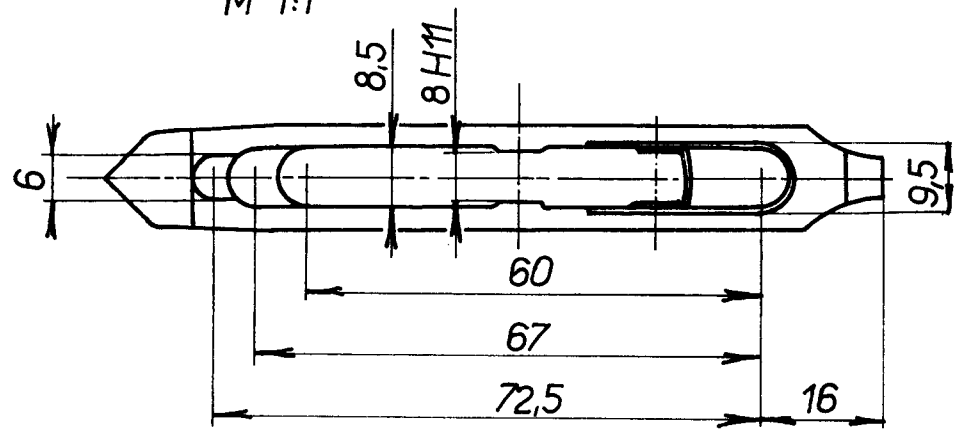
1	$5 \times 10 \times 80$	ČSN 42 5523.11 16 640						
Počet kusů	Název - kozmér	Položovat	Mat. konečný	Mat. výchozí	Průměr odp.	Č. váha	Hr.váha	Číslo výkresu
Poznámka	Ceníková čistá váha v kg							
Měřítko	Kreslil	30.4.74	Brotel	Čís. sňtkm.				Pos.
2:1	Překoupení							x
	Norm. ref.							x
	Výr. proje. in.	Schválil		Č. transak.				x
		Dne						x
VŠST Liberec	Typ. Název	Skupina	Starší výkres	Nový výkres				
	DNO SKŘIPCE			DP-74-KTS-D-04-512				
			Počet listů					list

32 ✓ 1,6 ✓



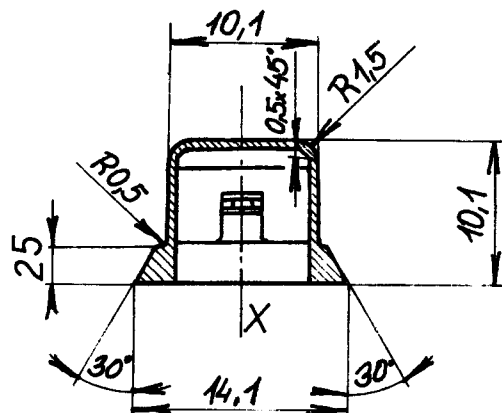
## POHLED P

M 1:1



## REZ B-B

M 2:1



DODRŽET SOUMĚRNOST PODÉL OSY X

1 □ 16x12x105 ČSN425523.11 16 640

30.4.74 BrokL

2:1  
1:1

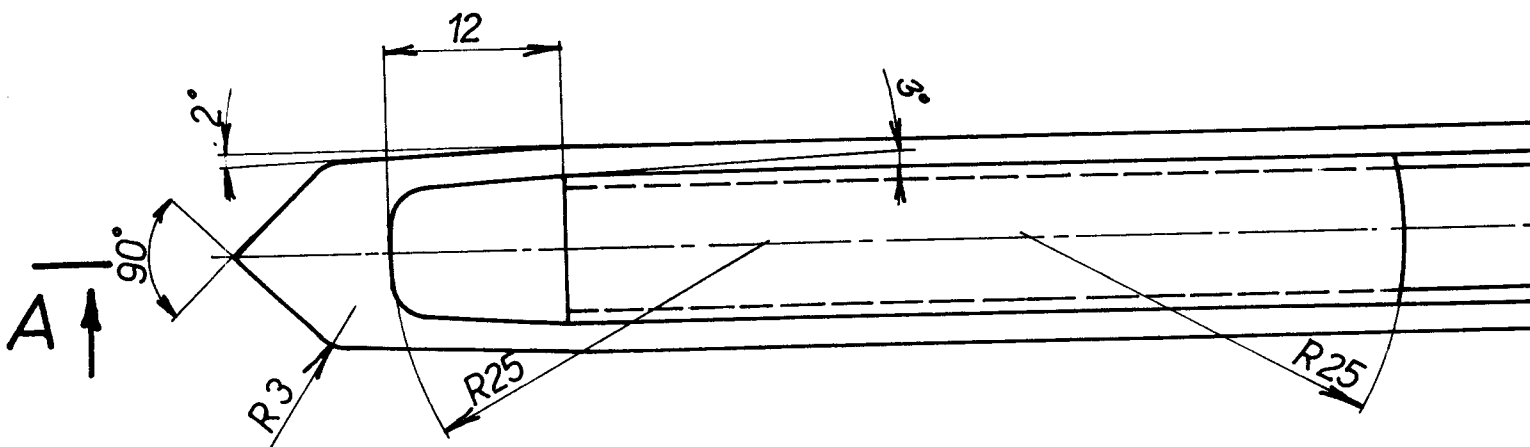
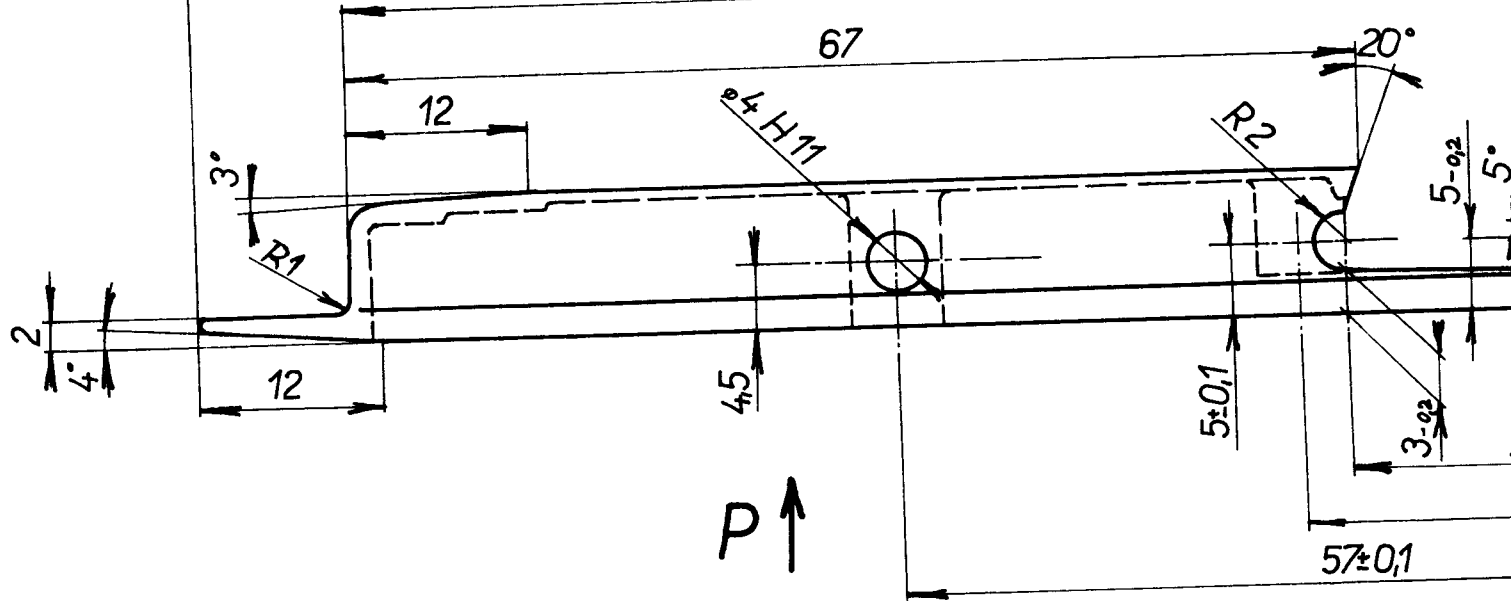
SKŘIPEC

DP-74-KTS-D-03-511

103

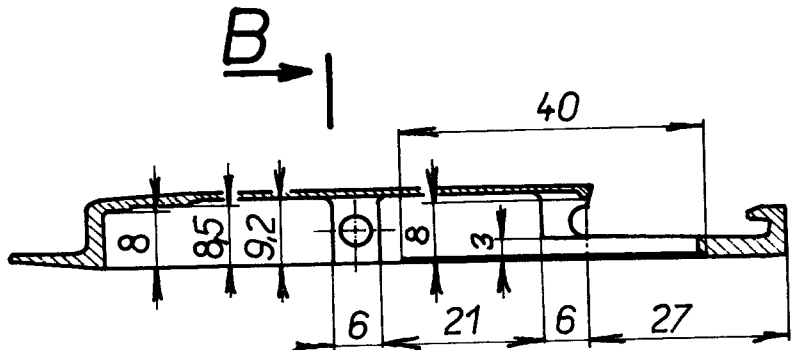
88-<sub>-0,2</sub>

67



REZ A-A

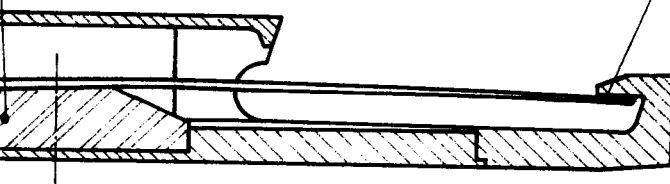
M 1:1



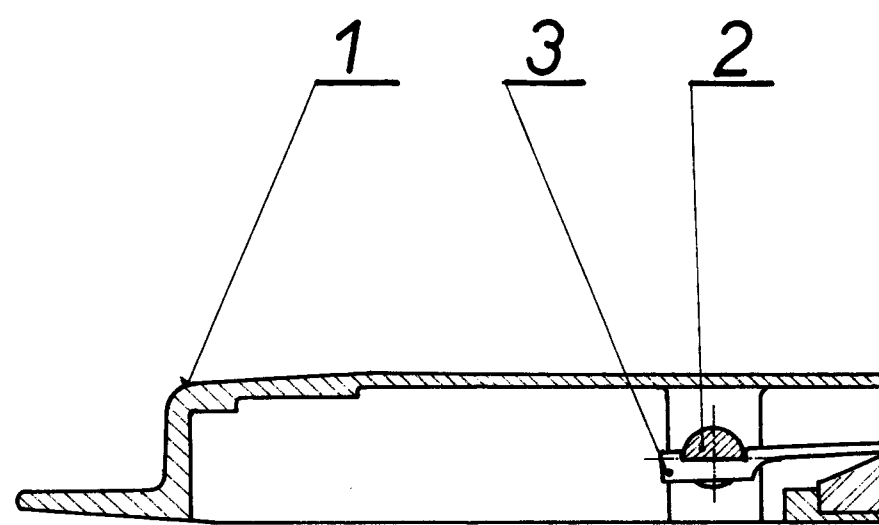
B

4

STYK PERA S OSTRUHOU SKŘIPOCE  
MUSÍ BÝT V PLOŠE. P = 2,5÷3 kp



1	PODPORA	VULKOLAN	nebo ČSN 622217.07	DP- . . . -516	4					
1	PERO (STÁVAJÍCÍ)	14 260.4		DP- . . . -514	3					
1	ČEP (STÁVAJÍCÍ)	19 421.3		DP- . . . -515	2					
1	SKŘIPEC SE DNEM	16 640.4		DP- . . . -513	1					
Poznámka		Název - Rozměr	Položovar	Mat. konečný	Mat. výchozí	Mida odo.	Č. váha	Hr.váha	Číslo výkresu	Pos.
							Celková čistá váha v kg			
Měřítko	Kreslit	30.4.74	Brokl	Čís. sním.						
2:1	Prezkoušet				O				x	
	Norm. ref.				E				x	
	Vyr. projedn	Schválil		Č. transp.	•				x	
		Dne			N				x	
VSST		Typ	Skupina	Starý výkres	Nový výkres					
Liberec		Název	SKŘIPEC		DP-74-KTS-S-03-510					
				Počet listů						
					List					



# PRÍLOHA XI

## SMITHŮV DIAGRAM PRO VARIANTY S PRUŽNOU PODPOROU

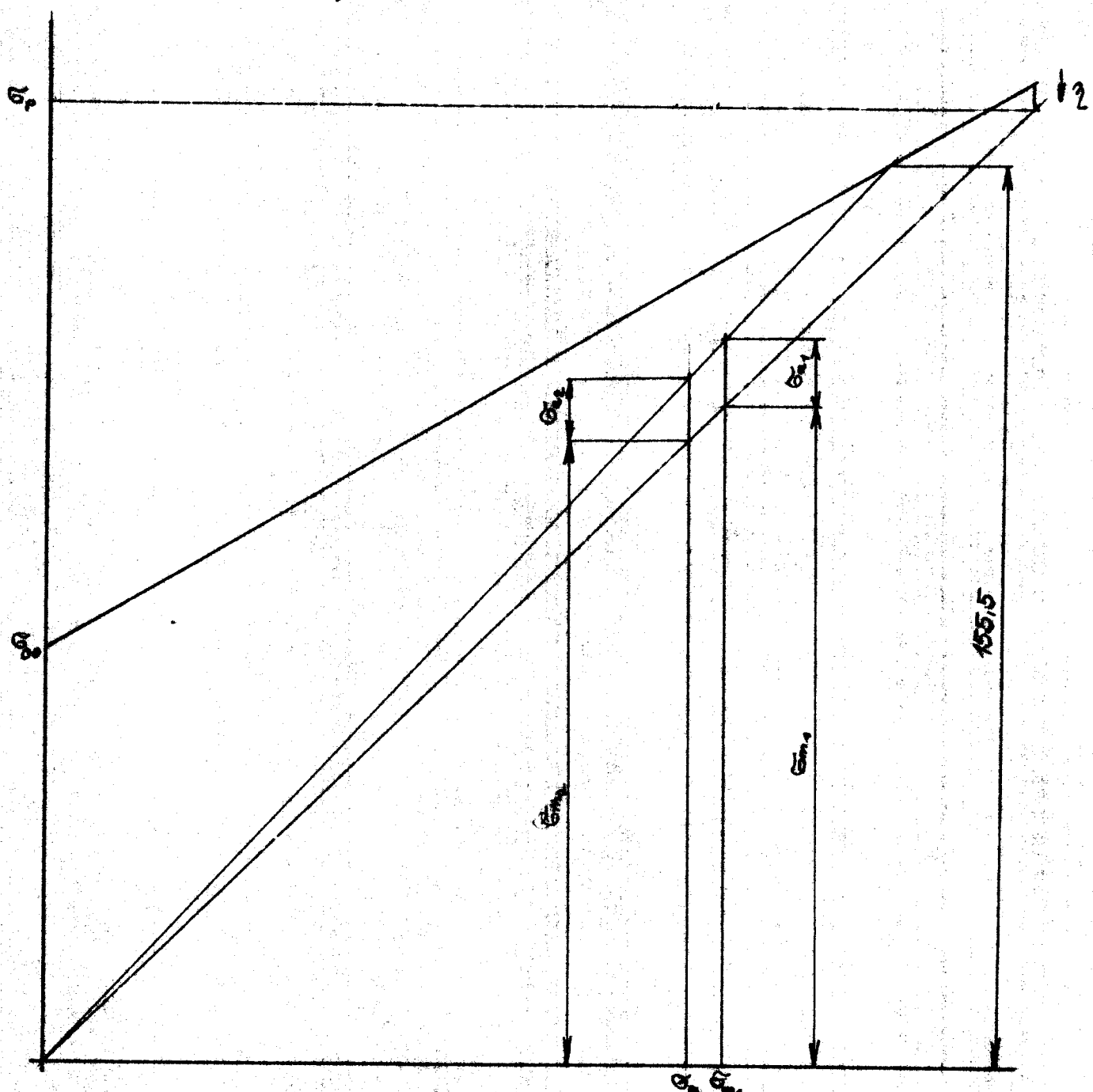
MATERIÁL: 14 260.4

$$n_1 = 1,25$$

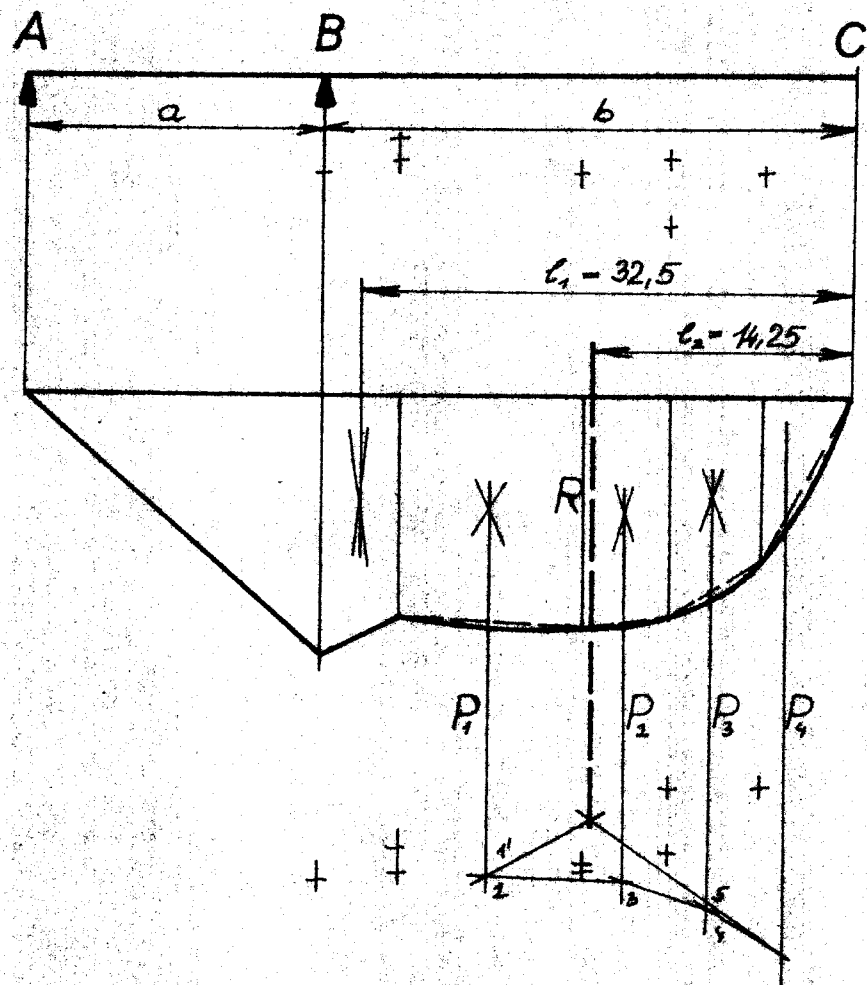
$$n_2 = 1,32$$

MĚŘÍTKO

$$1 \text{ kp/mm}^2 \sim 1 \text{ mm}$$



# PŘÍLOHA XII

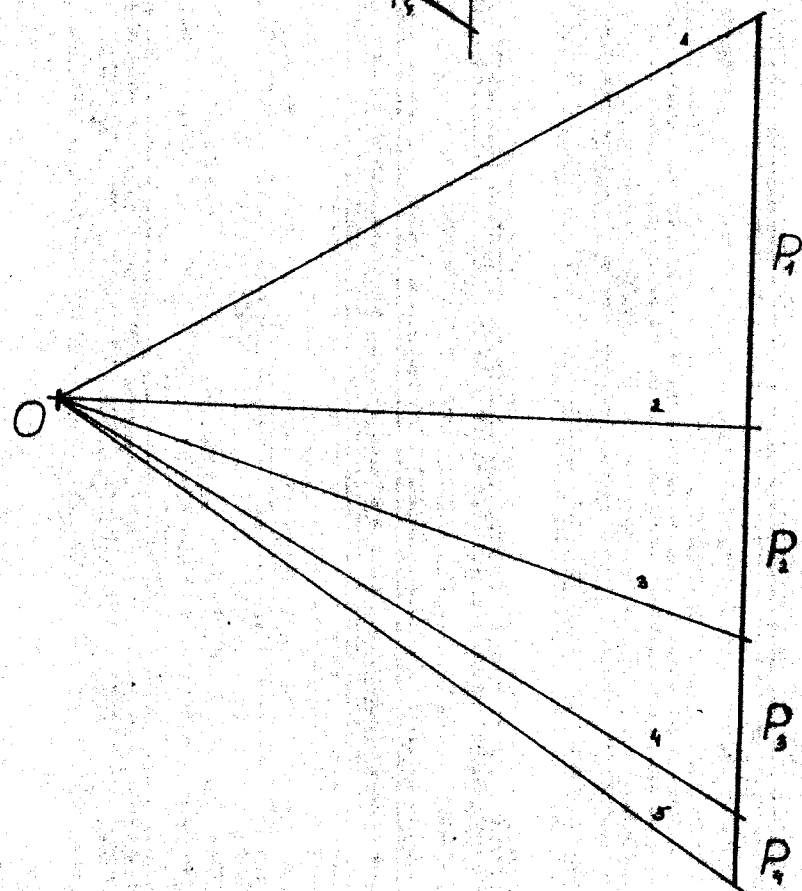


MĚŘÍTKO DÉLEK

2 : 1

MĚŘÍTKO SIL

20 kp mm<sup>2</sup> ~ 1 mm



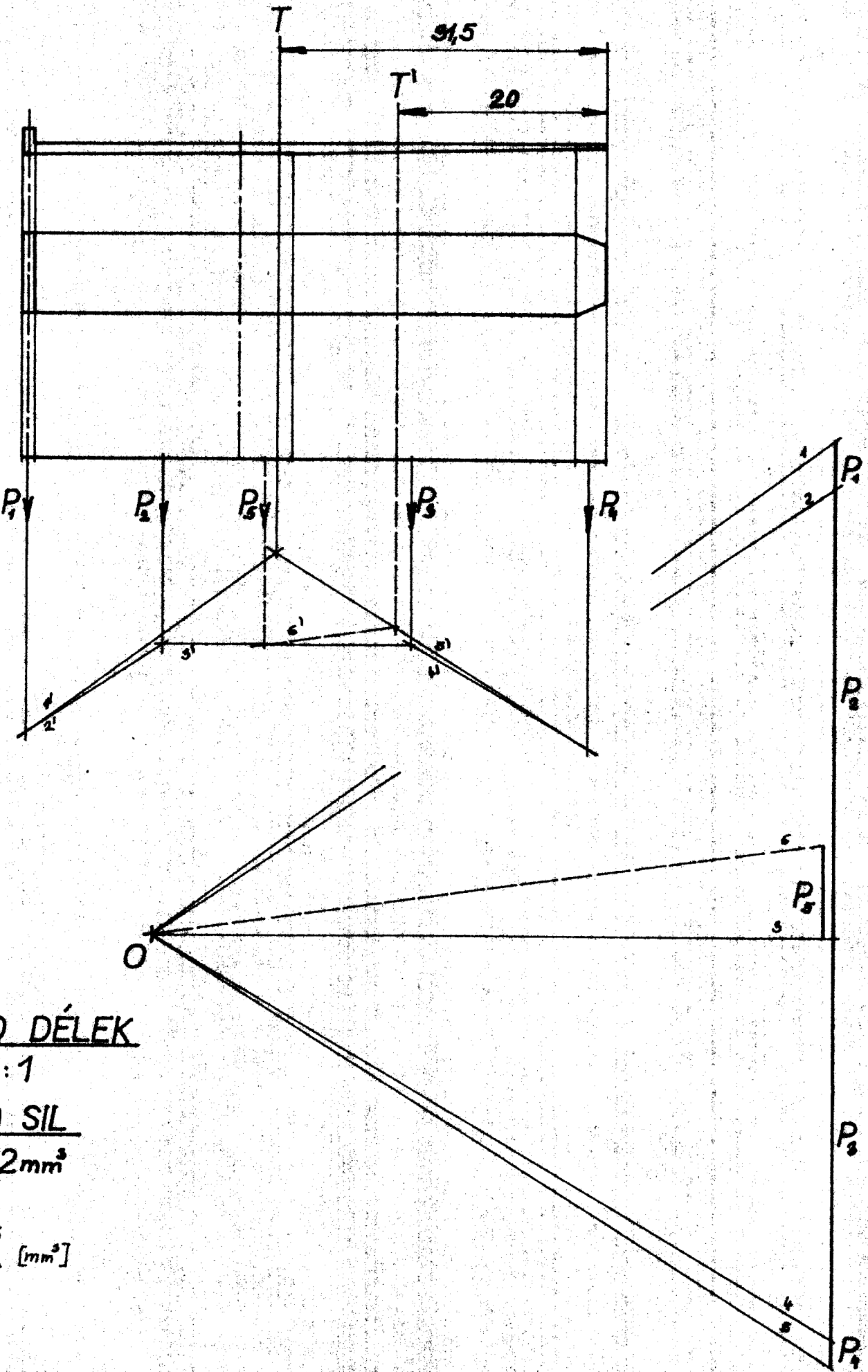
$$P_1 = 1123,8$$

$$P_2 = 566,5$$

$$P_3 = 478,3 \text{ [kp mm}^2\text{]}$$

$$P_4 = 201,9$$

# PŘÍLOHA XIII



MĚŘITKO DÉLEK

2 : 1

MĚŘITKO SIL

1 mm ~ 2 mm<sup>3</sup>

$$P_1 = 19,2$$

$$P_2 = 176,5$$

$$P_3 = 157,4 \text{ [mm}^3\text{]}$$

$$P_4 = 9,8$$

$$P_5 = 36$$

# PŘÍLOHA X

SMITHŮV DIAGRAM PRO VARIANTY c, A d,

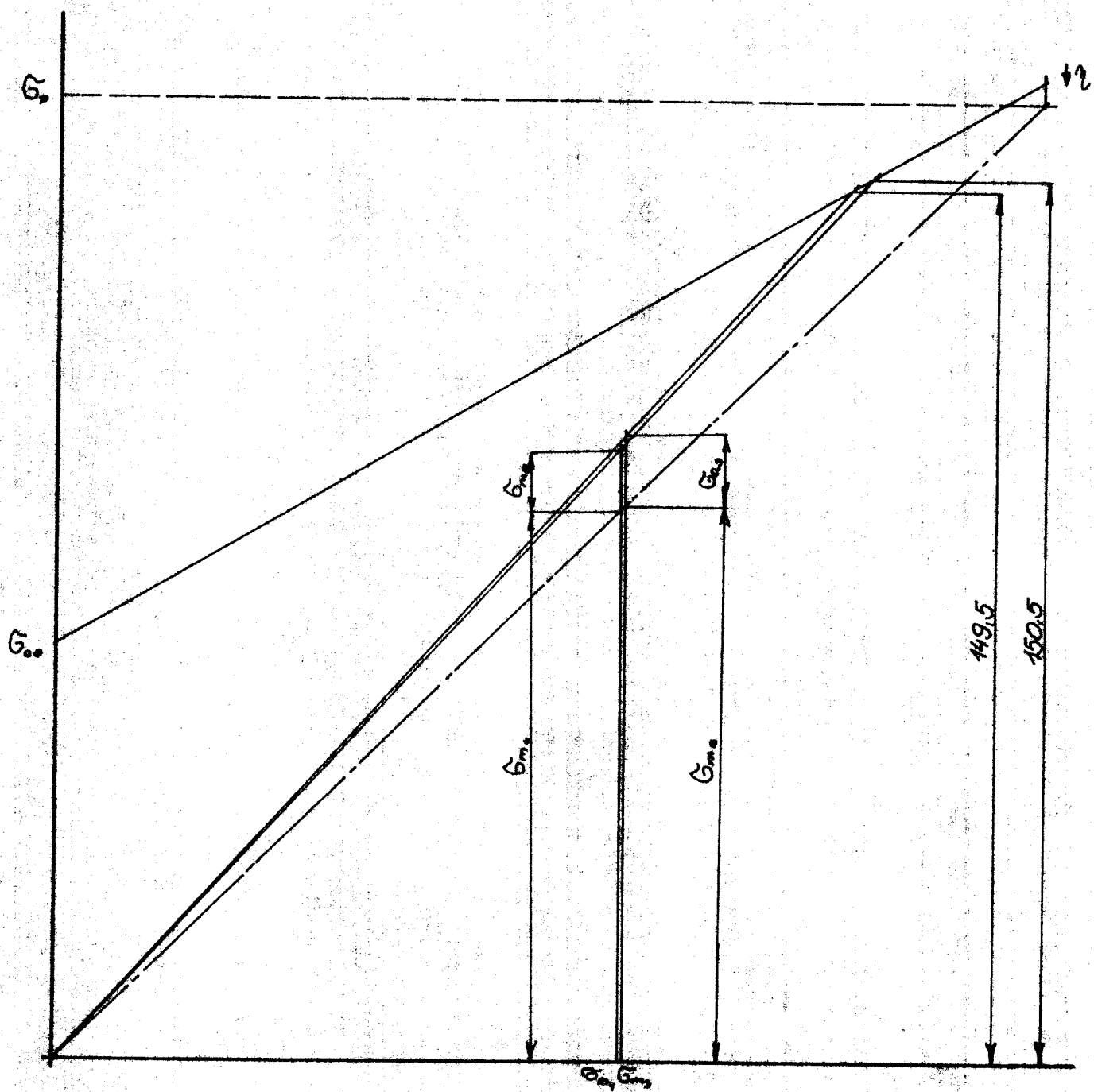
MATERIÁL: 14 260.4

$$n_s = 1,4$$

$$n_r = 1,425$$

MĚŘÍTKO

$$1 \text{ kp/mm}^2 \sim 1 \text{ mm}$$



# PŘÍLOHA IX

## SMITHŮV DIAGRAM PRO VARIANTY a, A, b,

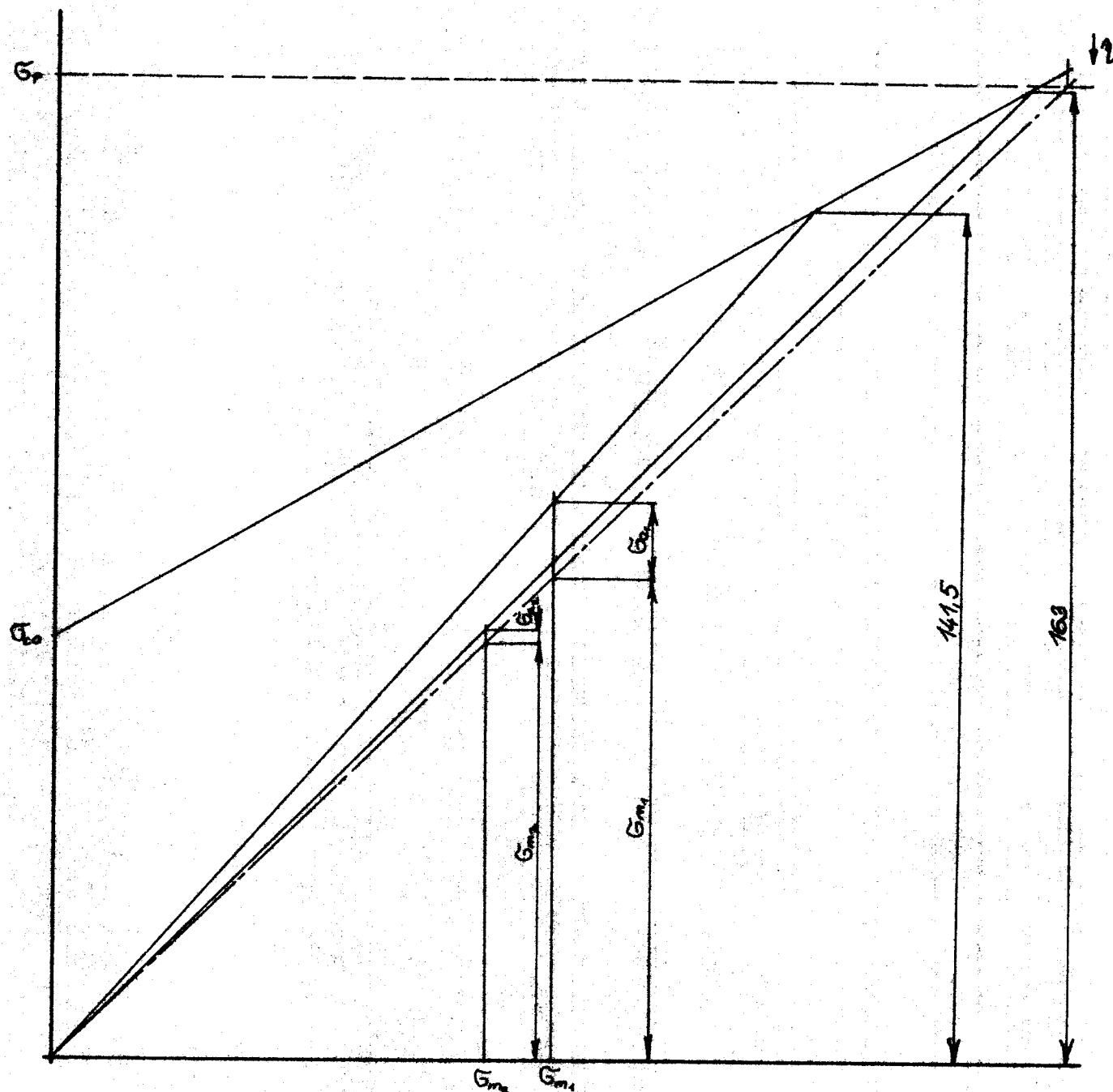
MATERIÁL: 14 260.4

$$n_1 = 1,495$$

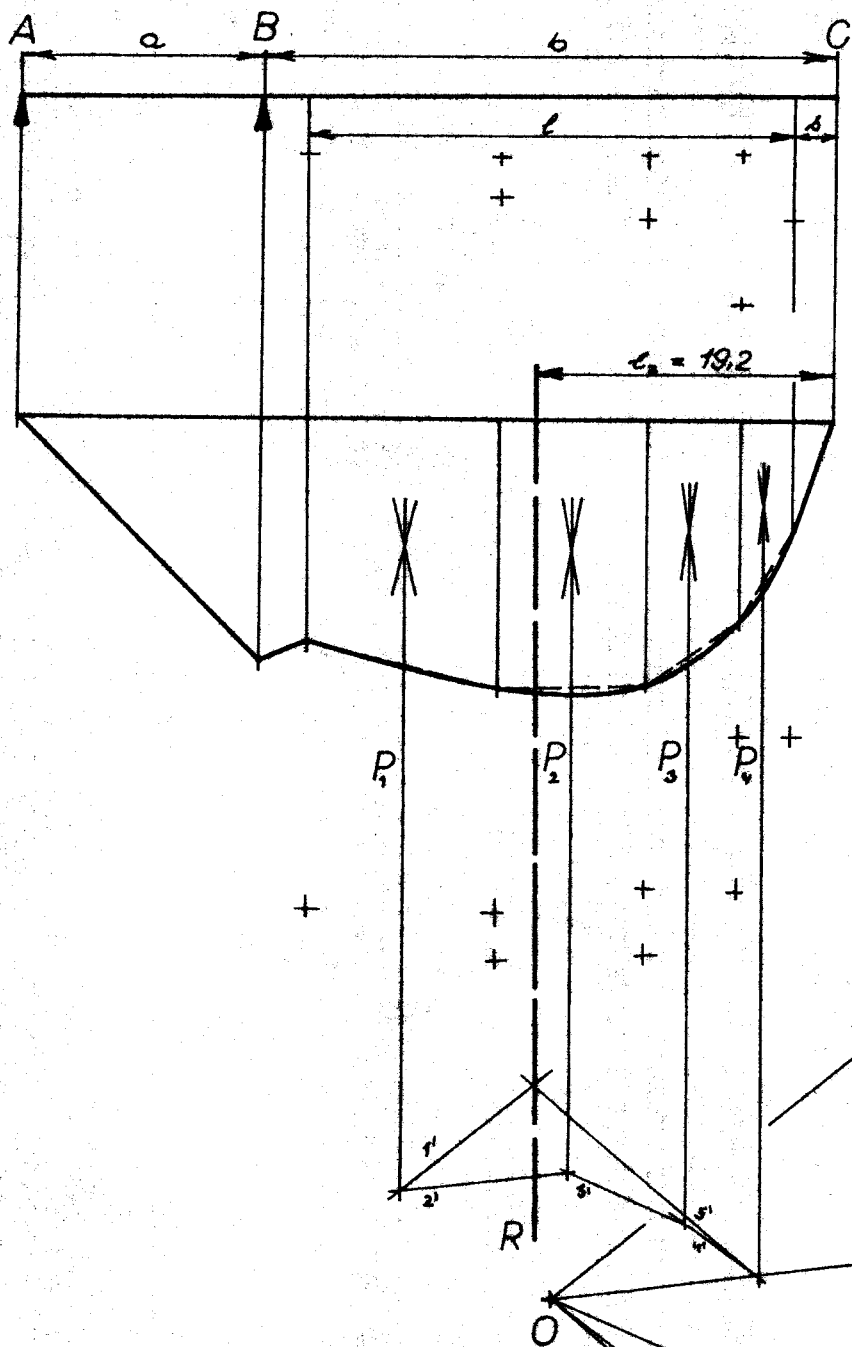
$$n_2 = 2,26$$

MĚRÍTKO

$$1 \text{ kp/mm}^2 \sim 1 \text{ mm}$$



# PŘÍLOHA VIII



MĚŘÍTKO DÉLEK

2 : 1

MĚŘÍTKO SIL

$20 \text{ kp mm}^2 \sim 1 \text{ mm}$

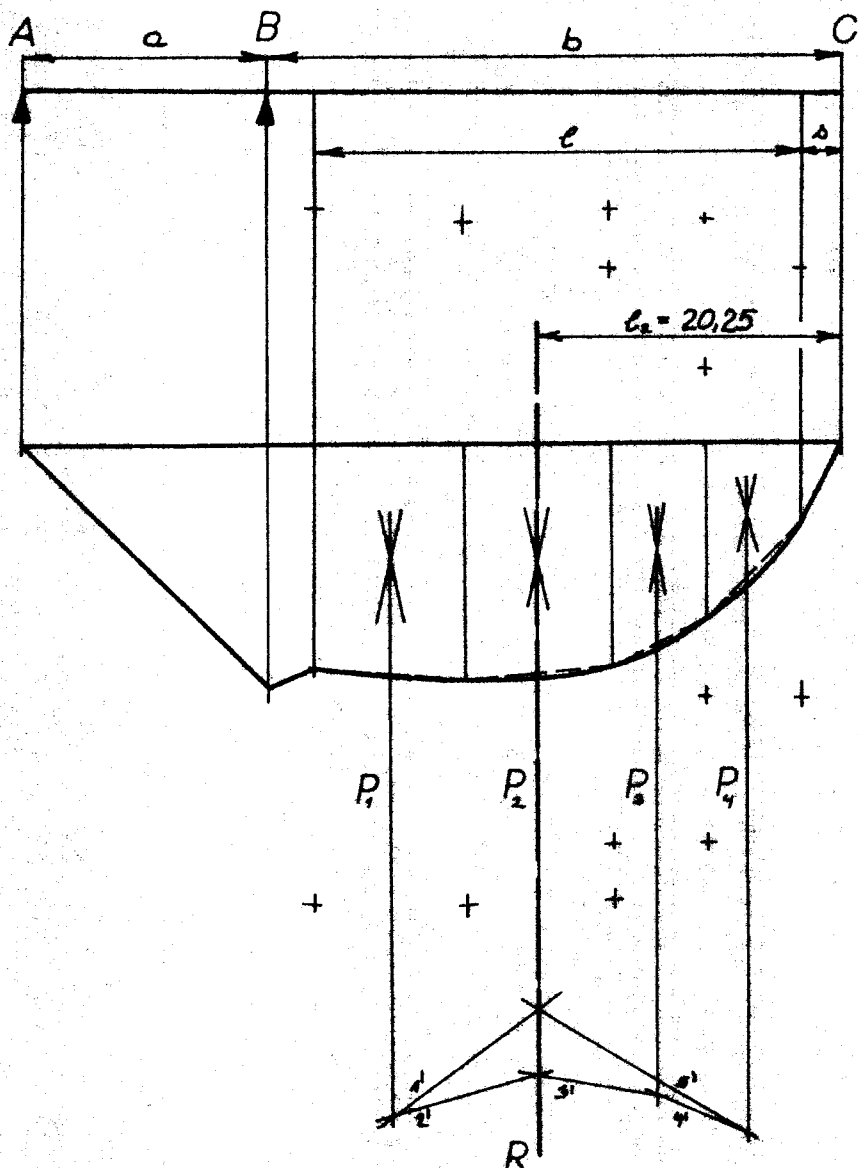
$$P_1 = 1467$$

$$P_2 = 1171,5 \quad [\text{kp mm}^2]$$

$$P_3 = 674,4$$

$$P_4 = 227,7$$

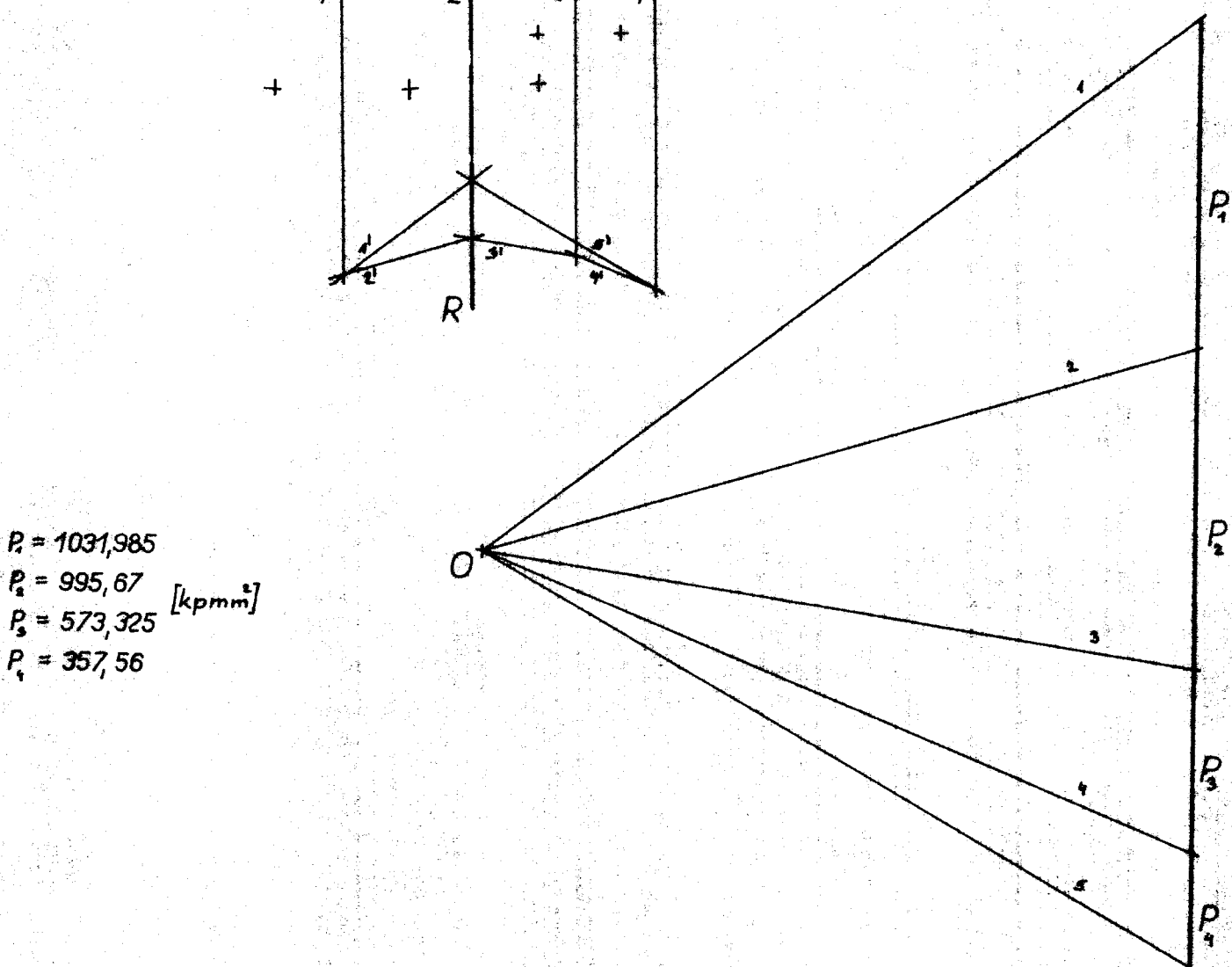
# PŘÍLOHA VII



MĚRÍTKO DÉLEK

2 : 1

MĚRÍTKO SIL  
20 kp/mm<sup>2</sup> ~ 1 mm



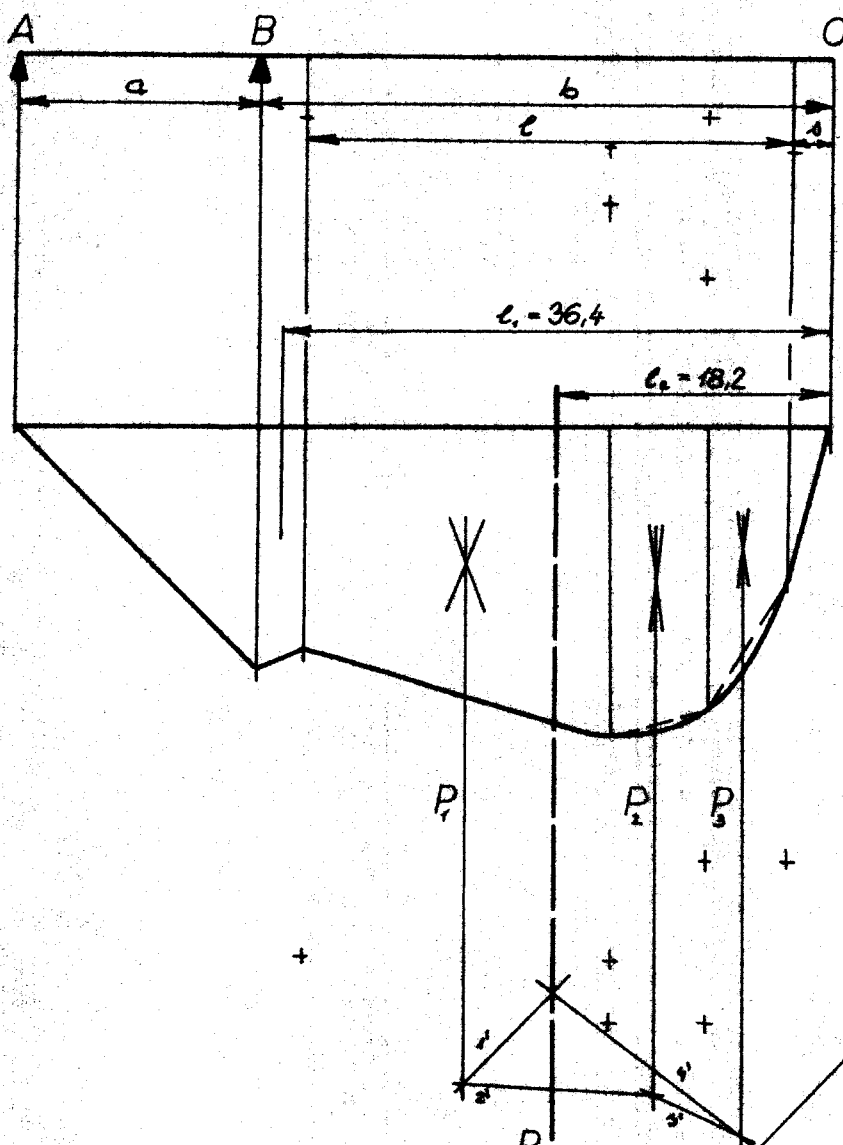
$$P_1 = 1031,985$$

$$P_2 = 995,67 \quad [\text{kp/mm}^2]$$

$$P_3 = 573,325$$

$$P_4 = 357,56$$

# PŘÍLOHA VI



MĚRÍTKO DÉLEK  
2 : 1

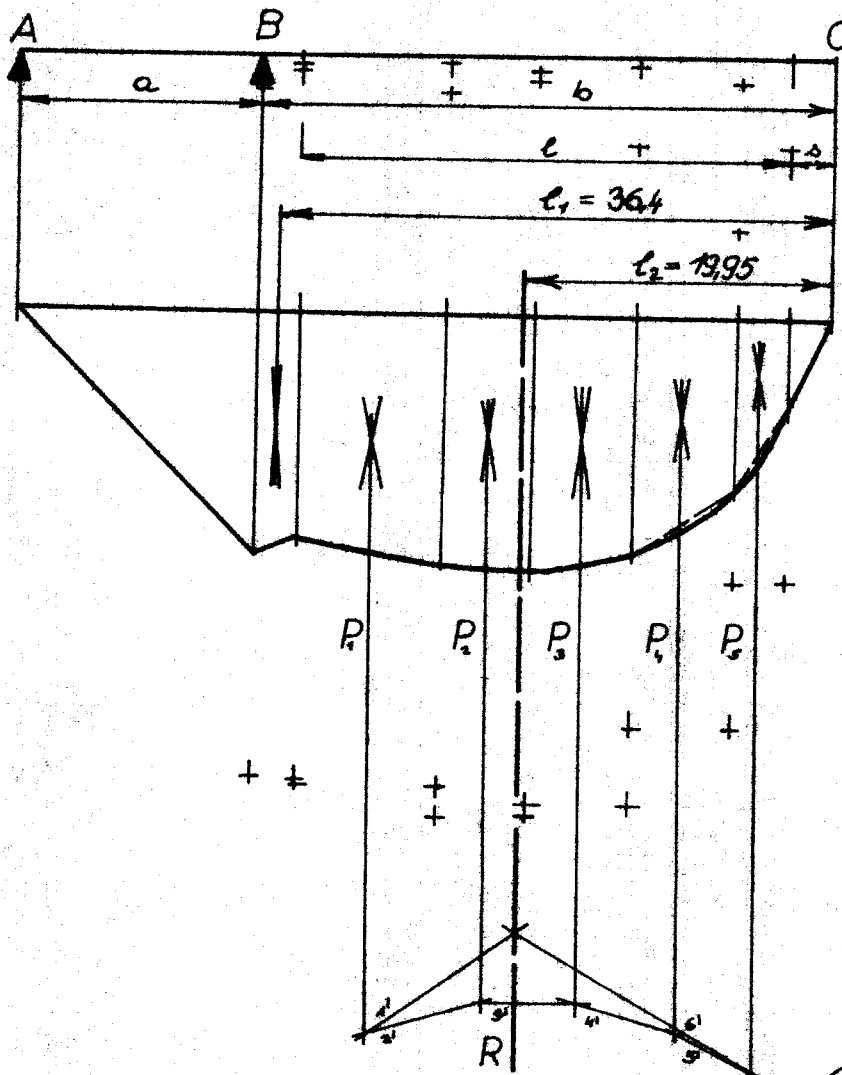
MĚRÍTKO SIL  
20 kp/mm  $\sim$  1 mm

$$P_1 = 2360$$

$$P_2 = 866 \text{ [kp/mm}^2\text{]}$$

$$P_3 = 635$$

# PŘÍLOHA V

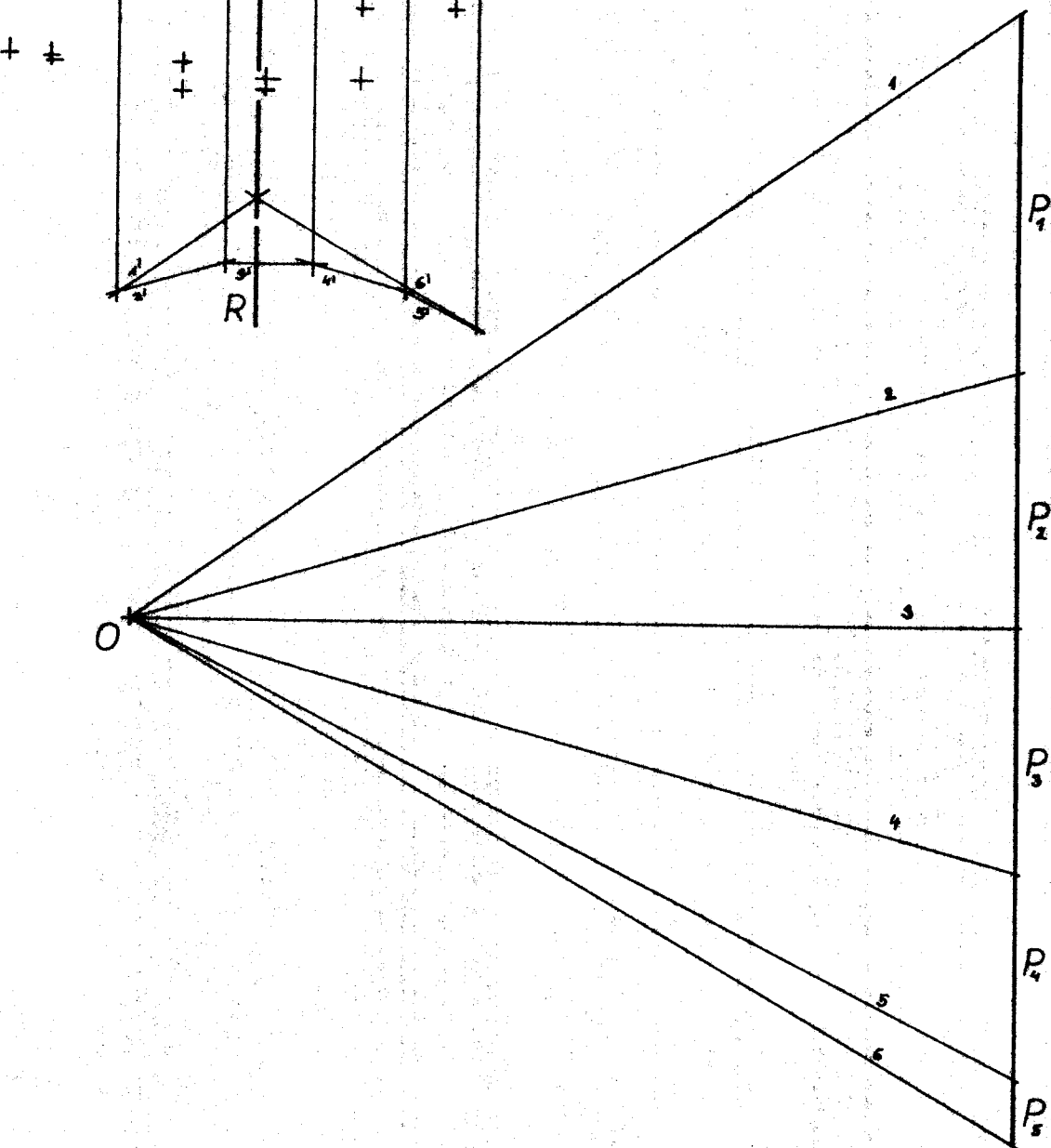


MĚRÍTKO DÉLEK

2:1

MĚRÍTKO SIL

20kpm<sup>2</sup> ~ 1mm



$$P_1 = 1060$$

$$P_2 = 740$$

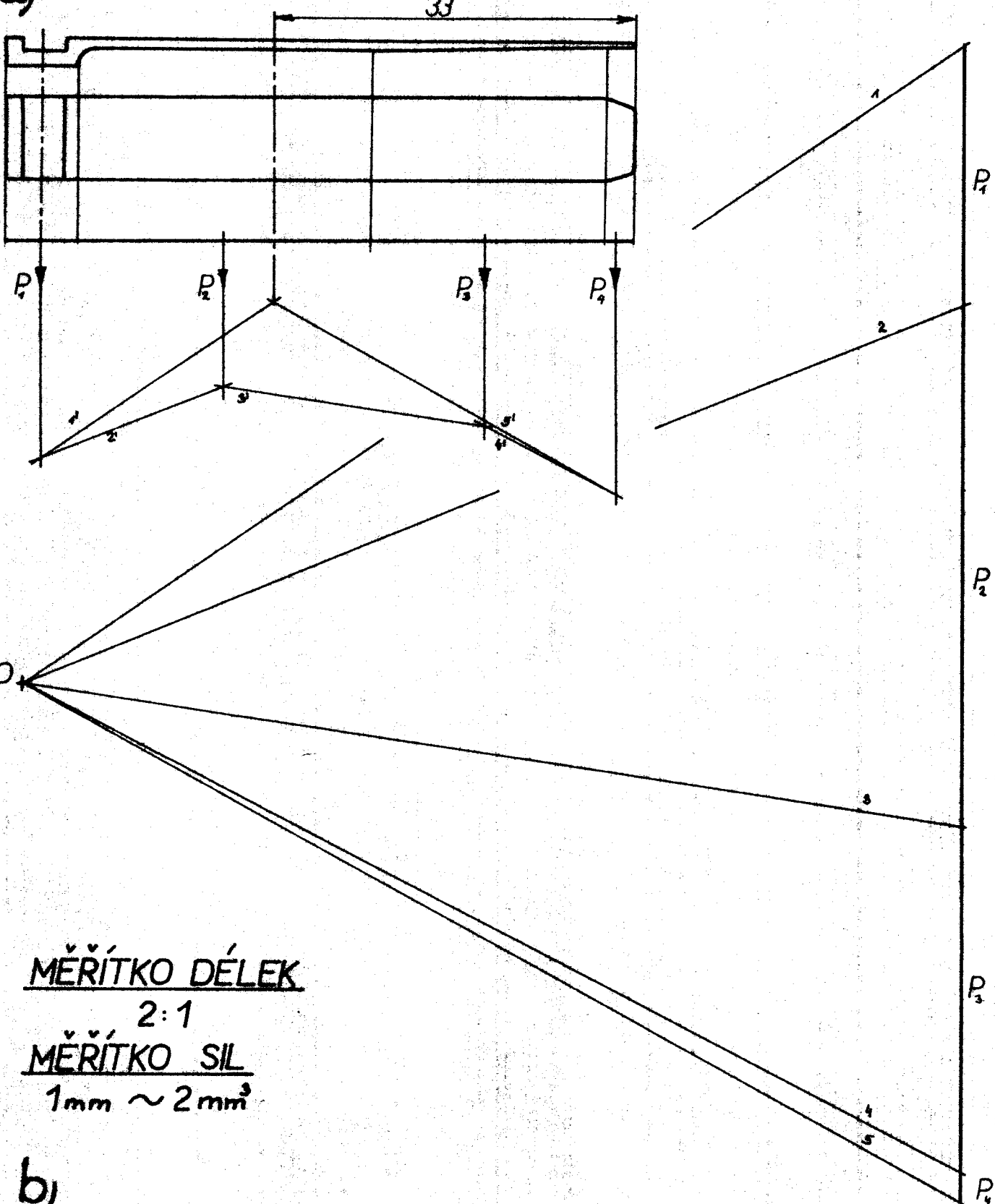
$$P_3 = 720 \text{ [kpm}^2\text{]}$$

$$P_4 = 600$$

$$P_5 = 192,8$$

# PŘÍLOHA IV

a)



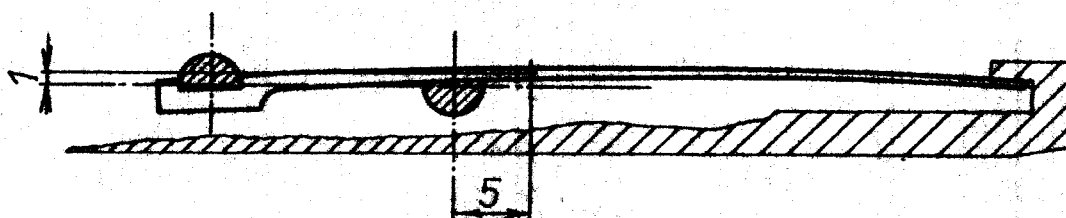
MĚŘÍTKO DÉLEK

2:1

MĚŘÍTKO SIL

1 mm  $\sim$  2 mm<sup>3</sup>

b)



# PŘÍLOHA III

MATERIÁL: 14 260.4

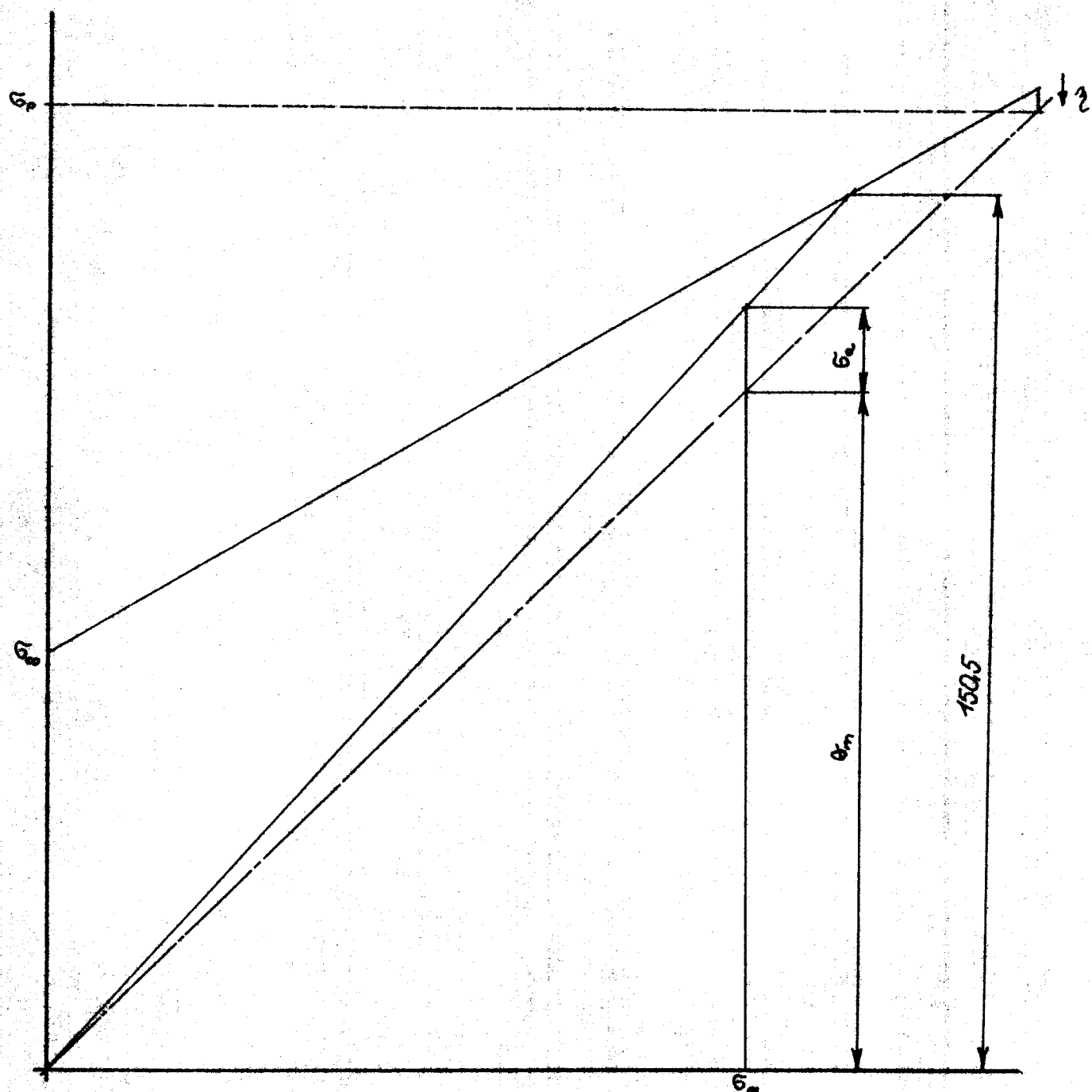
$$\tilde{G}_m = 116,5 \text{ kp/mm}^2$$

$$\tilde{G}_a = 14,5 \text{ kp/mm}^2$$

$$n = 1,148$$

MĚRÍTKO

$$1 \text{ kp/mm}^2 \sim 1 \text{ mm}$$



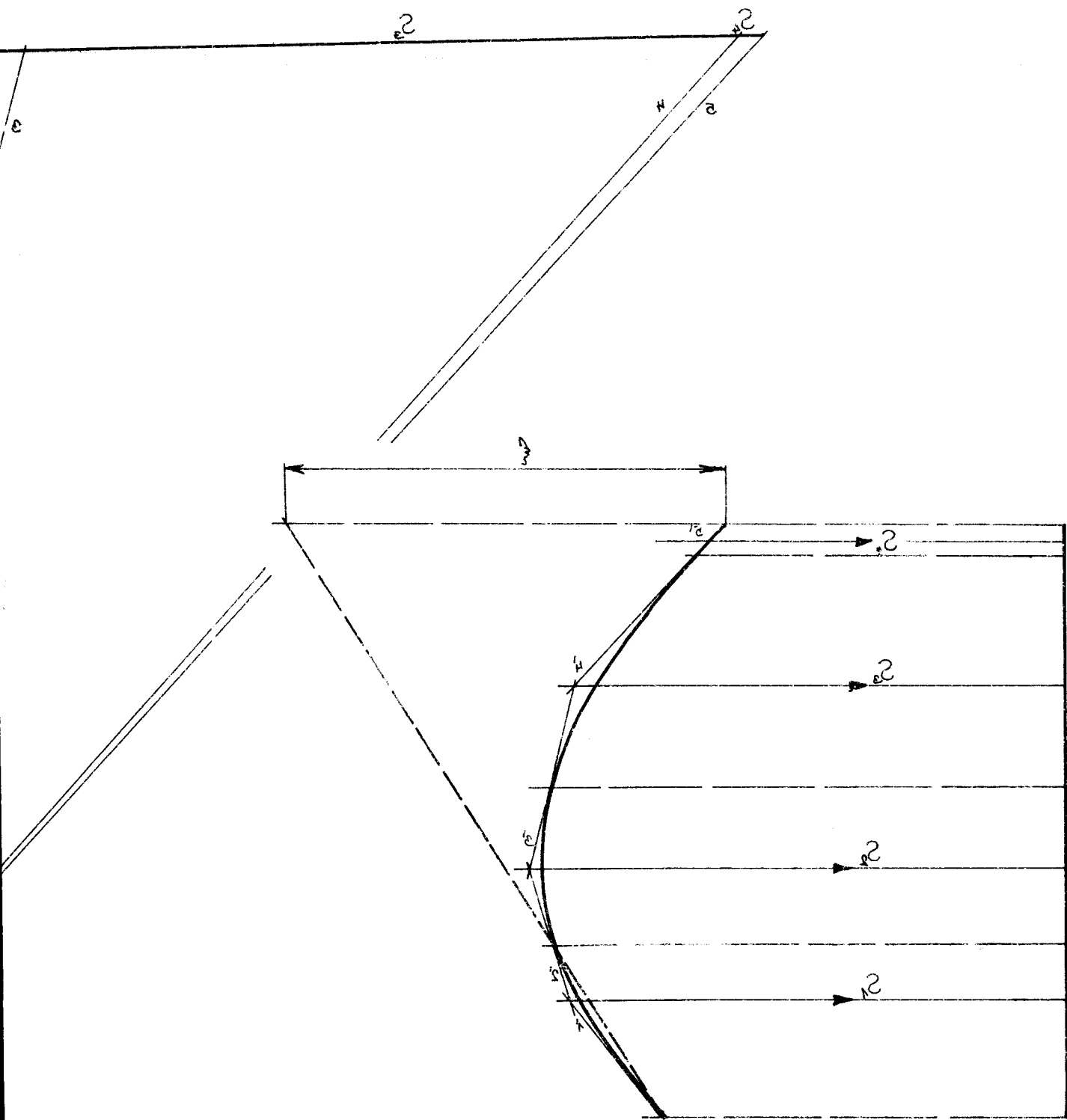
PRÍL

MERÍTKO SIL

1km = 1cm

MERÍTKO DELÉK

5:1



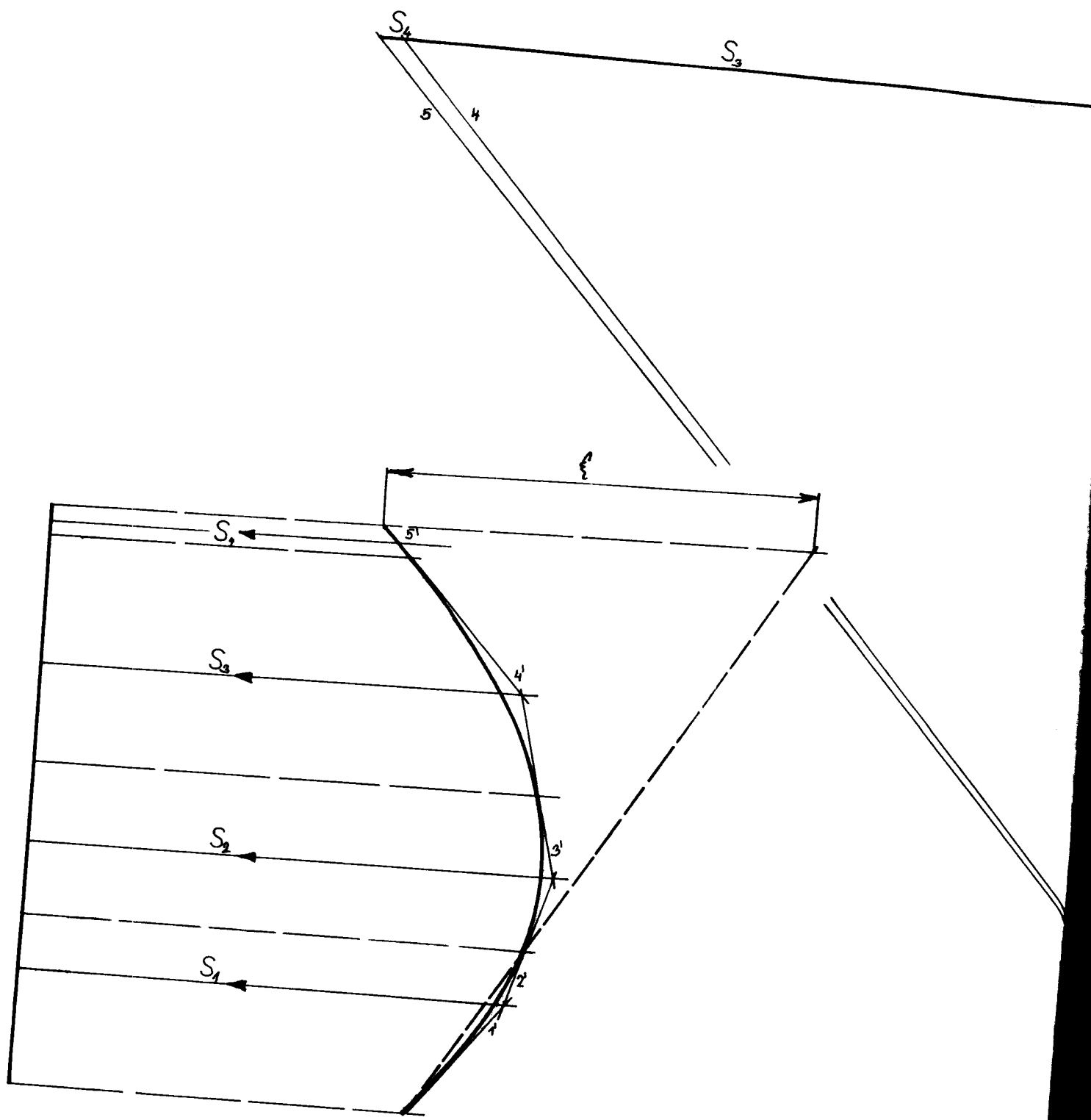
PR

MĚŘÍTKO DÉLEK

2 : 1

MĚŘÍTKO S

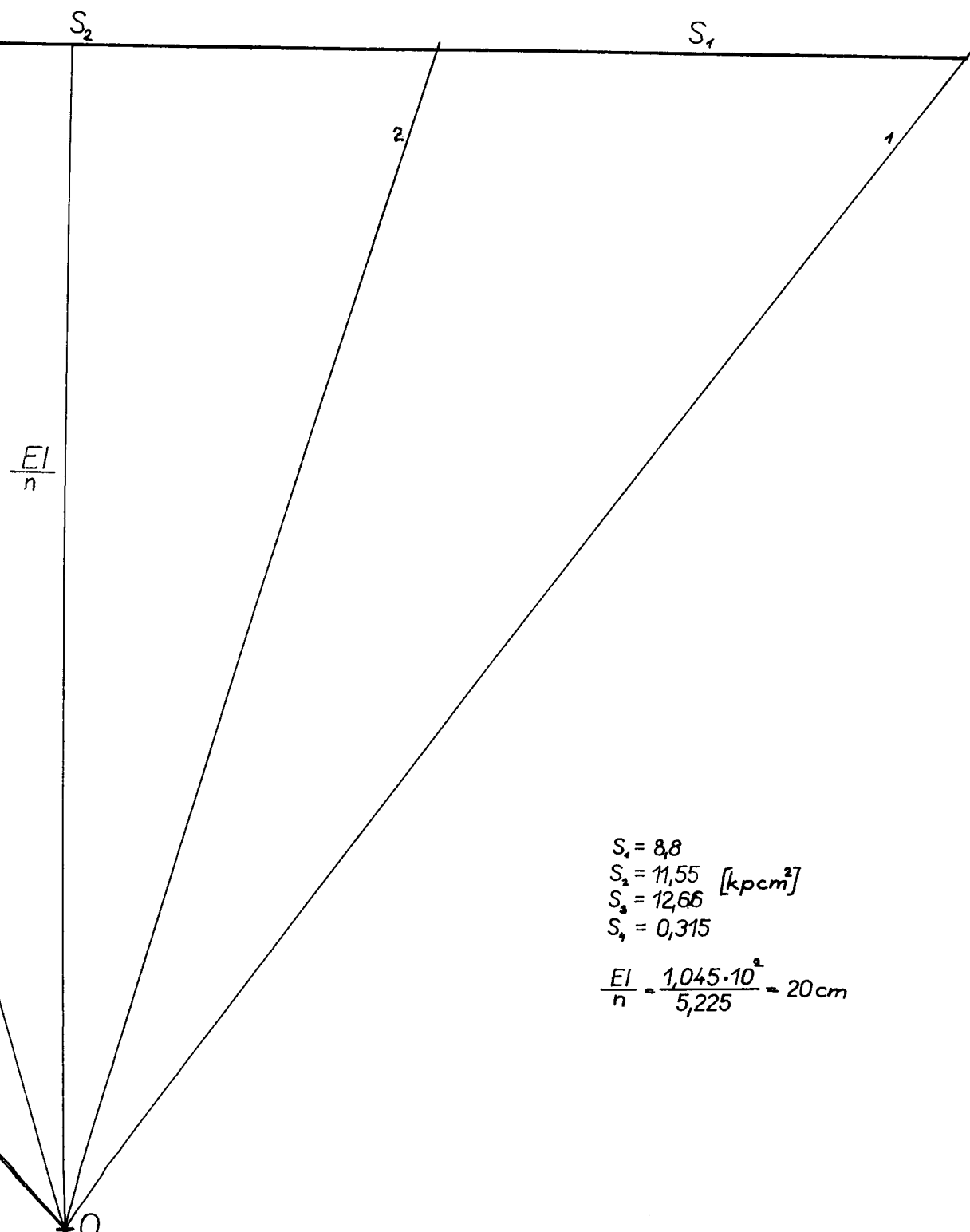
$1 \text{ kpc m}^2 \sim 1$



# DHA II

## PRŮHYB

$$w = \frac{f}{2n} = 0,74 \text{ cm}$$



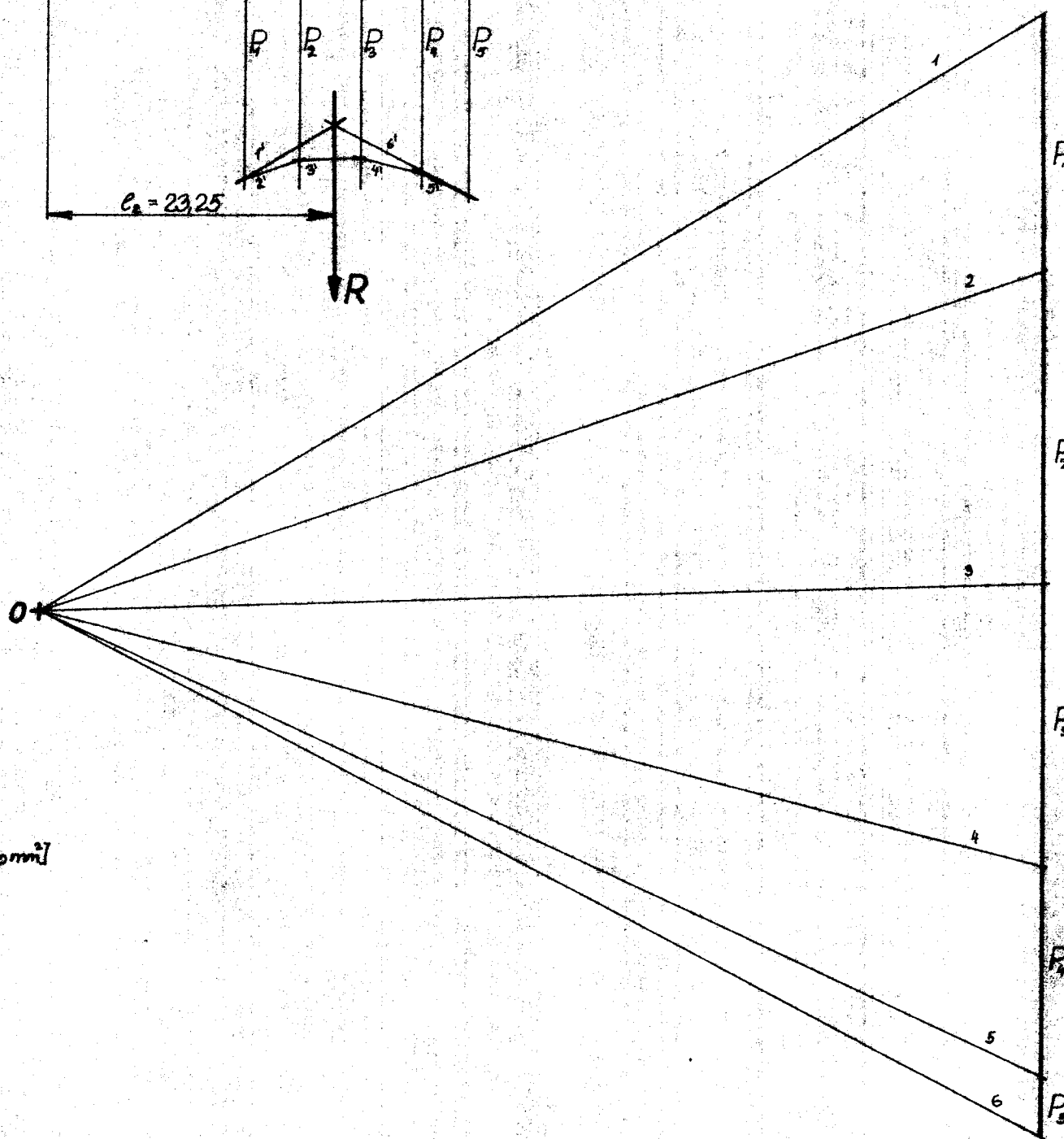
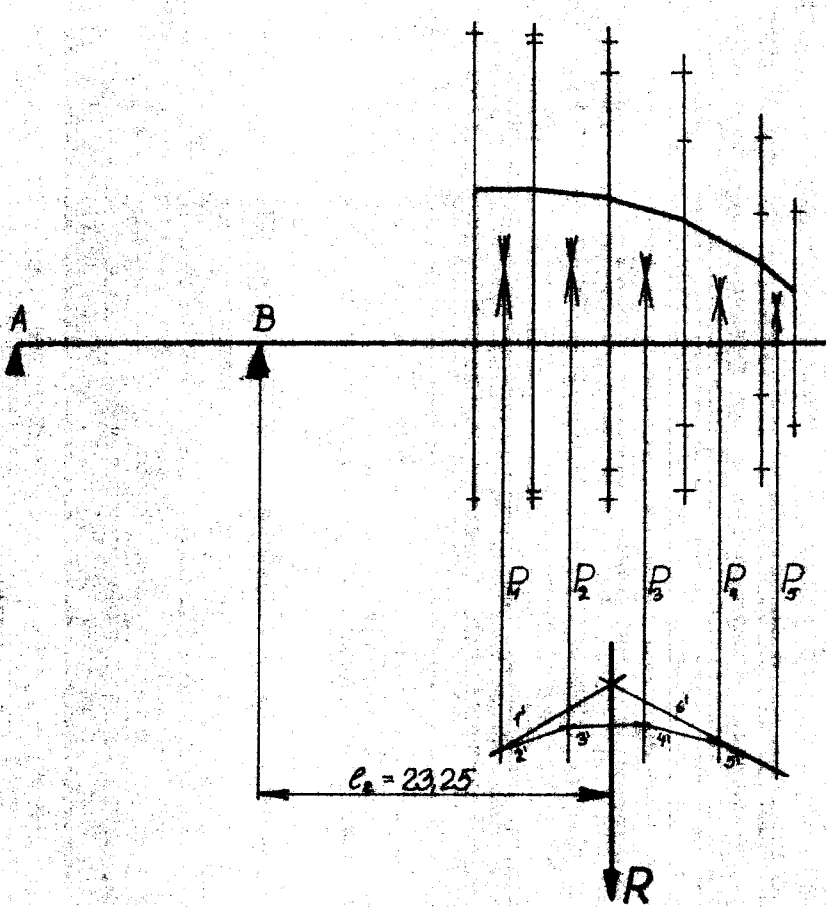
# PŘÍLOHA I

MĚRÍTKO DÉLEK

M 2:1

MĚRÍTKO SIL

$2 \text{ kp mm}^2 \sim 1 \text{ mm}$



$$P_1 = 86,1$$

$$P_2 = 104,25 \text{ kp mm}^2$$

$$P_3 = 93,75 \text{ kp mm}^2$$

$$P_4 = 71,25$$

$$P_5 = 21$$